## (12) NACH DEM VERTRAG ÜBER DIE INTERNATIONALE ZUSAMMENARBEIT AUF DEM GEBIET DES PATENTWESENS (PCT) VERÖFFENTLICHTE INTERNATIONALE ANMELDUNG

(19) Weltorganisation für geistiges Eigentum Internationales Büro



Deutsch

### 

(10) Internationale Veröffentlichungsnummer WO 2011/036246 A2

# (43) Internationales Veröffentlichungsdatum 31. März 2011 (31.03.2011)

(51) Internationale Patentklassifikation: *C23C 14/00* (2006.01)

(21) Internationales Aktenzeichen: PCT/EP2010/064136

(22) Internationales Anmeldedatum:

24. September 2010 (24.09.2010)

(25) Einreichungssprache:

(26) Veröffentlichungssprache: Deutsch

(30) Angaben zur Priorität: 61/245,750 25. September 2009 (25.09.2009) US

- (71) Anmelder (für alle Bestimmungsstaaten mit Ausnahme von US): OERLIKON TRADING AG, TRUEBBACH [CH/CH]; Hauptstrasse, CH-9477 Truebbach (CH).
- (72) Erfinder; und
- (75) Erfinder/Anmelder (nur für US): RAMM, Jürgen [DE/CH]; Muehlebuendtestrasse 12, CH-7304 Maienfeld (CH). WIDRIG, Beno [CH/CH]; Rheinstrasse 13, CH-7310 Bad Ragaz (CH).
- (74) Anwalt: TROESCH SCHEIDEGGER WERNER AG; Jacques Troesch, Schwäntenmos 14, CH-8126 Zumikon (CH).
- (81) Bestimmungsstaaten (soweit nicht anders angegeben, für jede verfügbare nationale Schutzrechtsart): AE, AG, AL,

AM, AO, AT, AU, AZ, BA, BB, BG, BH, BR, BW, BY, BZ, CA, CH, CL, CN, CO, CR, CU, CZ, DE, DK, DM, DO, DZ, EC, EE, EG, ES, FI, GB, GD, GE, GH, GM, GT, HN, HR, HU, ID, IL, IN, IS, JP, KE, KG, KM, KN, KP, KR, KZ, LA, LC, LK, LR, LS, LT, LU, LY, MA, MD, ME, MG, MK, MN, MW, MX, MY, MZ, NA, NG, NI, NO, NZ, OM, PE, PG, PH, PL, PT, RO, RS, RU, SC, SD, SE, SG, SK, SL, SM, ST, SV, SY, TH, TJ, TM, TN, TR, TT, TZ, UA, UG, US, UZ, VC, VN, ZA, ZM, ZW.

(84) Bestimmungsstaaten (soweit nicht anders angegeben, für jede verfügbare regionale Schutzrechtsart): ARIPO (BW, GH, GM, KE, LR, LS, MW, MZ, NA, SD, SL, SZ, TZ, UG, ZM, ZW), eurasisches (AM, AZ, BY, KG, KZ, MD, RU, TJ, TM), europäisches (AL, AT, BE, BG, CH, CY, CZ, DE, DK, EE, ES, FI, FR, GB, GR, HR, HU, IE, IS, IT, LT, LU, LV, MC, MK, MT, NL, NO, PL, PT, RO, SE, SI, SK, SM, TR), OAPI (BF, BJ, CF, CG, CI, CM, GA, GN, GQ, GW, ML, MR, NE, SN, TD, TG).

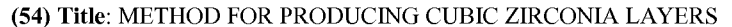
#### Erklärungen gemäß Regel 4.17:

— Erfindererklärung (Regel 4.17 Ziffer iv)

#### Veröffentlicht:

 ohne internationalen Recherchenbericht und erneut zu veröffentlichen nach Erhalt des Berichts (Regel 48 Absatz 2 Buchstabe g)





(54) Bezeichnung: VERFAHREN ZUR HERSTELLUNG VON KUBISCHEN ZIRKONOXIDSCHICHTEN

- (57) Abstract: In order to produce zirconia-based layers on a deposition substrate, wherein reactive spark deposition using pulsed spark current and/or the application of a magnetic field that is perpendicular to the spark target are employed, a mixed target comprising elemental zirconium and at least one stabilizer is used, or a zirconium target comprising elemental zirconium is used, wherein in addition to oxygen, nitrogen is used as the reactive gas. As an alternative, it is also possible, combined with the use of the mixed target, to use nitrogen as the reactive gas in addition to oxygen.
- (57) Zusammenfassung: Zur Herstellung von Zirkonoxid-basierten Schichten auf einem Ablege-Substrat bei welchem reaktives Funkenverdampfen mit gepulstem Funkenstrom und/oder Anlegen eines zum Funkentarget senkrechten Magnetfeldes eingesetzt wird, wird ein ein elementares Zirkon und mindestens einen Stabilisator umfassendes Mischtarget eingesetzt oder ein Zirkoniumtarget aus elementarem Zirkonium wobei dann nebst Sauerstoff, Stickstoff als reaktiv Gas eingesetzt wird. Alternativ kann, kombiniert mit dem Einsatz des Mischtargets, auch, nebst Sauerstoff, Stickstoff als Reaktivgas eingesetzt werden.

#### Verfahren zur Herstellung von kubischen Zirkonoxidschichten

Die Erfindung bezieht sich auf Verfahren zur Herstellung von Zirkonoxidschichten, sowie auf Schichten und/oder auf Schichtsysteme, die Zirkonoxid beinhalten. Die Erfindung bezieht sich auch auf Produkte mit Zirkonoxidschichten und deren Anwendungen.

Die Zirkonoxid-basierenden Schichten sind vor allem in ihrer kubischen und/oder tertragonalen Ausbildung beispielsweise im Bereich der Anwendung in Festelektrolyt Brennstoffzellen interessant.

Die Ionenleitfähigkeit der Zirkonoxid-basierenden Schichten und deren thermische Beständigkeit erlauben aber auch den Einsatz im Bereich der Sensorik.

- Auch hier wird bevorzugt auf die kubische Kristallstruktur gesetzt, wie beispielsweise in US\_20040084309 beschreiben:

  Das Dokument beschreibt einen Sensor, der auf einer Zr-O
  Schicht basiert, die tetragonal oder kubisch ist und weniger als 5 mol% Beimengungen der monoklinen Phase
  enthält. Begründet wird die Notwendigkeit der Begrenzung der monoklinen Phase damit, dass so die Rissbildung bei Wechseltemperaturbelastung vermieden werden kann, die durch die Volumenänderungen beim Phasenübergang entsteht.

  Vermieden wird die monokline Phase mittels Stabilisatoren.
- In Abschnitt 101 wird auch beschrieben, dass eine kleine mittlere Korngrösse (kleiner 2.5 um) in der Schicht von Vorteil ist, da sie sich stabiler gegenüber Phasentransformationen verhält. In Abschnitt 103 sind

bevorzugte Verhältnisse der kubischen zur tetragonale Phase angegeben (400) für kubische Phase und (004) und (220) für tetragonale Phase.

Aufgrund der guten mechanischen Eigenschaften in Verbindung

mit den guten thermischen Barriereverhalten könnten die
Schichten aber auch auf dem Gebiet der
Werkzeugbeschichtung, besonders der Beschichtung von
Bauteilen mit Vorteil eingesetzt werden. Dabei steht das
Design von tribologischen Systemen im Vordergrund. Die
einstellbare Morphologie in Verbindung mit der
einstellbaren Härte der Schichten und die einfache
Kombination mit anderen Oxidschichten können zu einer
Optimierung des Verschleisses von beschichtetem
Werkstück/Bauteil und dem Verschleiss des Gegenkörpers
benutzt werden.

Eine weitere Anwendung wird in US\_20070004589 beschrieben: Dort wird eine Mischung aus tetragonalen und kubischen Zr-O unter Zusatz von Stabilisatoren für die Anwendung in Katalysatoren eingesetzt.

Zirkonoxid-basierte Schichten lassen sich bezüglich ihrer Zusammensetzung vor allem als Zr-O, Zr-O-N, Zr-St-O, Zr- St O-N beschreiben, wobei St für Stabilisatorenelemente steht, die zur Stabilisierung der kubischen bzw. tetragonalen Struktur des ZrO2 beitragen. Bevorzugt wird Y als ein Stabilisator eingesetzt. Im Stand der Technik sind unterschiedliche Verfahren zur Herstellung von Zirkonoxidbasierten Schichten bekannt, die im Folgenden kurz angesprochen werden sollen. a) Schichten mit Sintern hergestellt:

In US 05709786 bzw. EP 00669901 wird ein Sinterprozess zur Herstellung von Festelektrolyten aus Zr-O beschrieben. Dabei wird die Beifügung von Stabilisatoren zur Erhöhung der Ionenleitfähigkeit des Zr-O diskutiert, sowie auch das Co-sintern mit metallischen und keramischen Pulvern zur Herstellung von Kontakten in Verbindung mit dem Festelektrolyten. Gemäss diesem Stand der Technik wird als wesentlich beschrieben, dass Pulver mit Korngrössen im 10 Nanometerbereich die Temperaturabhängigkeit der Ionenleitfähigkeit reduzieren und dass die kleine Grösse der Pulver beim Sinterprozess vorteilhaft ist und die notwendige Temperatur zum Sintern herabsetzt. Das wird vor allem in dem Zusammenhang diskutiert, dass einige für die Erhöhung der Ionenleitfähigkeit vorteilhafte Stabilisatoren 15 bei den üblichen Pulvergrössen nur bei sehr hohen Temperaturen gesintert werden können. Die Schrift beschreibt die Schwierigkeiten der Schichtherstellung beim Sinterprozess und zeigt einen Lösungsansatz durch die 20 Herabsetzung der Pulvergrösse. Die Schichten werden analytisch nicht charakterisiert, aber es wird die Notwendigkeit demonstriert, dass es für bestimmte Anwendungen vorteilhaft ist, die Schichthärte und weitere mechanische Eigenschaften der Zr-O Schicht im

Die Zr-O Schichten der US 20040084309, die zum Einsatz in einem Sensor geeignet sind, werden ebenfalls in einem Sinterprozess hergestellt.

tribologischen System anpassbar zu machen.

25

Beim Sinterverfahren führen allerdings die notwendigen hohen Temperaturen zu erheblichen Nachteilen. Um diese herabzusetzen, werden kostspielige Pulver im Nanometerbereich als Ausgangsmaterialien benutzt. Bei hochschmelzenden Materialien müssen die üblichen 5 Sintertemperaturen (um 1500°C) noch weiter erhöht werden, um den Sinterprozess zu ermöglichen. Das ist vor allem dann der Fall, wenn die hochschmelzenden stabilisierenden Elemente beigefügt werden müssen, wie es in US 05709786 beschrieben wird. Aus dieser Schrift wird auch klar, dass 10 es wichtig ist, die Festelektrolytschicht mit weiteren Funktionsschichten (z.B. Elektroden) zu kombinieren bzw. mit mechanischen und thermischen Schutzschichten. Das heisst, dass es für die Anwendung notwendig ist, ein ganzes Schichtpaket mit aufeinander abgestimmten Funktionen 15 herzustellen, wobei die Herstellungstemperaturen aufeinander abgestimmt sein müssen um zu einem guten Schichtpaket zu gelangen (z.B. Interfaceproblematik, Schichtstabilität). Aus der Schrift wird auch deutlich, dass hohe Herstelltemperaturen aus Materialsicht 20 vorteilhaft sind für den Einbau von Stabilisatoren, diese aber nicht einfach realisiert werden können und für einen Schichtverbund noch schwieriger zu realisieren sind.

Es kommt hinzu, dass die durch das Sinterverfahren

25 hergestellten Schichten eher als kompakte Materialien anzusehen sind. Sie müssen oft noch stabilisiert (z.B. durch Netze) werden, damit der mechanische Verbund gewährleistet ist. Es hängt von der Sintertemperatur ab, welche Struktur des Zr-O erreicht wird und es sind

30 Stabilisatoren notwendig, um die kubische oder tetragonale

Struktur zu erzielen. Die Phasen, die bei diesem Verfahren entstehen entsprechen im Wesentlichen dem, was man aus dem Phasendiagramm ablesen kann, weil die Prozesse ja im Wesentlichen beim thermischen Gleichgewicht vor sich gehen.

- 5 Es gibt Stabilisatoren, die nur bei sehr hohen Temperaturen gesintert werden können und damit technisch schwierig oder nicht realisierbar sind. Dadurch wird die mögliche Schichtvielfalt eingeschränkt.
- Das "Ankoppeln" der gesinterten Schicht an andere

  10 Materialien ist schwierig, da unterschiedliche Temperaturen notwendig sind, um einen Verbund herzustellen und das zu verbindende Material den Temperaturbereich einschränkt. Die Schichten sind brüchig wie etwa Porzellan und es ist fast unmöglich, Multilagenstrukturen herzustellen. Die
- 15 Korngrössen der hergestellten Materialien sind durch die der Ausgangspulver und das Sinterverfahren bestimmt. Das einfache Aufbringen von thermischen Schutzschichten oder Metallelektroden kann kaum in einen Prozess erfolgen.
- Die Ausgangsmaterialien sind beim Sintern (Korngrösse) von ausschlaggebender Bedeutung um qualitativ hochwertige kubische bzw. tetragonale ZrO2 Schichten herzustellen. In beiden Fällen muss grosser Aufwand betrieben werden, um die Reproduzierbarkeit im Ausgangsmaterial zu gewährleisten. Eine verbesserte Herstellmethode sollte daher sowohl den
- 25 Herstellprozess des Ausgangsmaterials (Target) als auch die zeitliche Konstanz der Materialqualität während des Beschichtungsprozesses gewährleisten.

b) Schichten mit Plasmaspritzen hergestellt:

In US 20040022949 wird eine Verschleissschutzschicht für Gasturbinen aus kubischen oder tetragonalen Zr-O offenbart, die durch Plasmaspritzen hergestellt wird. Eine Behandlung im Wasserdampf transformiert diese Schicht in die weichere monokline Struktur, die sich beim Betrieb in einer Gasturbine wieder in eine kubische oder tetragonale Struktur umwandelt. Sinn dieser zusätzlichen Schichtbehandlung ist es, das Einlaufverhalten des Bauteils so zu gestalten, dass der Gegenkörper nicht verschlissen wird und die weiche Schicht angepasst wird. Wieder werden die üblichen Stabilisatoren verwendet, wobei Yttriumoxid (Y-O) im Bereich zwischen 0,3 und 20 mol% angegeben wird.

In US 20050170200 wird eine thermische

15 Barriereschutzschicht beschrieben, die aus einer Haftschicht, einer teilweise stabilisierten Zr-O Schicht und einer weiteren vollständig stabilisierten Zr-O Schicht besteht. Damit werden die guten mechanischen Eigenschaften des teilweise stabilisierten Zr-O mit den guten thermischen 20 Schutzeigenschaften des vollständig stabilisierten Zr-O kombiniert. Die Schichten werden mittels Plasmaspritzens hergestellt.

Die im Zusammenhang mit den Sinterverfahren erwähnte Interfaceproblematik besteht auch bei den thermischen Spritzverfahren. Auch hier ist es schwierig, eine gute Haftung zwischen der abgeschiedenen Schicht und dem zu beschichteten Substrat zu erzielen. Zudem ist es schwierig in diesem Verfahren graduelle Übergänge zwischen verschiedenen Materialien zu realisieren.

Wie beim Sintern sind auch bei der
Elektronenstrahlverdampfung (Tiegelmaterial mit
Vorbehandlung) die Ausgangsmaterialien von
ausschlaggebender Bedeutung um qualitativ hochwertige
5 kubische bzw. tetragonale ZrO2 Schichten herzustellen. In
beiden Fällen muss grosser Aufwand betrieben werden, um die
Reproduzierbarkeit im Ausgangsmaterial zu gewährleisten.
Eine verbesserte Herstellmethode sollte daher sowohl den
Herstellprozess des Ausgangsmaterials (Target) als auch die
zeitliche Konstanz der Materialqualität während des
Beschichtungsprozesses gewährleisten.

- c) Schichten mittels Elektronenstrahlverdampfen hergestellt:
- US\_20060171813\_beschreibt eine Anwendung von Zr-O Schichten auf Turbinenschaufeln. Auf einer inneren dichten Schicht die kubisches Zr-O oder Hf-O enthält wird eine weitere thermische Schutzschicht aufgebracht, die aus einer Multilagenschicht besteht, welche aus Zr-O und einem
  Metalloxid, beispielsweise Ta-O oder Nb-O besteht. Die Schichten werden mittels Elektronenstrahlverdampfung

In US 20080090100 Al wird eine thermische Barriereschicht beschrieben, die mittels Elektronenstrahlverdampfung

25 hergestellt wird.

abgeschieden.

In US 05418003 wird ein PVD Verfahren (Elektronenstrahlverdampfung) beschrieben, das zur Herstellung von thermischen Barriereschichten auf Zr-O Basis dient. Um das Spritzen beim Verdampfen zu reduzieren,

wird in US 06042878 A eine spezielle Vorbehandlung des Tiegelmaterials (ingot) angegeben.

In US 6586115 werden, ohne näher auf die Prozesse einzugehen, verschiedene PVD und CVD Methoden genannt um thermische Barriereschichten (TBC) aufzubringen. Dabei wird auch das Elektronenstahlverdampfen von Yttrium stabilisiertem Oxid erwähnt.

Die Elektronenstrahlverdampfung ermöglicht prinzipiell eine qute Haftung, da diese unter Vakuum abläuft und die Substratoberflächen durch Plasmabehandlung gereinigt und 10 aktiviert werden können. Allerdings ist der Ionisierungsgrad des verdampften Materials bei der Elektronenstrahlverdampfung klein, was meist nur ein kolumnares Wachstum der Schichten zulässt, das bei thermischen Schutzschichten erwünscht, aber für andere 15 Anwendungen und unter dem Aspekt der Haftung nachteilig ist. Vorteilhaft wäre der höhere Ionisierungsgrad des Dampfes auch unter dem Aspekt, dass er es zuliesse über einen Substratbias höhere Energie in die Schichtsynthese einzubringen und somit bessere Voraussetzungen dafür zu 20 schaffen, dass man die tetragonalen oder kubischen Strukturen im ZrO2 erreichen könnte, sogar ohne den Einbau

PVD Verfahren bisher gelungen. Ein weiterer gewichtiger

Nachteil bei diesem Verfahren ist der Aufwand, den man betreiben muss, um eine möglichst spritzerfreie Verdampfung zu erreichen. Um nämlich die abgeschiedenen Schichten durchgehend oxidieren zu können werden dem Tiegelmaterial Oxide beigegeben bzw. es werden nur Oxide benutzt. Da diese

von Stabilisatoren. Das ist aber weder hier noch in anderen

10

15

20

isolierend sind, ist das Einschmelzen bzw. Sublimieren der Oxide mit dem Elektronenstrahl nicht problemlos hinsichtlich Spritzern, aber auch einer Entmischung des Tiegelmaterials. Beides schlägt sich in einer komplizierten Prozessführung nieder. Zudem muss dem Prozess noch zusätzlicher Sauerstoff als Reaktivgas beigegeben werden, um die Schicht mit genügend Sauerstoff zu versehen.

Eine weitere Problematik ist darin zu sehen, dass beim Elektronenstrahlverdampfen das Material schockartig aufgeschmolzen wird. Hierdurch entsteht im Tiegel ein grosser Temperaturgradient, der nicht selten zu einem Tiegelbruch führt und diesen unbrauchbar macht. Diese Problematik wird im Zusammenhang mit Zirkonium in US 06143437 adressiert. Der dort verwendete Tiegel umfasst

bereits Zirkonoxid Pulver in kubischer Phase.

Ebenso beschreibt US 20070237971 die Verwendung eines Targets mit spezieller Zusammensetzung eines keramischen Pulvers. für die Elektronenstrahlverdampfung offenbart. Die aufwändige Methode zur Herstellung dieses Targets wird in US 20080088067 beschrieben. Die damit verbundenen Kosten stehen allerdings einer wirtschaftlichen Nutzung des Prozesses erheblich entgegen.

Es sei nochmals betont, dass die Schichten, die mit den Elektronenstrahlverfahren hergestellt werden, meist nur kolumnare Schichtmorphologie zulassen, da der Ionisierungsgrad des Metalldampfes zu gering ist, um die Beweglichkeit an der Substratoberfläche heraufzusetzen. Das schränkt natürlich auch die Einflussnahme auf die Schichtstruktur ein. Die Pflege der Schmelze ist ein

anderer Schwachpunkt des Verfahrens. Sie muss sehr sorgfältig und aufwendig betrieben werden, damit es zu keinen Entmischungen kommt, die sich dann in der Schichtzusammensetzung wiederfinden. Ein Verdampfen von Legierungen ist kaum möglich, d.h. man muss die prozesstechnisch weitaus schwierigere Oxidverdampfung mit Sauerstoffzugabe nutzen, um halbwegs stöchimetrische Schichten zu erreichen.

d) Schichten mittels Ion Beam Assisted Deposition (IBAD): 10 In US 20020031686 wird u.a. ein IBAD Verfahren offengelegt, das die Herstellung stark (biaxial) orientierten YSZ (Yttrium stabilisiertes Zirkonoxid) auf einer SiO2 Schicht erlaubt. Die Figuren zeigen für das YSZ die (200) und (400) Reflexe im XRD-Spektrum. Das YSZ dient in dieser Anwendung 15 als Wachstumsunterlage für die nächstfolgende Schicht, in dieser Anwendung Ce-O, Ru-O und/oder LSCO (Lanthan Strontium Cobald Oxid). Ziel ist es, leitfähige Oxide aus diesen Materialien herzustellen, wozu es die YSZ Unterlage braucht. Es werden in dieser Schrift Beispiele zur 20 Herstellung von YSZ Schichten angegeben, die bei 700°C Substrattemperatur abgeschieden wurden. Ohne weiteren Nachweis wird zusätzlich behauptet, dass der Prozess auf niedrigere Temperaturen zwischen 450°C und 600°C ausgedehnt werden kann. Die tiefe Prozesstemperatur ist eine 25 wünschenswerte Eigenschaft oder Bedingung, falls die Schichten auf bereits vorfabrizierten Substraten, beispielsweise Si-Wafern im Bereich der Halbleiterindustrie, abgeschieden werden sollen. Die

Schrift US\_20020031686 offenbart im XRD-Spektrum die (200) und die (400) Reflexe vom YSZ im 20 Bereich zwischen 20° und 80°. Das IBAD-Verfahren wird in US\_05872080 beschrieben.

- Das IBAD Verfahren beruht auf den Beschuss von Oberflächen, 5 einmal zum Abtragen von Material, zum anderen, um eine bestimmte Wachstumsrichtung des im Vakuum abgeschiedenen Materials zu erzwingen. Problematisch dabei ist, dass die Aufwachsraten bei dieser Technik klein sind und sich nicht für Anwendungen eignen, bei denen viel Material 10 grossflächig und kostengünstig abgeschieden werden muss. Bemerkenswert scheint, dass die Reflexe in US 20020031686, für die man die höchste Intensität beim tetragonalen bzw. kubischen ZrO2 erwartet (bei 20=30°und 50°) fast nicht nachweisbar sind. Das ist ein Indiz dafür, dass man bei den 15 TBAD Verfahren durch das Ionenbombardement stark texturierte Schichten herstellt und es ist fraglich, wie gross die Anteile des kubischen YSZ wirklich sind. Es ist aber auch ein Indiz dafür, dass bei diesem Prozess schon Substrattemperaturen von immerhin 700°C nicht ausreichen, 20 eine deutliche kubische Phase im YSZ zu erzielen. Das ist eine wesentliche Limitation bei den bisherigen PVD Verfahren: die Substrattemperaturen im Bereich zwischen 200°C und 600°C reichen nicht aus, um die kubische Phase im
  - e) Schichten in kombinierten PVD Verfahren (Sputtern-Funkenverdampfung)

ZrO2 zu erreichen.

25

In J. Cyviene et al., Surface and Coatings Technology, 180-181 (2004) 53-58 wird eine Kombination von Sputtern und Funkenverdampfung beschrieben. Dabei wird ein Zr Target für den Funkenverdampfer benutzt und ein Y Target für die Sputterquelle. Der Prozess läuft unter einem Prozessdruck 5 von 0.2 Pa ab, wobei dem Argon Sauerstoff bis zu einem maximalen Partialdruck von 0.08 Pa beigegeben wird. Allerdings beleuchtet das in Cyviene Surf. Coat. Tech 180-181 2004 beschriebene kombinierte Verfahren Sputtern-Funkenverdampfung beleuchtet einige Probleme, die sowohl 10 die Herstellmethode wie auch die abgeschiedene Schicht betreffen. Die Schrift geht auf die Problematik der Vergiftung des Sputtertargets ein, d.h. beschreibt, dass beim Betrieb des Sputtertargets an der Kante zum metallischen Mode gearbeitet werden muss, was eine 15 aufwendige Prozesskontrolle bedingt. Sowohl der Sputterbetrieb wie der Funkenbetrieb findet im Argon Arbeitsgas statt und es wird lediglich Sauerstoff in kleinen Mengen beigegeben. Der Betrieb in reinem Sauerstoff wird nicht beschrieben, würde aber ohne weitere Massnahmen 20 zu vollständigen Instabilitäten unter den beschriebenen Bedingungen führen: fast keine Rate mehr beim Sputtern, instabile Funkenverdampfung wegen Aufoxidation des Funkentargets und der Funkenanode und schliesslich 25 Unterbruch der DC Funkenentladung.

In Cyviene werden die Probleme auf der Schichtseite beim kombinierten Sputter-Funkenverfahren beschrieben, die durch die vorliegende Erfindung vermieden werden. Es wird beschrieben, dass die Funkenentladung mit dem Zr Target in

20

Argon mit Sauerstoffzugabe bei der synthetisierten Schicht nicht zu der kubische bzw. tetragonalen Phase führt, sondern lediglich eine monokline Struktur erreicht wird. Erst durch die Zugabe von Y als Stabilisator über den Sputterprozess kann das YSZ in der kubischen bzw. 5 tetragonalen Phase nachgewiesen werden. Das geht übrigens auch einher mit den Erfahrungen die Erfinder der vorliegenden Erfindung, denen, wie es in US\_20080090099 A1 offenbart ist (Tabelle 3, VNr 29), gelungen ist, ebenfalls ZrO2 in einem stabilen Funkenprozess unter 10 ausschliesslicher Sauerstoffatmosphäre und bei wesentlich höheren Drucken herzustellen, der aber auch keine kubische bzw. tetragonale Struktur des ZrO2 nachweisen konnte, ganz im Gegensatz zu den "hochtemperatur" Korundstrukturen in

Aus den XRD Spektrum Cyviene\_Surf.Coat.Tech\_180-181\_2004 wird noch ein anderer Sachverhalt deutlich. Man sieht die Bragg peaks der hexagonalen Phase des Y-O und des hexagonalen Zr. Das sind Schichtkomponenten, die wesentlich zu Schichtinstabilitäten beitragen können, falls es zu thermischen Wechselbelastungen kommt, wie das gewöhnlich bei den Anwendungen als Festelektrolyt oder thermische Barriereschicht der Fall ist.

dem dort beschriebenen Al-Cr-O Materialsystem.

Diese Probleme decken sich auch teilweise mit denen beim

25 IBAD: Vergiftungserscheinungen des Targets,
Schichtzusammensetzungen, die noch andere
Materialkomponenten enthalten, und eine schwierige
Kontrolle der Kristallstruktur der synthetisierten Schicht

bei den tiefen Substrattemperaturen zwischen 200°C und 600°C zur Folge hat.

Ausserdem, wie bereits oben bemerkt sind die Reflexe in US 20020031686, für die man die höchste Intensität beim tetragonalen bzw. kubischen ZrO2 erwartet (bei 2Θ=30°und 50°) fast nicht nachweisbar. Damit liegt aber sehr wahrscheinlich lediglich ein sehr kleiner Anteil an kubischem YSZ vor.

#### 10 f) Andere Verfahren:

US\_20060009344\_beschreibt die Herstellung eines Zr-O
Substrates, das sowohl Komponenten monokliner wie kubischer
Struktur des Zr-O umfasst und das deshalb besonders
geeignet ist, eine bessere Haftung zur eigentlichen

15 kubischen Zr-O Schicht herzustellen. Das Verfahren ist ein
Aerosol "CVD"-Verfahren. Wieder wird Wert darauf gelegt,
dass die Körner Grössen zwischen 5 nm und 1000 nm haben und
wieder wird das Zr-O mit Y-O zwischen 4 mol% und 8 mol%
stabilisiert.

20

25

5

All die beschriebenen Verfahren lassen den Schluss zu, dass es ein grosses Bedürfnis nach gegenüber dem Stand der Technik verbesserten Zirkonoxidschichten gibt, ebenso wie es ein Bedürfnis nach einem wirtschaftlichen und technisch beherrschbaren Verfahren zur Herstellung solcher Schichten gibt.

Der vorliegende Erfindung liegt daher die Aufgabe zugrunde Verfahren zur Herstellung von Zirkonoxid-Schichten anzugeben, welche nicht oder in wesentlich geringerem Umfang mit den oben geschilderten Problemen des Stand der Technik behaftet ist.

- Mit der vorliegenden Erfindung soll auch eine Verfahren zur Herstellung von Zirkonoxidschichten angegeben werden, welches es ermöglicht in weitem Umfang und im Wesentlichen ohne starke Änderung der Schichtzusammensetzung die Morphologie und insbesondere die Grösse der Kristallite zu steuern.
- Der vorliegenden Erfindung liegt auch die Aufgabe zugrunde Zirkonoxid-Schichten zu offenbaren, die im Wesentlichen in kubischer und/oder tetragonaler Struktur vorliegen und die im Vergleich zum Stand der Technik in wesentlich geringerem Umfang Bestandteile umfassen, die nicht kubisches
- 15 Zirkonoxid oder nicht tetragonales Zirkonoxid sind. Dies bezieht sich sowohl auf Schichten, die einen oder mehrere klassische Stabilisatoren aufweisen als auch solche ohne klassische Stabilisatoren.
- Als klassische Stabilisatoren werden im Rahmen dieser

  20 Beschreibung Stabilisatoren bezeichnet, welche in Reinform
  bei Raumtemperatur und unter Normaldruck als Festkörper
  vorliegen. Beispiele für solche klassischen Stabilisatoren
  sind Yttrium, Magnesium, Kalzium, Scandium und/oder der
  Metalle der seltenen Erden der Gruppe IIIA des
- Periodensystems. Hier seien noch zusätzlich erwähnt Sr, Ba, Ni, Fe, Co, La, Nd, Gd, Dy, Ce, Al, Bi, Ti, Tb, Eu, Sm. Diese genannten Stabilisatoren finden sich dann als Oxide oder Mischoxide in der synthetisierten Schicht wieder.
  Unter den Begriff der klassischen Stabilisatoren sollen

auch die Mischungen der oben beispielhaft erwähnten Materialien gelten.

Die Aufgabe wird durch Verfahren gelöst, welche auf reaktiver Funkenverdampfung beruhen, bei dem entweder der 5 Funkenstrom gepulst wird und/oder ein vorzugsweise kleines senkrechtes Magnetfeld am Funkentarget benutzt wird. Gattungsgemässe Verfahren zur Herstellung von Schichten wurden bereits in den Anmeldungen US 20070000772 A1 und US 20080020138 A1 beschrieben und werden hier als bekannt vorausgesetzt. Insbesondere die US 20080090099 A1 beschreibt auch die entsprechende Herstellung von ZrO2 Schichten. Der Prozess ist so stabil ausgelegt, dass die Funkentargets in Reaktivgasdrucken zwischen 0.1 Pa und 10 Pa betrieben werden können.

Im Unterschied zu den dort beschriebenen Verfahren werden nun jedoch erfindungsgemäss zusätzliche Massnahmen ergriffen, um Zirkonoxid in der kubischen und/oder der tetragonalen Kristallstruktur auf Substraten abzuscheiden.

20

25

In einer ersten Ausführungsform der vorliegenden Erfindung wird die Aufgabe gelöst durch ein Verfahren zur Herstellung einer Zirkonoxid-basierten Schicht auf einem Ablege-Substrat, unter Einsatz reaktiven Funkenverdampfens, mit gepulstem Funkenstrom und/oder mit Anlegen eines zum Funkentarget senkrechten Magnetfeldes, wobei ein ein elementares Zirkon und mindestens einen Stabilisator umfassendes Mischtarget eingesetzt wird.

In einer Variante dieser Ausführungsform wird dabei die Schicht in kubischer und/oder tetragonaler Kristallstruktur hergestellt.

Gemäss der ersten Ausführungsform der vorliegenden

5 Erfindung besteht mithin eine erfinderische Massnahme
darin, für das Funkenverdampfen ein Mischtarget zu
verwenden, welches elementares Zirkon und einen/oder
mehrere klassische Stabilisatoren im in der Schicht
gewünschten Konzentrationsverhältnis umfasst. Wie sich
erstaunlicherweise herausgestellt hat, lässt sich ein
solches Zirkon-Stabilisator Mischtarget mittels gepulster
Funkenquelle und/oder mittels geringem senkrechten
Magnetfeld problemlos unter Sauerstoffdrücken betreiben,
die auch deutlich über 0.1 Pa liegen und sogar bis zu 10 Pa
und darüber hinaus gehen können.

In einer Variante dieser Ausführungsform wird mithin der Sauerstoffpartialdruck über 0.1Pa gewählt, vorzugsweise mindestens zu 10Pa.

Die Konzentrationsverhältnisse des Mischtargets

20 reproduzieren sich im Wesentlichen in den

Konzentrationsverhältnissen der auf den Substraten

aufgebrachten Schichten, und zwar im Wesentlichen

unabhängig vom Sauerstoffdruck.

In einer Variante dieser Ausführungsform wird somit das

Konzentrationsverhältnis von Zirkonoxid und Stabilisator an der Schicht mindestens im Wesentlichen durch das

Konzentrationsverhältnis von elementarem Zirkonium und Stabilisator am Mischtarget vorgegeben.

Bei genügend hoher Stabilisatorkonzentration ist automatisch für das Vorliegen der kubischen und/oder tetragonalen Kristallstruktur gesorgt. Beim Sauerstoffdruck kann es sich um einen Partialdruck oder einen Totaldruck handeln.

In einer Variante dieser Ausführungsform wird mithin, durch Wahl der Konzentration des Stabilisators im Mischtarget, die kubische und/oder tetragonale Kristallstruktur erreicht.

- 10 Damit kann im Verfahren der Sauerstoffdruck als hinsichtlich Schichtzusammensetzung freier Parameter betrachtet und eingestellt werden. Hingegen haben verschiedene Experimente gezeigt, dass der Sauerstoffdruck oder -fluss erstaunlicherweise als massgeblicher
- Einflussfaktor auf die Schichtmorphologie angesehen werden kann. Somit wurde von den Erfindern ein Verfahren erfunden, welches über die Wahl der Konzentrationsverhältnisse des Mischtargets eine Wahl der Schichtzusammensetzung ermöglicht und im Wesentlichen unabhängig davon, über die
- 20 Wahl des Sauerstoffpartialdrucks, die Wahl der Schichtmorphologie, wie zum Beispiel die Grösse der Kristallite oder die Frage des kolumnaren Wachstums zulässt. Dabei ist zusätzlich bemerkenswert, dass dies bei relativ moderaten Substrattemperaturen geschehen kann.
- In einer Variante dieser Ausführungsform wird der Sauerstoffpartialdruck, als bezüglich des Erreichens kubischer und/oder tetragonaler Kristallstruktur mindestens im Wesentlichen freier Stellparameter, für die Vorgabe der Schichtmorphologie eingesetzt.

In einer weiteren Variante dieser Ausführungsform, auf die weiter unten vermehrt eingegangen werden soll, umfasst das Reaktivgas, nebst Sauerstoff, Stickstoff.

In einer zweiten Ausführungsform der vorliegenden Erfindung
wird die erwähnte Aufgabe gelöst durch ein Verfahren zur
Herstellung einer Zirkonoxid-basierten Schicht auf einem
Ablege-Substrat, unter Einsatz reaktiven Funkenverdampfens
mit gepulstem Funkenstrom und/oder mit Anlegen eines zum
Funkentarget senkrechten Magnetfeldes, bei welchem ein
Zirkoniumtarget aus elementarem Zirkonium eingesetzt wird
und, nebst Sauerstoff, Stickstoff als Reaktivgas eingesetzt
wird.

In einer Variante dieser Ausführungsform wird dabei die Schicht in kubischer und/oder tetragonaler Kristallstruktur hergestellt.

15

Gemäss dieser zweiten Ausführungsform der vorliegenden Erfindung kann auf die Verwendung von klassischen Stabilisatoren verzichtet werden, wenn als zweite erfinderische Massnahme dem Reaktivgas Stickstoff zugegeben wird. Als Target kann demgemäss ein elementares 20 Zirkoniumtarget verwendet werden. Ohne diese weiteren Massnahmen, d.h. ohne Stickstoff würden nun im Rahmen des Funkenverdampfens monokline Zirkonoxidschichten auf den Substraten abgeschieden. Wie sich erstaunlicherweise gezeigt hat, führt bei bestimmten Druckverhältnissen und 25 Gasflüssen die Verwendung von Stickstoff und Sauerstoff als Reaktivgas zu Zirkon, Sauerstoff und Stickstoff enthaltenden Schichten, welche in kubischer oder tetragonaler Kristallstruktur vorliegen Die

Druckverhältnisse und Gasflussverhältnisse können dabei so gewählt werden, dass Röntgenbeugungsspektren der entsprechenden Schichten deutliche Reflexe des kubisch kristallisierten ZrO<sub>2</sub> aufweisen.

- In einer Variante dieser Ausführungsform wird mithin durch Einstellung der Druckverhältnisse beim Funkenverdampfen eine Schicht erzeugt, die Zirkon, Sauerstoff und Stickstoff enthält, mit kubischer und/oder tetragonaler Kristallstruktur.
- 10 Bei diesem Verfahren wird bevorzugt der Sauerstoffanteil über eine Gasflussregelung eingestellt, während der Stickstoffanteil entsprechend einer Totaldruckregelung gewählt wird. Bei einer Beschichtung gemäss dieser zweiten erfinderischen Ausführungsform hat sich gezeigt, dass,
- aufbauend auf kubisch auskristallisierten Zirkon,
  Stickstoff und Sauerstoff enthaltende Schichten reine ZrO<sub>2</sub>
  Schichten, d.h. ganz ohne Stabilisator, beschichtet werden können, die zwar dünn sind, aber in kubischer
  Kristallstruktur vorliegen.
- In einer Variante dieser Ausführungsform wird mithin die Zirkonoxid- basierte Schicht als reine ZrO2 Schicht in kubischer Kristallstruktur, auf einer kubisch auskristallisierten, Zirkon, Stickstoff und Sauerstoff enthaltenden Schicht abgelegt.
- Der Umstand, dass dicke reine ZrO<sub>2</sub> Schichten, d.h. ohne Stickstoffanteil, schliesslich wieder in die weiche monokline Phase umschlagen, kann für manche Anwendungen, die beispielsweise ein reibungsminderndes Einlaufen benötigen, mit Vorteil ausgenutzt werden und soll auch

PCT/EP2010/064136

Bestandteil der vorliegenden Erfindung sein. Somit ist eine Verwendung dieser Variante die Herstellung einer Schicht, die in die monokline Phase umschlagen kann, vorzugsweise für reibungsminderndes Einlaufen.

- Wie oben angetönt wird gemäss einer dritten Ausführungsform der vorliegenden Erfindung die zweite erfindungsgemässe Ausführungsform, d.h. die Verwendung des Stickstoffs als zusätzliches Reaktivgas und die erste erfindungsgemässe Ausführungsform, d.h. die Verwendung eines einen
- 10 klassischen Stabilisator enthaltenden Zirkoniummischtargets in Kombination ausgeführt. Dies ermöglicht die Herstellung von kubischen und/oder tetragonalen Zirkonoxidschichten mit weniger Stabilisatorkonzentration als sonst üblich. Im Vergleich zur geschilderten zweiten Ausführungsform kann
- durch das Vorhandensein von unter Umständen geringer
  Konzentration von klassischem Stabilisator in grossem
  Umfang der Sauerstoffgasfluss und damit mit die Morphologie
  der aufgebrachten Schicht gezielt eingestellt werden.
- Die Erfindung soll nun im Detail und anhand der folgenden 20 Abbildungen Tabellen und Figuren beispielhaft beschrieben werden.

Es wird nun zunächst eine der möglichen Anwendungen genauer diskutiert um daran fest zu machen, welche Anforderungen ein entsprechendes Verfahren und/oder eine entsprechende Schicht vorzugsweise erfüllen sollte. Die Aufzählung der Anforderungen ist dabei im Wesentlichen nicht kumulativ zu verstehen, wobei es natürlich von Vorteil sein kann, wenn gleich mehrere dieser Eigenschaften oder gar erfüllt sind.

25

Anschliessend wird kurz auf eine Besonderheit der für die Verfahrensbeispiele verwendeten Beschichtungsanlage eingegangen, die vorzugsweise zu realisieren ist und zu besonders stabilen Beschichtungsprozessen führt.

5 Anschliessend werden beispielhaft verschiedene Beschichtungsprozesse aufgelistet.

Erst danach werden die damit hergestellten Schichten charakterisiert.

Nach der Charakterisierung schliesst sich eine Diskussion 10 und Interpretation der gefundenen Charakteristika an.

Ein Thema im Zusammenhang mit der eventuell auch erfinderischen Verwendung der vorliegenden Erfindung betrifft die Herstellung eines Materials in Schichtform, das hohe Sauerstoffionenleitfähigkeit aufweist und

15 besonders für Festelektrolytbrennstoffzellen geeignet ist.

Eine typische Festelektrolytbrennstoffzelle ist beispielsweise in S.C.Singhal, Recent Progress in Zirkonia-Based Fuel Cells for Power Generation, Fifth International Conference on Science and Technology of Zirkonia, August

- 20 16.-22.1992, Melbourne, Australia beschrieben. Daraus geht hervor, dass die eigentliche Festelektrolyschicht beidseitig noch mit porösen Elektroden (Kathode luftseitig, Anode Fuelseitig) versehen werden muss und dass es dann noch zusätzliche "dichte" Interconnects benötigt, um eine
- 25 komplette Brennstoffzelle zu fertigen. Das Design der Brennstoffzelle basiert also auf einem kompletten Schichtsystem, dass intensiver thermischer Wechselbelastung ausgesetzt ist. Der Einsatz der Zelle unter diesen Bedingungen stellt enorme Anforderungen an die Stabilität

des gesamten Schichtpaketes hinsichtlich der Vermeidung von Diffusion und Stabilität der Schichtstruktur. Besonders wichtig sind die chemische Stabilität des Festelektrolyten und dessen kristalline Struktur. Diese Temperaturstabilität schliesst im Besonderen ein, dass es zu keinen oder wenigen temperaturbedingten Phasenumwandlungen im Festelektrolyt kommt. Wichtig ist auch die Kontrolle bzw. Vermeidung von Diffusionsvorgängen innerhalb der Zelle, um "Alterungserscheinungen" oder Performanceverlusten zu begegnen. Von grosser Bedeutung für die Stabilität der Zelle ist die Anpassung der thermischen Ausdehnungskoeffizienten unter den verschiedenen Schichtmaterialien, die die Zelle ausmachen.

Aus diesen allgemeinen Überlegungen gelangten die Erfinder

zu folgenden konkreten Anforderungen an die
Festelektrolytschicht und das Gesamtschichtpaket der
Brennstoffzelle und es ergibt sich mithin eine
erfindungsgemässe Verwendung der bis anhin diskutierten
Verfahren für die Herstellung einer Festelektolytschicht in
einer Brennstoffzelle.

Wird eine Zirkonoxid Schicht als Festelektrolytschicht eingesetzt so sollte sie vorzugsweise vorwiegend aus kubischem und/oder tetragonalem ZrO2 bestehen, um die Phasenumwandlung in eine monokline Struktur zu vermeiden.

25 Bei der Verwendung von klassischen Stabilisatoren sollte vorzugsweise deren Einbau problemlos sein und die freie Auswahl der klassischen Stabilisatoren sollte nicht durch die Herstellmethode eingeschränkt werden.

Somit gilt für eine Variante der erfindungsgemässen Verwendung der genannten Verfahren: Der Stabilsator wird frei gewählt.

Es sollten sowohl Schichtzusammensetzung als auch

Phasenzusammensetzung als auch Schichtmorphologie

vorzugsweise weitgehend unabhängig voneinander mittels

einfach zu regelnder Parameter der Herstellungsmethode

veränderbar sein.

Somit gilt für eine Variante der erfindungsgemässen

Verwendung der genannten Verfahren: Es werden
Schichtzusammensetzung, Phasenzusammensetzung und
Schichtmorphologie mindestens weitgehend unabhängig
voneinander mittels Regelung von Parametern des
Verdampfungsprozesses eingestellt.

- 15 Schichtmorphologie und Kristallstruktur der Schicht sollten vorzugsweise in einem Substrattemperaturbereich zwischen 200°C und 700°C herstellbar sein, damit sie einmal kompatibel sind mit gewöhnlichen Substratmaterialien und zum anderen die Substrattemperatur frei so gewählt werden
- 20 kann, dass die Anpassung an die verschiedenen
  Ausdehnungskoeffizienten innerhalb des gesamten
  Schichtpaketes möglich ist, d.h. man sollte vorzugsweise
  die Substrattemperatur so wählen können, dass sich Zug- und
  Druckspannung der Einzelschichten zumindest teilweise
- 25 kompensieren, beispielsweise in der Mitte des Betriebsbereiches.

Für die erfindungsgemässen Verfahren erfolgt mithin, in einer Variante, das Ablegen der Schicht bei einer Substrattemperatur zwischen 200°C und 700°C. In einer weiteren Variante der erfindungsgemässen Verfahren wird die Schicht als Schicht in einem Schichtpaket hergestellt.

Die Schichtmorphologie der Festelektrolyteschicht sollte 5 sich vorzugsleise einstellen lassen von dichter Mophology (glassy) bis zu stark kolumnaren Wachstum.

Somit gilt für eine Variante der erfindungsgemässen Verwendung der genannten Verfahren: Es lässt sich die Schichtmorphologie von glasähnlich bis kolumnar einstellen.

10 Es sollte vorzugsweise die Möglichkeit bestehen, die kubische bzw. tetragonale Phase des ZrO2 auch ohne klassische Stabilisatoren zu synthetisieren, entweder für die Verwendung als Festelektrolyt oder für die Verwendung als Wachstumsunterlage der kubischen bzw. tetragonalen

15 Phase für ein YSZ mit geringem Anteil an klassischen Stabilisatoren, beispielsweise aus Kostengründen für die klassischen Stabilisatoren.

Somit gilt für eine Variante der erfindungsgemässen Verwendung der genannten Verfahren: Es wird die

20 Festelekrolytschicht ohne Stabilisator hergestellt.

Eine Verwendung der genannten Verfahren ist auf die Herstellung der Schicht als Wachstumsunterlage für ein YSZ gerichtet.

Es sollen vorzugsweise einfache Gradientenschichten

zwischen der Festelektrolytschicht und den Elektroden
einerseits sowie den Interconnects andererseits möglich
sein, ohne dass der Beschichtungsprozess unterbrochen
werden muss. Im Besonderen bedeutet das, dass vorzugsweise

Gradienten zwischen Metallen und Metallnitriden, Metallen und Metalloxiden sowie Metallnitriden und Metalloxiden realisiert werden können sollten.

Somit gilt für eine weitere Variante der erfindungsgemässen

5 Verwendung der genannten Verfahren: Die Schicht wird mit
einem Gradienten der Schichtmaterialzusammensetzung in
Richtung ihrer Dickenausdehnung hergestellt, vorzugsweise
ist der Gradient wie folgt: Von Zr zu ZrN, dann zu ZrO dann
zu ZrO2, mit freier Wählbarkeit von Morphologie und Phase.

Mehrfachlagenschichten, die durch Variation im Sauerstoff-Stickstoffgehalt hergestellt werden, werden von den Erfindern als von besonderer Bedeutung angesehen.

In einer Variante der erfindungsgemässen Verfahren wird mithin die Schicht durch Variation des

15 Sauerstoff/Stickstoff -Gehaltes, als Mehrfachlagenschicht hergestellt.

Dabei spielen Übergänge zwischen Metallnitrid und den verschiedenen Metalloxiden eine besondere Rolle, da somit in einem Materialsystem sowohl leitfähige wie isolierende Schichten hergestellt werden können und die Phasen auswählbar sind, was sowohl für die mechanische als auch für die strukturelle Stabilität des Schichtpaketes vorteilhaft ist.

Vorzugsweise sollte eine freie Formierbarkeit des

25 Interfaces/Zwischenschicht zu praktisch allen Materialien möglich sein.

Vorzugsweise sollte, wie erwähnt wurde, die Möglichkeit bestehen sämtliche Schichten in einem Materialsystem zu formieren, welches als metallische Komponente Zirkon umfasst: Zr zu ZrN zu ZrO zu ZrO2 mit der freien

5 Wählbarkeit von Morphologie und Phase.

Vorzugsweise findet die Formierung der kubischen oder tetragonalen Phase anders als beim Sintern bei tiefer Substrattemperatur weit entfernt vom thermischen Gleichgewichtszustand statt.

10 Es ergibt sich somit die Variante der erfindungsgemässen Verfahren, wonach die Formierung der kubischen oder tetragonalen Phase entfernt vom thermischen Gleichgewichtszustand vorgenommen wird.

Von Vorteil kann es sein wenn es möglich ist, das Zr-O Schichtsystems mit anderen Oxiden, die zum Beispiel substratangepasst sind, zu kombinieren.

Auch kann die Möglichkeit der Beimengung von anderen Metalloxiden und Gemischen vorteilhaft sein, um beispielsweise die Ionenleitfähigkeit heraufzusetzen.

20 Es ergibt sich somit die Variante der erfindungsgemässen Verfahren, wonach Oxyde anderer Metalle als von Zirkonium in das Schichtmaterial eingebaut werden.

Vorzugsweise kann die Kristallitgrösse der Schicht eingestellt werden, insbesondere im Nanometerbereich. Diese geringe Kristallitgrösse erhöht den Ionentransport entlang der Korngrenzen im Vergleich zu Materialien mit grösseren Körnern und resultiert in einer geringeren Abhängigkeit der Ionenleitfähigkeit von der Temperatur.

25

Somit ergibt sich eine erfindungsgemässe Verwendung der erfindungsgemässen Verfahren für die Erhöhung des Ionentransportes entlang der Korngrenzen wobei die Kristallitgrösse der Schicht vorzugsweise im Nanometerbereich eingestellt wird.

Vorzugsweise sind die Festelektrolyt-Schichtsysteme kombinierbar mit beispielsweise porösen Schutzschichten über der Festelektrolytschicht.

Vorzugsweise gibt es die Möglichkeit zur Erhöhung der

10 mechanischen Stabilität und zum Erzielen einer bestimmten

Mikrostruktur durch Beifügen von Al-O, Cr-O, Al-Cr-O, oder

weiteren mechanisch stabilen Materialien.

Hinsichtlich dem Herstellungsverfahren sind folgende Anforderungen jeweils vorzugsweise erfüllt:

15 Vorzugsweise steht ein Verfahren zur Verfügung, das die hohen Sintertemperaturen durch einen Prozess ersetzt, bei dem am Substrat lediglich Temperaturen zwischen 200°C und 700°C notwendig sind.

Vorzugsweise steht ein Verfahren zur Verfügung, das ein 20 problemloses Ankoppeln von mehreren Schichten mit unterschiedlicher Funktionalität an die Festelektrolytschicht zulässt.

Vorzugsweise steht ein Verfahren zur Verfügung, das pulvermetallurgische hergestelltes Material in eine intermetallische Verbindung überführt und diese reaktiv verdampft und als Schicht auf dem Substrat kondensiert.

15

20

25

Vorzugsweise steht ein Verfahren zur Verfügung, welches im Wesentlichen Unabhängigkeit von der Grösse der Ausgangspulver mit sich bringt.

Vorzugsweise steht ein Verfahren zur Verfügung, welches leicht übertragbar ist auf andere Materialsysteme.

Vorzugsweise steht ein Verfahren zur Verfügung, welches eine bessere Möglichkeit der Interfaceformierung bietet als das beim Plasmaspritzen.

Vorzugsweise steht ein Verfahren zur Verfügung, bei dem es 10 nicht zu Regelproblemen kommt wie beim Elektronenstrahlverdampfen.

Vorzugsweise steht ein Verfahren zur Verfügung, welches kostengünstige Technologie anwendet, zu einer Reduktion der Spritzer im Vergleich zum Plasmaspritzen führt und die einfache Prozessausdehnung auf quarternäre Oxide erlaubt.

Vorzugsweise steht ein Verfahren zur Verfügung, welches Targets benutzt, welche mit Standardmethoden beispielsweise im pulvermetallurgischen Verfahren oder Plasmaspritzverfahren in der der für die Schicht gewünschten Zusammensetzungen herstellbar sind.

Es soll nun auf eine Besonderheit der für die folgenden Beispiele verwendeten Beschichtungsanlage eingegangen werden, die zu einem besonders stabilen Beschichtungsprozess führt. Im Unterschied zu den Verfahren, die in den oben genannten Druckschriften

Verfahren, die in den oben genannten Druckschriften beschrieben sind und die vor allem das Problem der Oxidbelegung am Target (Kathode der Funkenentladung) bei Prozessen im reinen Sauerstofffluss betreffen, wurde bei den unten aufgeführten Beispielen eine Beschichtungsanlage mit speziell ausgeführter Anode verwendet und dadurch ein weiteres Problem der reaktiven Funkenverdampfung gelöst, welches nicht direkt mit der Herstellung von

- 5 Zirkonoxidschichten verknüpft ist. Dem Fachmann ist bekannt, dass sich nicht nur das Target, sondern auch die Anode der Funkenentladung im reinen Sauerstoffreaktivgas mit einer Oxidschicht belegen kann. In WO 2009/056173 Al wurde deshalb eine spezielle Ausführung der Anode
- (Hohlanode) beschrieben, die die Anodenfläche auch unter der Bedingung des Betriebs der Funkenentladung im reinen Sauerstoffreaktivgas leitfähig hält. Dies führt schon zu recht stabilen Beschichtungsprozessen. Mit dieser Beschreibung soll allerdings ein verbessertes Anodendesign
- offenbart werden, das für viele Anwendungen in der Produktion einfacher zu realisieren ist und weit weniger Wartungsaufwand erfordert. Eine Ausführungsform dieser Anode 101 ist in Figur 19b dargestellt. Figur 19a zeigt die Anode 101 schematisch als Bestandteil einer
- Beschichtungsanlage mit Funkenstromquelle 107 der
  Beschichtungsanlage und Funkenkathode 111. Die Anode 101
  umfasst eine beheizbare, elektrisch von Masse getrennter
  Heizwendel 103, die durch eine zusätzliche elektrische
  Versorgung 109 gespiessen wird. Die Heizwendel 103 der
- 25 Anode 101 ist elektrisch isoliert vom Mantel 105 ausgeführt, der entweder auf Massepotential gelegt werden oder floatend betrieben werden kann und zumindest teilweise als Anodenfläche für die Funkenentladung dient.
- Unter einem weiteren Aspekt der Erfindung wird somit eine 30 Anode für eine Funkenverdampfungsquelle, insbesondere zur

Ausführung der vorerwähnten Verfahren insbesondere in deren erfindungsgemässen Verwendungen vorgeschlagen, die umfasst:

- Einen Anodenkörper mit einer Anodenfläche,
- entlang der Anodenfläche eine Heizwendel, die vom Anodenkörper elektrisch isoliert ist,
  - vom Anodenkörper elektrisch isolierte Anschlüsse für die Heizwendel.
- Wie Figur 19b zeigt ist die Anode 101 so ausgestaltet, dass sie sich beim Temperaturwechsel in solchem Umfang verformt, dass die Oxidschichten, die sich auf dem die Oberfläche der Anode bildenden Mantel 105 beim Beschichtungsbetrieb fortwährend aufbauen, bei einem Temperaturwechsel abplatzen.

In einer Variante der erfindungsgemässen Anode ist der Anodenkörper aus Blechmaterial geformt.

Erfindungsgemäss wird eine Funkenverdampfungsanlage mit einer solchen Anode so betrieben, dass man die

- 20 Anodenfläche, zur mindestens teilweisen Reinigung von einer Störbeschichtung, einem mittels Aktivierung/Desaktivierung der Heizwendel bewirkten Temperaturwechsel aussetzt, derart sich die Anodenfläche verformt und die Störbeschichtung abplatzt.
- Durch induzierte Temperaturwechsel kann somit eine ständig frei werdende und leitfähige Anodenfläche garantiert werden. In der Beschichtungsanlage können einige dieser

selbstreinigenden Anoden verteilt werden, um die gleichmässige Beschichtung zu garantieren. In einer bevorzugten Variante können diese Anoden so ausgestaltet sein, dass sie auch gleichzeitig als Substratheizung benutzt werden können. In einer weiteren bevorzugten Variante, können diese Anoden durch Blenden vor der direkten Beschichtung durch die Funkenquellen geschützt werden.

Die sich nun anschliessenden Verfahrensbeispiele, die im Folgenden diskutiert werden, wurden mit dieser neuen 10 Anodenanordnung durchgeführt, wobei deren Einsatz nicht zwingend für die Herstellung der Zirkonoxidschichten ist. Zuerst werden Beispiele zur Synthese von ZrO2-Schichten, die kubische bzw. tetragonale Phasen umfassen angegeben, wobei mit dem Quellenbetrieb analog zu US 20080020138 A1 15 gearbeitet wurde. Als Funkenquellen wurden für die Haftschichten (SL) ebenso wie für die Funktionsschichten (FL) die Funkenquellen der Firma OC Oerlikon Balzers AG mit Targets, die einen Targetdurchmesser von 160 mm und eine Dicke von 6 mm aufweisen und mit einem Standardmagnetsystem 20 wie beispielsweise in der US\_20070000772\_A1 beschrieben, verwendet:

#### Beispiel 1:

#### 25 Schritt (A)

Zuerst erfolgt eine Reinigung der Substrate, auf die die Schicht oder das Schichtsystem aufgebracht werden soll, ausserhalb des Beschichtungssystems. Diese hängt von Substratmaterial und dessen Herstellmethode ab. Meist werden nasschemische Behandlungen, Ausheizen in bestimmten Gasatmosphären oder andere dem Fachmann bekannte Verfahren durchgeführt. In diesem Fall wurde eine nasschemische Behandlung durchgeführt.

#### Schritt (B)

5

Nach Einlegen der Werkstücke in dafür vorgesehenen
Halterungen und Einbringen der Halterungen in die

Vakuumbehandlungsanlage, wird die Behandlungskammer auf
einen Druck von ca. 0.01 Pa abgepumpt.

#### Schritt (C)

Danach wird in einem ersten Vakuumvorbehandlungsschritt ein durch Strahlungsheizer unterstütztes Niedervoltbogenplasma zwischen einer durch eine Blende abgetrennte Kathodenkammer mit Heisskathode und den anodisch geschalteten Werkstücken in einer Argon-Wasserstoffatmosphäre gezündet, wobei der Prozessschritt durch folgende Parameter charakterisiert

#### 20 ist:

Strom des Niedervoltbogens 150 A

Argonfluss

50 sccm

Wasserstofffluss

300 sccm

Prozessdruck

1.4 Pa

25 Substrattemperatur

stabilisiert sich bei ca.

500°C

Prozesszeit

45 min

In diesem Prozessschritt werden die Substrate bevorzugt als Anode für den Niedervoltbogen geschaltet.

#### 5 Schritt (D)

10

In diesem Prozessschritt erfolgt das Ätzen der Substrate, um eine verbesserte Schichthaftung zum Substrat hin zu erzielen. Dafür wird der Niedervoltbogen zwischen dem Filament und einer Hilfsanode betrieben. Bevorzugt werden die Werkstücke mit einer negativen Biasspannung beaufschlagt. Typische Parameter für diesen Schritt sind:

Argonfluss 60 sccm

Prozessdruck 2.4 Pa

Strom des Niedervoltbogens 150 A

15 Substrattemperatur ca. 500°C

Prozesszeit 30 min

Biasspannung 200 V (für intensivere

Ätzeffekte bis zu 1200 V)

#### 20 (E1)

25

Obwohl das Oxid direkt auf dem Substrat abgeschieden werden kann, soll hier eine Schichtfolge geschildert werden, die sich besonders eignet, um Oxide an metallische Unterlagen anzubinden und die zuerst eine Zwischenschicht oder Stützschicht (SL) verwendet, ehe die eigentliche Funktionsschicht (FL) abgeschieden wird. Dies besteht

darin, dass eine erste Schicht aus ZrN auf dem Substrat abgeschieden wird.

Damit ergibt sich eine Variante der erfindungsgemässen Verfahren wobei das Ablegesubstrat eine metallische Oberfläche hat, dahingehend, dass eine Stützschicht auf der metallischen Oberfläche abgelegt wird, dann die Schicht auf die Stützschicht, wobei die Stützschicht vorzugsweise aus einem Metall ausser Zr, einem Nitrid oder einem Oxid besteht, vorzugsweise aus ZrN.

10

15

20

25

5

Es werden folgende Parameter verwendet:

Betrieb von 4 elementaren Zr-Targets (natürlich nicht auf diese Zahl beschränkt, eine wesentliche Veränderung der benutzten Targetanzahl muss sich natürlich in einer Anpassung des Drucks bzw. der Sauerstoffflüsse widerspiegeln) mit jeweils 200 A Funkenstrom.

Totaldruckgeregelt auf 3.5 Pa, d.h. es wird Stickstoff über die Flowmeter so geregelt eingelassen, dass sich immer ein Totaldruck von 3.5 Pa in der Beschichtungskammer einstellt.

Substratbias -60 V (wobei Bereiche zwischen -10 V und -1200 V möglich sind), bipolar gepulst mit vorzugsweise 36  $\mu$ s negativer und 4  $\mu$ s positiver Pulslänge, was einer Frequenz von 25 kHz entspricht.

Substrattemperatur ca. 500°C

Prozesszeit ca. 5 min

(F1)

In einem weiteren Schritt erfolgt der Übergang zur eigentlichen Funktionsschicht, indem über die Flowmeter Sauerstoff zugegeben wird, mit folgenden Prozessparametern:

5 Sauerstofffluss siehe unten

Prozessdruck 3.5 Pa (weiterhin

Totaldruckgeregelt)

Funkenstrom je 200 A für die 4 elementaren Zr-

Targets

20

10 Substratbias -40 V (bipolar)

Substrattemperatur ca. 500°C

Prozesszeit 40 min

Gibt man wie beschrieben 300 sccm Sauerstoff zu, erhält man 15 eine Schicht, deren Bruchquerschnitt aufgenommen im SEM in Abbildung 1a und b wiedergegeben ist (siehe Probe 793).

Es wurden für Sauerstoffflüsse zwischen 0 und 400 sccm Schichten auf diese Art hergestellt, die in Tabelle 1 beschrieben sind. Die SEM Aufnahmen der Bruchquerschnitte wurden ebenfalls gemacht. Die Abbildungen zeigen folgende Proben:

Abbildung 2: Probe 777 (0 sccm 02)

Abbildung 3: Probe 778 (50 sccm 02)

Abbildung 4a und b: Probe 779 (200 sccm 02)

25 Abbildung 5a und b: Probe 799 (250 sccm 02)

Abbildung 6a und b: Probe 780 (400 sccm 02).

Der in Beispiel 1 beschriebene Prozess beruht auf der Nutzung von "reinen", d.h. elementaren Zr-Funkentargets ohne klassischem Stabilisator, die in einer reinen Reaktivgasatmosphäre betrieben wurden, d.h. ohne Argon sondern jeweils entweder mit N2 zur Zr-N-Herstellung oder 5 mit Sauerstoff zur Zr-O-Herstellung. In den Schichtübergängen wird mit einem Stickstoffsauerstoffgasgemisch gearbeitet. Der Prozess ist totaldruckgeregelt, d.h. dass Sauerstoffzugabe gleichzeitig Stickstoffrücknahme bedeutet. In der Realität bedeutet das, 10 bei Sauerstofflüssen bis etwa 1000 sccm immer noch Anteile von Stickstoffatmosphäre in der Prozesskammer sind. Im Beispiel wurde Stickstoff als abnehmender Reaktivgaszusatz eingesetzt. die Verwendung von ausschliesslich Sauerstoff führt ab einer gewissen Schichtdicke nachweisbar zur 15 unerwünschten monoklinen Phase bei ca. 350 sccm Sauerstoffzugabe.

#### Beispiel 2:

- In einer weiteren Prozessvariante sollen nun Schichten 20 hergestellt werden, bei denen pulvermetallurgisch hergestellte Legierungstargets (im Beispiel jeweils 2 Stück) mit einer Zusammensetzung von 85 at% Zr und 15 at% Yttrium (Y) als klassischem Stabilisator zur Synthese der Funktionsschicht benutzt werden (siehe auch Tabelle 2). Zur 25 Herstellung der Zwischen- oder Stützschicht wurden aber
  - Zuerst wurden wieder die Teilschritte (A) bis (D) ausgeführt wie sie in Beispiel 1 beschrieben sind.

weiterhin 2 elementare Zr-Targets benutzt:

Zu Vergleichszwecken sollte zunächst wieder eine Schicht ohne Stabilisator erstellt werden (Schritte El und Fl). Hierzu wurden die zwei Zr(85at%)/Y(15at%)-Targets wieder durch zwei elementare Zr-Targets ersetzt, d.h. es wurden 4 Zr-Targets betrieben, um die Zwischenschicht herzustellen.

Schritt (E2a)

5

Dies erfolgte mit folgenden Parametern:

Totaldruck (N2) geregelt 3.5 Pa

10 Funkenstrom 200 A je Target

Substrattemperatur ca. 500°C

Prozesszeit ca. 5 min

Schritt (F2a)

Dann wurde als Schicht eine reine Zr-O-Schicht (ohne Y) abgeschieden, für die also keine Zr-Y-Targets benutzt wurden, d.h. es wurden die 4 Zr-Targets weiterhin betrieben und es wurde wie im Beispiel 1 lediglich Sauerstoff mit einem Fluss von 350 sccm zugegeben, also mit folgenden

20 Prozessparametern gearbeitet:

Sauerstofffluss 350 sccm

Totaldruck (N2) geregelt 3.5 Pa

Funkenstrom je 200 A für die 4

elementaren Zr-Targets

25 Substratbias -40 V (bipolar)

Substrattemperatur ca. 500°C

Prozesszeit

40 min

Der Bruchquerschnitt der so erhaltenen Schicht (Probe 909) ist in den Abbildungen 7a und b dargestellt.

- Nun sollten in weiteren Versuchen Schichtsysteme mit Yttriumstabilisatoren erstellt werden. Für die weiters hergestellten Schichten (910 bis 912) wurden daher die Schritte (E1) und (F1) folgendermassen modifiziert: Schritt (E2b1)
- 10 Für diesen Schritt werden nur 2 Zr-Targets in der Beschichtungsanlage belassen und betrieben, um die Zwischenschicht herzustellen. Dies erfolgte mit folgenden Parametern:

Totaldruck (N2) geregelt 3.5 Pa

15 Funkenstrom 200 A je Target

Substrattemperatur ca. 500°C

Prozesszeit ca. 7 min

Schritt (E2b2)

20 In diesem Schritt wird der Übergang zum Zr-O-N hergestellt:

Totaldruck (N2) geregelt 3.5 Pa

Funkenstrom 200 A je Target

Substrattemperatur ca. 500°C

Prozesszeit ca. 3 min

Sauerstofframpe von 50 sccm auf Nominalfluss (200 sccm, 300 sccm oder 350 sccm je nach Probe, siehe Tabelle 2).

## 5 Schritt (E2b3)

Zuschalten der zwei Zr(85 at%)/Y(15 at%) Targets für 2 min mit einem Funkenstrom von 200 A. Daraufhin unverzügliches Abschalten der elementaren Zr -Targets

## 10 Schritt (F2)

25

Abschalten der zwei elementaren Zr-Targets und Durchführung der Beschichtung mit den beiden Zr(85at%)/Y(15at%) Targets für weitere 80 min und dem Nominalsauerstofffluss nach Tabelle 2.

15 Für die mit den Sauerstoffflüssen zwischen 200 sccm und 350 sccm hergestellten Schichten nach Tabelle 2, wurden die Schichtbruchquerschnitte wiederum im SEM analysiert. Die Abbildungen zeigen folgende Proben:

Abbildung 8a und b: Probe 911 (200 sccm 02)

Abbildung 9a und b: Probe 912 (300 sccm 02)

Abbildung 10a und b: Probe 910 (350 sccm 02)

In weiteren Experimenten, die als Beispiel 3 bezeichnet werden sollen, wurde untersucht, wie sich eine gut haftende Zwischenschicht zu Schichtsystemen herstellen lässt, die bereits vor der Beschichtung auf das Substrat mit kubischen

20

oder tetragonalen ZrO2-Schichten abgeschieden wurden. Dabei können diese Schichtsysteme sowohl ausserhalb des Beschichtungssystemes hergestellt worden sein, beispielesweise in einem anderen Beschichtungsprozess, oder auch vorgängig im gleichen Beschichtungssystem.

Es wurden in diesem Zusammenhang eine Vielzahl Schichten untersucht, die typisch sind für Anwendungen als Metallelektroden, als Thermoschutzschichten, als Verschleissschutzschichten und für Sensoranwendungen.

Beispielhaft sollen hier nur einige genannt werden: Al, Cr, Ti, Ta, Zr, TiN, ZrN, TiCN, TiAlN, die Oxide von Al, Cr, Ti, Ta, Zr, ternäre und quarternäre Oxide.

In diesem Beispiel 3 soll näher aber ohne Einschränkung auf die Zwischenschichtformierung auf einer TiCN-Schicht

15 eingegangen werden mit anschliessender Zr-O-Funktionsschichtabscheidung.

In den Versuchen wurden dieses Mal für die Zr-O-Funktionsschicht zwei Legierungstargets mit der Zusammensetzung von Zr(92at%)/Y(8at%) benutzt. Die TiCN-Schicht ist eine dem Fachmann bekannte Schicht auf dem Gebiet der Werkzeug- und Komponentenbeschichtung und es kann deren Herstellung als dem Fachmann bekannt vorausgesetzt werden.

Die Ankopplung an die Zr-Y-O-Schicht erfolgt so, dass kurz vor Schluss der TiCN-Schicht, also in der Phase der Ti-Funkenverdampfung in dem Reaktivgasgemisch aus Stickstoff und Kohlenwasserstoff (beispielsweise C2H2) die totaldruckgeregelt verläuft, die beiden Zr(92at%)/Y(8at%)-Targets zugeschaltet werden. Nach wenigen Minuten wird dann

das Kohlenwasserstoffgas heruntergerampt und anschliessend die Ti-Targets zur TiCN-Beschichtung abgeschaltet.

Schliesslich wird, wieder nach einigen Minuten, Sauerstoff zugegeben und auf den notwendigen Sauerstofffluss gerampt.

Die auf diese Weise hergestellten Schichten sind in Tabelle 4 beschrieben. Es wurde Schichten hergestellt mit Sauerstoffflüssen zwischen 200 sccm und 400 sccm. Auch von diesen Proben wurden wieder Bruchquerschnitte hergestellt und im SEM untersucht.

10

20

25

Die Abbildungen zeigen folgende Proben:

Abbildung 11a und b: Probe 916 (200 sccm 02)

Abbildung 12a und b: Probe 913 (250 sccm 02)

Abbildung 13a und b: Probe 914 (350 sccm 02)

Abbildung 14a und b: Probe 915 (400 sccm 02)

Es sollen nun noch einige weitere Beispiele von Schichten angeführt werden, die auf der Basis der oben erläuterten Beispiele hergestellt wurden, ohne dass allerdings bei jeder Schicht auf die detaillierten Prozessparameter eingegangen wird. Die Schichtbeispiele sollen lediglich dokumentieren, dass mit dem Herstellverfahren die Zr-O-Schichten problemlos an andere Schichtmaterialien angekoppelt werden können und die zusätzlich belegen, dass sich die Morphologie und Schichtstruktur bzw. deren Phasenzusammensetzung leicht mit dem angegebene Herstellverfahren beeinflussen lässt.

Folgende Abbildungen zeigen von diesen Schichten die Bruchquerschnitte, die im SEM analysiert wurden:

Abbildung 15a und 15b zeigen eine dicke Zr-O-Schicht (Probe 493), die auf einer Chrom-Chromoxid-Zwischenschicht

5 aufgebracht wurde.

Abbildung 16a und 16b zeigen die Mikrostruktur einer Zr-O-Schicht hergestellt mit elementaren Zr-Targets und mit einem hohen Sauerstofffluss von 600 sccm. Als Interface wurde ein dünnes TiCN von ca 500 nm gewählt.

- Abbildung 17a und b zeigen den Vergleich von Zr-O-Schichten abgeschieden auf einer dickeren TiCN-Schicht von ca. 3.5 µm, wobei 17a (Probe 767) nach US\_20080020138\_A1 betrieben wurde, 17b (Probe 769) jedoch gepulst wie es in US 20070000772\_A1 beschrieben ist.
- Abbildung 18a und b (Probe 995) zeigen eine weitere SEM-Analyse eines Bruches an einer Probe, bei der auf einer dicken CrN-Schicht eine Zr-Y-O-Funktionsschicht mittels Zr(92at%)/Y(8at%)-Targets abgeschieden wurde.
- Die mit den oben beschriebenen beispielhaften Verfahren 20 hergestellten Schichten wurden analysiert und sollen nun näher beschrieben werden.

Zuerst werden die Schichten aus Beispiel 1 diskutiert, die in Tabelle 1 beschrieben werden. Zum einen beruht die Auswertung auf XRD-Messungen unter streifendem

25 Strahleinfall von 1, was bei einer Gesamtschichtdicke der untersuchten Schichten von ca. 5 µm den Einfluss des substratnahen Schichtbereiches und damit des SL nahezu ausschliesst oder stark unterdrückt.

Um die Zusammensetzung der Schicht zu ermitteln wurden andererseits zusätzlich RBS und ERDA (Elastic Recoil Detection Analysis) Analysen durchgeführt. Auch diese Ergebnisse wurden in Tabelle 1 eingetragen.

Für die Probe 799 wurde in Abbildung 26a beispielhaft ein RBS-Spektrum dargestellt, das nach der Analyse auf eine Schichtzusammensetzung von  ${\rm Zr_1O_1N_0._6}$  hindeutet. Das Verhältnis von Stickstoff und Sauerstoff für diese Probe wurde genauer mittels ERDA ermittelt. Die entsprechende 10 Messung ist in Abbildung 26b dargestellt.

Für die Probe 777 (Abbildung 2) wurden die 4 Zr-Targets in reinem Stickstoff betrieben. Das XRD-Spektrum (Abb. 20) zeigt die Bragg Peaks von ZrN mit kubischer Struktur (a=4.575 Å). Die Analyse der Schicht mittels RBS ergab eine Zusammensetzung, die durch ZrlN1.1 beschrieben werden kann 15 und die auf keine anderen Schichtbestandteile hinweist. Die 10% "Überstöchiometrie" des Stickstoffs liegen im Fehlerbereich für die leichten Elemente der RBS-Methode. Dieser Fehlerbereich war auch der Grund, dass für eine genauere Bestimmung des Sauerstoff-Stickstoff-Verhältnisses 20 (O/N) bzw. (N/O) (Ergebnisse ebenfalls in Tabelle 1) eine ERDA Analyse für O und N an den Proben durchgeführt wurde. Mit der Zugabe von Sauerstoff von 50 sccm (Probe 778) und 200 sccm (Probe 779) bleibt im Wesentlichen die kubische Struktur nach dem XRD erhalten. Für die 25 Schichtzusammensetzung erhält man ein O/Zr Verhältnis von 0.12 bei 50 sccm (Probe 778), das auf 0.74 bei 200 sccm (Probe 779) steigt, d.h. in beiden Fällen wird Sauerstoff in die Schicht eingebaut zusätzlich zum Stickstoff. Trotz

Beibehaltung der kubischen Struktur kommt es aber für beide Proben zu einer Verbreiterung der Bragg Peaks, die ein Hinweis ist auf die Bildung von kubischem ZrO (a=4.62) oder Zr(O,N) oder ZrO2-x oder von Gemischen aus diesen Phasen.

5 Bei 200 sccm gibt es Peaks, die auf kleine Anteile orthorombischer Phase des ZrO2 neben der Existenz der kubischen Phase des ZrO Monoxids hinweisen.

Ab 250 sccm (Probe 799) kommt es zu einer Formierung der kubischen bzw. tetragonalen Phase, wohl zu einem

Phasengemisch, was die (111) und (200) Peaks verdeutlichen, vergrössert dargestellt im XRD-Spektrum in Abb. 21. Diese beiden Phasen lassen sich bei kleineren Kristallitgrössen kaum auf der Basis des XRD-Spektrums trennen.

Bei 300 sccm erhöht sich die Kristallinität dieser Phase bzw. dieses Phasengemisches, das dann aber bei 400 sccm deutlich in die monokline Phase umschlägt mit Anteilen von kubischen bzw. tetragonalen Phasen. Mit der Erhöhung des Sauerstoffflusses einher geht die Erhöhung des O/Zr Verhältnisses bzw. die Erniedrigung des N/Zr Verhältnisses 20 (Tabelle 1).

Als ein Ergebnis dieser Messungen kann man zusammenfassend sagen, dass mit dem oben beschriebenen Beschichtungsprozess der reaktiven Funkenverdampfung unter Benutzung von elementaren Zr-Targets ein Übergang vom kubischen ZrN zum Gemisch von kubischem ZrN/kubischen ZrO (Monoxid) und schliesslich zur kubischen bzw. tetragonalen Phase oder des Phasengemisches des kubischen ZrO2 realisiert werden kann, d.h. dass der Stickstoff oder das kubische ZrN als eine Art

25

neuer "Stabilisatoren" wirken, um die kubische bzw. tetragonale Phase des ZrO2 zu erzielen.

Besonders vorteilhaft ist der Sachverhalt, dass man den gesamten Übergang allein durch die Änderung des Sauerstoffgasflusses bei gleichzeitiger Regelung auf den Totaldruck erreichen kann, also ein sehr einfacher Prozess entwickelt wurde, um ohne die bisher in der Literatur bekannten Stabilisatoren kubisches bzw. tetragonales ZrO2 herstellen zu können.

10

15

20

25

5

Als weiteres Ergebnis kann Folgendes festgehalten werden: Einmal kann man durch das periodische Einlassen geringer Sauerstoffflüsse ein Multilagensystem von ZrN/Zr(O,N) aufbauen (analog Probe 777/779), das vollständig kubische Phase aufweist, also immer zwischen kubischen ZrN und kubischen Zr(O,N) wechselt.

Andererseits kann man diese Multilagensysteme auch in dem Bereich des Sauerstofflusses synthetisieren, wo sich gerade der Übergang zwischen Stickstoffstabilisierung und der Bildung der monoklinen Phase befindet und so eine Multilagenstruktur zwischen kubischer bzw. tetragonaler Phase des ZrO2 (mit Anteilen von kubischen Zr(O,N)) mit und ohne Stickstoffanteil aufbauen. Bedingung dafür ist allerdings, dass diejenigen Schichten ohne Stickstoff so dünn gehalten werden, dass noch kein Umklappen in die monokline Phase erfolgt. Abbildung 6a (Probe 780) zeigt, obwohl die gesamte Schicht mit einem Sauerstofffluss von 400 sccm hergestellt wurde, einen Morphologiewechsel nach etwa 1.7 µm der FL von einer dichten in eine

Säulenstruktur. Dieser Wechsel geht einher mit der Phasenänderung der kubischen bzw. tetragonalen Struktur zur monoklinen Struktur. D.h. also, dass man über längere Zeit kubisches bzw. tetragonales Schichtwachstum erzielen kann, ohne Stickstoff in die Schicht einzubauen (Tabelle 1, Probe 780). Oder mit anderen Worten gesagt: die N-Stabilisierung führt dazu, dass die Schicht eine zeitlang noch durch die unterliegende Schicht mit Stickstoffgehalt stabilisiert wird, ohne selbst Stickstoff aufzuweisen.

- 10 Und noch ein weiterer Aspekt dieses Prozessansatz kann für die Anwendung bedeutungsvoll sein: Die Möglichkeit über eine ZrN-Schicht die Zr-O-Schichten an das darunterliegende Substrat oder Schichtsystem gradientenhaft gut anzuschliessen, weil damit eine gute Haftung zu
- 15 metallischen Substraten oder Schichten erreicht werden und ein Schichtwachstum basierend auf nur einem Materialsystem realisiert werden kann.
- Die Abbildungen der Bruchquerschnitte von den SEM
  Untersuchungen demonstrieren dies. Beispielsweise zeigen
  20 1b, 4b und 6b den innigen Verbund der ca. 500 nm dicken
  ZrN-Zwischenschicht (SL) zu der Funktionsschicht (FL),
  während 18b auf eine deutlich schlechtere Haftung hinweist,
  da die Rampe in den hohen Sauerstoffgehalt des ZrO2 nur
  sehr kurz gehalten wurde.
- Die Analyse an den Schichten aus dem Beispiel 1 zeigt noch ein erstaunliches Ergebnis: Die Schichtmorphologie ändert sich mit dem Sauerstofffluss. Während das ZrN (Abb. 2) sehr kompakt ist, wird die Schicht anfangs mit Sauerstoffzugabe sehr feinkörnig oder amorph (Abb. 3 und 4). Das weitere

Erhöhen des Sauerstoffflusses führt zunehmend zu ausgeprägteren vertikalen Strukturen im Schichtwachstum (Abb. 5 und 1), das schliesslich in Säulenstruktur übergeht (Abb. 6). Diese Resultate erlauben beispielsweise

Anwendungen, in denen man beispielsweise die härtere kubische Phase mit einer weicheren monoklinen Phase (analog Abb. 6) des ZrO2 bedeckt, um beispielsweise tribologische Systeme wie Einlaufvorgänge bei Turbinenschaufeln oder bei anderen Komponenten im Bereich der Verbrennungsmotoren mit dem Ziel der Reduzierung des Gegenkörperverschleisses zu optimieren.

Andererseits wäre es oft auch wünschenswert, dass die Schichtmorphologie geändert werden kann, ohne dass sich dabei die Phasen ändern. Voraussetzung dafür ist es, dass stabile Phasen erzeugt werden, die nicht oder wenigstens in grossen Bereichen unabhängig vom Sauerstofffluss sind.

15

20

25

Das war eine Motivation für die weiteren Prozessentwicklungen, die nach Beispiel 2 durchgeführt wurden und deren Ergebnisse in Tabelle 2 zusammengefasst sind. Bei der Probe 909 wurde noch einmal mit 4 elementaren Zr-Targets gearbeitet und auf einer Zwischenschicht von wieder ca. 500 nm ZrN eine Zr-O-N-Schicht mit einem Sauerstofffluss von 350 sccm abgeschieden. Das XRD-Spektrum dieser Schicht in Abb. 22 zeigt deutlich die Bragg Peaks der monoklinen Phase des ZrO2. Das ist in Übereinstimmung mit den Ergebnissen der Schichten, die nach dem Beispiel 1 hergestellt wurden und bei denen zwischen einem Sauerstofffluss von 300 sccm und 400 sccm das "Umklappen" der kubischen bzw. tetragonalen Phase in die monokline

Phase erfolgte. Die Schicht zeigte trotz des
Stickstoffhintergrunddrucks (Totaldruckregeleung) keinen
Stickstoffanteil in der Schicht nach ERDA, d.h. der NGehalt ist kleiner 1 at%. Auch das ist etwa konsistent mit
den Proben aus Beispiel 1, bei denen bei 400 sccm kein N
mehr in der Schicht gefunden wurde. Die Morphologie der
Schicht (Abb. 7) ist ebenfalls vergleichbar mit der der
Probe 780, zumindest im oberflächennahen Bereich, und zeigt
Säulenstruktur.

- Die weiteren Schichten in Tabelle 2 wurden nun so hergestellt, dass die Zwischenschicht von 2 reinen Zr-Targets synthetisiert wurden, während für die Funktionsschicht (FL) 2 Zr(85 at%)/Y(15at%)-Targets benutzt wurden. Der Sauerstofffluss wurde nun variiert mit dem Ziel, die Schichtmorphologie zu verändern.
  - Für Probe 911 (200 sccm) sieht man in Abb. 8 eine relativ kompakte Schichtmorphologie. Bei weiterer Erhöhung des Sauerstoffflusses zeigen die Schichten immer deutlicheres Säulenwachstum (Proben 912 und 910 in Abbildungen 9 und 10). Die XRD-Spektren der Proben, bei denen die FL mit den Zr/Y-Targets hergestellt wurden, sind in Abb. 23 abgebildet.

Für alle Schichten, unabhängig vom Sauerstofffluss, sieht man die Bragg Peaks der kubischen Struktur des ZrO2. Wenige Bragg Peaks mit geringer Intensität stammen vermutlich von der ZrN Zwischenschicht (kubische und hexagonale Phase). Eine detalliertere Analyse der Peaks, die von der kubischen Phase bei  $2\Theta \approx 30^\circ$  und bei  $2\Theta \approx 50^\circ$  stammen, ist in Tabelle 3 angefügt. Daraus liest man ab, dass es mit steigendem

Sauerstofffluss zu einer höheren Kristallinität (grössere Kriatallite) kommt, da die FWHM kleiner wird (FWHM - Full Width at Half Maximum). Da man in den Spektren auch nirgends die Andeutung eines Peaks bei 20 ≈ 43° erkennen 5 kann und das typisch wäre für die tetragonale Phase des ZrO2 und welches man bei dieser erhöhten Kristallinität sehen müsste, kann man schliessen, dass im Wesentlichen bei all diesen Proben nur kubische Phasen des ZrO2 vorliegen und keine tetragonalen. Es sei hier auch erwähnt, dass aufgrund des klassischen Stabilisators auch bei wesentlich höheren Sauerstoffflüssen (z. B bei 1500 sccm Sauerstofffluss) die kubische Phase erhalten bleibt und nicht in die monokline Phase umschlägt.

Damit ergeben sich folgende wichtige Resultate aus den Untersuchungen. Das Einbringen eines klassischen 15 Stabilisators wie er aus den Sinter- und anderen Verfahren her bekannt ist, in das Target, das zur Funkenverdampfung benutzt wird, führt zur Stabilisierung der tetragonalen und kubischen Phase des ZrO2. Benutzt man Y als Stabilisator, wird diese kubische Phase bei Y-Targetbestandteilen von 20 mehr als 8 at% deutlich sichtbar im XRD erreicht. Unterhalb dieser Konzentration findet man in der Schicht ein Phasengemisch aus kubischer und tetragonaler Phase (siehe die Untersuchungen weiter unten). Die kubische Phase ändert sich nicht mit einer Erhöhung des Sauerstoffflusses, wie 25 das für die Proben nach Beispiel 1 der Fall war. In den Schichten wird, im Gegensatz zu den Schichten nach Beispiel 1, schon bei 200 sccm Sauerstofffluss kein Stickstoff mehr eingebaut, obwohl auf den Totaldruck von 3.5 Pa geregelt wurde. Unter diesen Bedingungen muss man beispielsweise für 30

einen Sauerstofffluss von 300 sccm einen Stickstofffluss von etwa 800 sccm annehmen, um den Totaldruck von 3.5 Pa zu erreichen, d.h. man hat wesentlich mehr Stickstoff in der Anlage, baut diesen aber nicht in das ZrO2 ein.

- In Beispiel 3 wurden nun Zr-Y-O-(N) Schichten hergestellt, die in Tabelle 4 beschrieben sind. Für diese Beispiele wurde eine "materialfremde" Schicht, nämlich TiCN als Zwischenschicht (SL) gewählt. Der Übergang in die Zr-Y-O-N-Schicht wurde wieder über die Totaldruckregelung gefahren.
- 10 Es wurden aber dieses Mal Zr(92at%)-Y(8at%)-Targets benutzt.
  - Die Ergebnisse der XRD-Messungen sind in Abb. 24 dargestellt. Alle Schichten weisen auf eine dominante tetragonale Phase hin, da die Bragg Peaks bei  $2\Theta = 43^{\circ}$  und das Splitting des Peaks bei etwa  $2\Theta = 60^{\circ}$  sichtbar sind, das bei der rein kubischen Phase nicht auftritt. Anteile der kubischen Phase in diesen Schichten können allerdings nicht ausgeschlossen werden. In Tabelle 5 sind die FWHM der Bragg Peaks bei  $2\Theta = 30^{\circ}$  und bei  $2\Theta = 50^{\circ}$  für die
- verschiedenen Sauerstoffflüsse angegeben. Auch für diese Untersuchungen beobachtet man also eine erhöhte Kristallinität mit steigendem Sauerstofffluss. Auch mit nur 8at% Y in den Targets wurde die Schicht so stabilisiert, dass selbst bei höheren Sauerstoffflüssen keine monokline
- 25 Phase erzeugt wurde, sondern die tetragonale Phase (mit eventuellen kubischen Anteilen) stabil blieb.

Für die Probe 917, deren XRD Spektrum in Abbildung 25 gezeigt ist, und deren Prozessparameter und Analyse teilweise in Tabelle 4 aufgeführt sind wurde eine

ausgeprägte, d.h. dickere kubische Zirkonnitridschicht gefahren. Dies führte zur vorwiegend kubischen Phase von ZrO<sub>2</sub> wie die ausgeprägten Peaks im XRD-Spektrum der Abbildung 25 zeigen. Man beachte, dass das für die tetragonale Phase typische Splitting des Peaks bei 60° nicht vorhanden ist.

Abschliessend sollen noch andere Schichtbeispiele diskutiert werden, die nach den obigen Verfahren hergestellt wurden.

- Abbildung 15 zeigt den SEM Bruchquerschnitt einer dicken Zr(Y8at%)O2-Schicht (Probe 493) mit tetragonaler Struktur, aufgebracht auf einer Chrom-Chromoxid-Zwischenschicht. Zur Beschichtung wurden Zr(92at%)/Y(8at%)-Targets benutzt und es wurde mit einem sehr hohen Sauerstofffluss von 1500 sccm beschichtet. In diesem Prozess wurde keine Totaldruckregelung benutzt, sondern bei der Verdampfung von den Zr(92at%)/Y(8at%)-Targets mit konstantem Sauerstofffluss gearbeitet.
- Dies illustriert, dass als Zwischenschicht auch ein Oxid benutzt werden kann, hier das Chromoxid, um "verwandte" Materialien aneinander zu binden. Das kann sinnvoll sein, wo beispielsweise die thermischen Ausdehnungskoeffizienten aneinander angepasst werden müssen, von denen sich viele bei den Oxiden ähnlich sind.

Man sieht aus der Abbildung, dass der hohe Sauerstofffluss die Säulenstruktur in eine noch weniger dichte Morphologie überführt mit hoher Porosität und entsprechend grosser Oberfläche. Eine solche Oberfläche eignet sich besonders

gut für Anwendungen im Sensorbereich, da sie sowohl zur schnelleren Diffusion der zu detektierenden Spezies beiträgt und auch die Empfindlichkeit erhöht. Das XRD Spektrum (nicht abgebildet) zeigt die Bragg peaks der tetragonalen Struktur mit Anteilen der kubischen Phase, und zeigt, dass auch ohne die Totaldruckregelung im Stickstoff die tetragonale bzw. kubische Phase hergestellt werden kann.

Abbildung 16 zeigt die Mikrostruktur einer ZrO2-Schicht

10 hergestellt von elementaren Zr-Targets und mit einem
ebenfalls hohen Sauerstofffluss von 600 sccm. Als interface
wurde ein dünnes TiCN von ca 500 nm gewählt. Wieder wurde
lediglich auf den Sauerstofffluss geregelt und nicht auf
den Totaldruck mit Stickstoffhintergrunddruck. Die Schicht

15 weist die monkline Phase auf. Obwohl sie nicht die
bevorzugte tetragonale oder kubische Struktur hat, eignet
sie sich zum Schutz von Substraten vor allem in Verbindung
als Einlaufschicht bei höheren Temperaturen, um den
Gegenkörper nicht zu verschleissen.

20

5

Abbildung 17a und b zeigen den Vergleich von ZrO2-Schichten abgeschieden auf einer dickeren TiCN-Schicht von ca. 3.5 µm, wobei 17a (Probe 767) nach US 20080020138 Al betrieben wurde, 17b (Probe 769) jedoch gepulst wie es in US 20070000772 Al beschrieben ist. Es wurden elementare Zr-Targets verwendet. Die Mikrostruktur der Schichten zeigt einen deutlichen Unterschied. Es gibt stärker kristallines Wachstum bei 17b. Für beide Schichten weisen die XRD-Spektren (nicht gezeigt) auf die monokline Phase hin.

Abbildung 18a und b (Probe 995) zeigen eine weitere SEMAnalyse eines Bruches an einer Probe, bei der auf einer
dicken CrN-Schicht eine Zr-Y-O-Funktionsschicht mittels
Zr(92at%)/Y(8at%)-Targets abgeschieden wurde. Wieder wurde
ein Cr-N-Zr-Y-Übergang gewählt und dann bei der
Stickstofftotaldruckregelung auf 3.5 Pa, 600 sccm
Sauerstoff dazugegeben. Die Morphologie der Schicht ist
sehr porös und weist deshalb viel Schichtoberfläche auf.
Die tetragonale Phase dominiert im XRD Spektrum, wobei
kubische Anteile nicht ausgeschlossen werden können.

Das erfindungsgemässe Verfahren unterscheidet sich besonders deutlich von anderen Methoden der Herstellung von ZrO2 (kubisch und/oder tetragonal) durch das einfache Ausgangsmaterial und durch die Möglichkeit, über dieses

Ausgangsmaterial, die Schichteigenschaften, vor allem die Phasenzusammensetzung der Schicht zu beeinflussen bzw. gezielt herzustellen.

20

Augenscheinlich ist der Unterschied zum Sinterprozess, bei dem die Materialien in Pulverform vorliegen und unter hohe Temperaturen zusammengefügt werden. Die hohen Temperaturen sind notwendig, um das im Sinterprozess gewünschte Material herzustellen und hängen sehr stark von den Zusätzen an Fremdmaterialien, beispielsweise der Stabilisatorenmaterialien und deren Konzentration ab.

25 Einige Materialien können nicht oder nur in kleinen Mengen hergestellt werden, da sehr hohe Sintertemperaturen notwendig sind. Das schränkt sowohl die Materialvielfalt ein und es begrenzt auch die Wirtschaftlichkeit.

Deutlich ist auch der Unterschied des erfindungsgemässen Verfahrens gegenüber der Elektronenstrahlverdampfung, die sowohl mit den Änderungen in der Zusammensetzung der Schmelze bzw. dem zu sublimierenden oxidhaltigen Material im Tiegel konfrontiert ist, wie auch mit der aufwendigen Regelung des Reaktivgases Sauerstoff.

Ähnlich verhält es sich beim Sputterverfahren, das zwar weniger problematisch als die Elektronenstrahlverdampfung ist, was die Verdampfung von Legierungen betrifft, aber eine komplizierte Regelung des Reaktivgases Sauerstoff 10 erfordert, um eine Targetvergiftung zu vermeiden. Verfahren, die Funkenverdampfung mit Sputtern kombinieren und elementare Targets benutzen, lösen dieses Problem ebenfalls unbefriedigend. Sie können nicht im reinen Sauertoffreaktivgas betrieben werden, da dann einerseits 15 das Sputtertarget als auch andererseits das Funkentarget vergiftet und die Anode der Funkenentladung sich mit einer Oxidschicht bedeckt und die Entladung unterbricht. Zwar wird diese Problematik in der Publikation nicht angesprochen, aber es geht aus der Prozessführung hervor, 20 dass man nicht in reiner Sauerstoffatmosphäre arbeitet, sondern nur Sauerstoff dem Argonarbeitsgas zusetzt.

Erfindungsgemäss werden, im Unterschied zu dem in der Literatur beschriebenen kombinierten Verfahren,

25 Mischtargets für die Herstellung der Zr-Y-O2-Schichten benutzt. Diese Targets können in bekannter Technologie, beispielsweise pulvermetallurgisch im HIP Verfahren, hergestellt werden. Mit diesem Verfahren ist es möglich, Materialien sehr unterschiedlicher Schmelzpunkte

miteinander zu verdichten, ohne dass es ein Verschmelzen wie beim Sintern braucht. Die Materialien liegen nach dem Verfahren noch als getrennte Materialien im Target vor.

Ein Vorteil des erfindungsgemässen Verfahrens gemäss einer ausführungsform ist es, dass diese getrennt vorliegenden Materialien während des Betriebs im Sauerstoff- bzw. im Stickstoff-Sauerstoffgemisch unter der Wirkung des auf dem Target sich bewegenden Funkens miteinander legieren. Da die Temperaturen im Funkenfusspunkt einige 1000°C hoch sein

10 können, lassen sich somit sowohl hochschmelzende

Materialien wie Zr mit verschiedenen Konzentrationen von

Stabilisatoren, beispielsweise mit Y zwischen lat% und

25at% auf der Targetoberfläche unmittelbar vor dem Übergang
in die Dampfphase einschmelzen.

Diesen Prozess im Argongas durchzuführen würde zu einer Vielzahl von Spritzern führen. Im Sauerstoff oder Stickstoff-Sauerstoffgemisch als Reaktivgas kann man aber diese vom Schmelzpunkt her unterschiedlichen Materialien gut miteinander verbinden. Der Legierungsvorgang an der Targetoberfläche verschafft eine grosse Freiheit in der Wahl des Ausgangsmaterials für die Targetherstellung, da Pulver mit mittleren Korngrössen zwischen 1 μm oder kleiner und 100 μm und grösser verwendet werden können. Mithin ergibt sich eine Variante der erfindungsgemässen Verfahren darin, dass kein Arbeitsgas, wie Argon, eingesetzt wird.

Das Pulsen der Funkenquellen nach US 20070000772 Albeschleunigt diesen Legierungsvorgang oder
Konditionierungsvorgang an der Targetoberfläche. Die
Korngrössen des Targets finden sich nicht in der

abgeschiedenen Schicht wieder, da es erst zur Konditionierung auf der Targetoberfläche kommt und dann erst die Verdampfung stattfindet.

Wie oben diskutiert, lässt sich die Kristallitgrösse über solche einfach zugängliche Prozessparameter wie Sauerstofffluss, Substrattemperatur und durch die Wahl von Zwischenschichten steuern.

Die für das erfindungsgemässe Verfahren zu verwendenden Targets kann man auch durch Plasmaspritzen herstellen,

10 indem man metallorganische Gase als Precursor zur Abscheidung der metallischen Schichtkomponenten auf einer Targetunterlage benutzt. Vorteil dieses Target-Herstellungsverfahrens ist es, dass man über die Konzentration der Precursor nur jeweils eine Legierung

15 abgeschieden wird. Nachteilig dabei ist die höhere Porosität der plasmagespritzten Targets gegenüber denen im HIP Verfahren hergestellten, die aber prinzipiell im erfindungsgemässen Verfahren unter reiner

Zusammenfassen kann man sagen, dass im Gegensatz zum bisherigen Stand der Technologie, legierte Funkentargets unübertroffene Reproduzierbarkeit im Ausgangsmaterial liefern und die Kombination des Betriebs der Targets unter Sauerstoffatmosphäre unter der Randbedingung von quasi

25 freier Wählbarkeit des Stickstoff-SauerstoffReaktivgasgemisches sowohl die Anpassung der
Schichtmorphologie erlaubt als auch die Vorgabe der
Schichtphasen.

Sauerstoffatmosphäre beherrscht wird.

Im Folgenden sollen nochmals die wichtigsten Vorteile der vorliegenden Erfindung aufgelistet werden, geordnet nach Verfahren und Schichten

#### 5 Verfahren

10

Das Verfahren der reaktiven Funkenverdampfung von elementaren Zr oder/und Mischtargets aus Zr gegebenenfalls unter Zugabe von anderen Materialien wie beispielsweise Stabilisatoren St, beispielsweise Y, eignet sich für eine einfache und kostengünstige Synthese von kubischen bzw. tetragonalen ZrO2 bzw. Zr-St-Oxid.

Das Verfahren erlaubt die Verwendung von Targets mit einem Konzentrationsverhältnis entsprechend der gewünschten Schichtzusammensetzung. Solche Targets können

beispielsweise durch heiss-isostatisches Pressen (HIP) oder Plasmaspritzen kostengünstig hergestellt werden. Beim Plasmaspritzen kann bereits die gewünschte metallische Legierung zum Target abgeschieden werden, also beispielsweise im Verhältnis Zr96/Y4 Zr92/Y8, Zr90/Y10, 20 Zr85/Y15.

Das Verfahren erlaubt die Kombination mit der Synthese unterschiedlicher Schichtmaterialien im gleichen Beschichtungssystem und im gleichen Prozessschritt.

Das Verfahren erlaubt gradierte Übergänge zwischen

verschiedenen Materialien zum Zwecke der verbesserten

Haftung untereinander, der Anpassung der

Schichteigenschften und der gezielten Anpassung der

Schichteigenschaften wie Morphologie, Kristallitgrösse, Kristallstruktur oder Phasenzusammensetzung.

Die Benutzung einer Funkenanode, die durch
Temperaturwechselzyklen (Ein- und Ausschalten) in

5 Verbindung mit den dadurch hervorgerufenen mechanischen
Verformungen, die zum Abplatzen der oxidischen Schichten
führen, leitend gehalten wird, trägt mit Vorteil zur
Stabilisierung der Funkenverdampfung in
Sauerstoffatmosphäre bei.

- 10 Bei Totaldruckregelung auf den Stickstoff können durch die Einstellung der Sauerstoffflüsse die verschiedenen Phasen des ZrO2 synthetisiert werden. Der Stickstoff scheint in gewissem Sinne eine Stabilisierung der tetragonalen oder kubischen Phase zu ermöglichen.
- Die Zugabe von Stabilisatoren in das Target in einer bestimmten Konzentration, führt im Wesentlichen zu einer synthetisierten Schicht mit gleicher Konzentration, d.h. es ist kein Regelaufwand notwendig wie es bei dem Verdampfen der Materialien von getrennten elementaren Targets der Fall ist. Die Konzentration der Stabilisatoren determiniert im Wesentlichen die Phasen der synthetisierten Schicht bzw. deren Phasenzusammensetzung.

Falls klassische Stabilisatoren verwendet werden, lassen sich unter Beibehaltung der Phase bzw. des Phasengemisches die Kristallitgrösse und Morphologie der Schicht über den Sauerstofffluss und die Substrattemperatur steuern, d.h. dass die Phasen über einen weiten Bereich unabhängig vom Sauerstofffluss sind.

10

15

20

25

Die Kombination in der Verwendung von elementaren Zr-Targets und Legierungstargets, die zusätzlich zum Zr feste Stabilisatoren enthalten, ermöglicht auch gradierte Übergänge zwischen Zr-O-Schichten und Zr-Y-O-Schichten, bei denen der Y-Gehalt der Schicht zwischen 0 und dem Y-Gehalt des Legierungstargets variiert werden kann bzw. natürlich auch in umgekehrter Richtung. Beispiel ist die Synthese einer kubischen ZrO2-Schicht, die Stabilisatoren enthält, und bei der dann ein gradierter Übergang zum Zirkonoxid ohne Stabilisatoren stattfindet, d.h. ab einer gewissen Dicke ohne Stabilisatoren wird die harte kubische Struktur mit der aus der weichen monoklinen Struktur verbunden, die dann beispielsweise als Einlaufschicht dienen kann.

Das Verfahren erlaubt den Einbau von stabilisierenden Materialien über die Gasphase, beispielsweise das ausführlich diskutierte Beispiel des Stickstoffs. Der Einbau von diesen Materialien lässt sich aber auch erweitern, indem zusätzliche Reaktivgase (zu Stickstoff und/oder Sauerstoff) eingelassen werden, die sich dann gleichermassen in die Schicht einbauen. Beispiele dafür sind: Kohlenwasserstoffe, Silane, Wasserstoff, Borane, Cyanoverbindungen. Die Zugabe von solchen weiteren Gasen kann auch zu reinem Sauerstoffreaktivgas erfolgen, falls keine Totaldruckregelung des Stickstoffhintergrunds erfolgt.

Die Möglichkeit, mit diesem Verfahren gradierte Übergänge zwischen verschiedenen Schichtmaterialien herzustellen, ist von besonderer Bedeutung bei der Anpassung der Schichtmaterialien bezüglich der thermischen

Ausdehnungskoeffizienten (gradierte Übergänge zwischen Metallen, Metallnitriden, Metallcarbonitride, Metalloxide). Diese Gradierungsmöglichkeit erlaubt es, das bisher ungelöste Problem der guten Schichthaftung auf metallischen Unterlagen zu lösen.

Die Möglichkeit der Gradierung erlaubt weiterhin auch noch das Anpassen der thermischen Leitfähigkeiten der Schichten. Messungen haben für eine kubisch stabilisierte Zr-Y-O-Schicht thermische Leitfähigkeiten von 1.8 bis 2.5 W/(mK)

10 (morphologieabhängig) ergeben. Diese thermische Leitfähigkeit ist kleiner als die von anderen Oxidschichten, beispielsweise vom Al-Cr-O (3.2...), die ebenfalls mit reaktiver Funkenverdampfung hergestellt wurden. Das erlaubt die Anpassung von Wärmeübergängen in Schichtsystemen.

Die erfindungsgemässen Einflussmöglichkeiten auf die Schichtmorphologie und die Phasenzusammensetzung erlaubt auch die Einstellung von mechanischen Eigenschaften wie Schichthärte und -zähigkeit.

Die Verwendung von Legierungstargets führt im Gegensatz zum Stand der Technik im Wesentlichen zu keiner Entmischung der Targetkomponenten in der Schicht, d.h. die Targetzusammensetzung findet sich im Wesentlichen auch in der Schicht wieder, und liefert Kristallitgrössen in der Schicht, die unabhängig von der Kristallitgrösse im Targetmaterial sind.

Das Verfahren reduziert beträchtlich das Spritzen des Targetmaterials wie es bei anderen Verfahren auftritt dadurch, dass es das Pulver im Ausgangsmaterial (Target)

15

20

weitgehend zu intermetallischen Verbindungen an der Targetoberfläche umwandelt.

Das Verfahren vereinfacht und ermöglicht die Einbringung praktisch aller Stabilisatoren und Dotierungen, die zu einer Erhöhung der Ionenleitfähigkeit beitragen, beispielsweise der Stabilisatoren die in US\_05709786 offenbart werden. Dies kann auf einfache Art und praktisch ohne Materialeinschränkung geschehen.

Die Kristallitgrösse der Schicht ist unabhängig von der verwendeten Korngrösse des im Target verwendeten Pulvers einstellbar.

Das Vakuumverfahren in Verbindung mit der Verwendung der aus reinen Pulvern hergestellten Targets reduzieren Verunreinigungen der Schicht durch andere Stoffe auf unter lat%.

Der Legierungsvorgang auf dem Target verläuft gewöhnlich rasch und beeinträchtig die Zwischenschichtqualität i.a. nicht. Er kann aber auch, falls notwendig, von der Schichtabscheidung auf den Substraten durch die Benutzung von Blenden vor dem Target getrennt werden.

Vorteile der erfindungsgemässen Zirkoniumoxidschichten (im folgenden Schichten genannt):

Die Schichten können kubische oder teragonale Phasen 25 aufweisen, obwohl sie keine Anteile an "klassischen Stabilisatoren", z.B. Y, in der Schicht haben.

Die kubische bzw. tetragonale Phase der Schicht kann auf einer kubischen Unterlagsschicht aufgewachsen werden. Von besonderem Vorteil ist das Wachstum auf Unterlagsschichten kubischer Phase welche im Wesentlichen Zr als metallischen Bestandteil enthalten, z.B. kubisches ZrN, kubisches ZrO oder kubisches bzw. tetragonales ZrO2.

5

Die Schichten verschiedener Phase oder Phasenzusammensetzung können einen gradierten Übergang zur Unterlagsschicht aufweisen, der sich in einem N-O-

10 Gradienten widerspiegelt und dessen Tiefenprofil innerhalb der Schicht beispielsweise mittels SIMS nachgewiesen werden kann.

Die Phase der Schicht oder deren Phasenzusammensetzung bleibt im Substrattemperaturbereich zwischen 200°C und 700°C im Wesentlichen erhalten. Es ändert sich lediglich die Kristallitgrösse, d.h. bei tiefer Temperatur wird die Schicht feinkristallin bzw. amorph und erhält grössere Kristallite bei höherer Substrattemperatur. Auf diese Art lassen sich Schichten sowohl mit Kristallgrössen im Nanometerbereich herstellen, aber auch Kristallitgrössen bis 100 nm und darüber.

Die synthetisierten ZrO2-Schichten sind unterstöchiometrisch bezüglich des Sauerstoffs, nachweisbar durch eine RBS-Analyse. Es sei hier angemerkt, dass bei dieser RBS-Analyse auch berücksichtigt wird, dass die Elemente Zr und Y im Spektrum ohne weiteres nicht trennbar sind, dass dies aber bei der Abschätzung berücksichtigt wurde, ebenso wie die unterschiedliche Wertigkeit von Zr (ZrO2) und Y(Y2O3) bei der Oxidbildung, so dass selbst bei

Bohrer einsetzbar.

25

Berücksichtigung dieser Effekte noch Unterstöchiometrie des Sauerstoffs bzgl. Zr vorliegt.

Die Schichten weisen die für das Funkenverdampfen typischen metallische Spritzer auf, die aus dem vorwiegend aus dem hochschmelzenden Zr bestehen und nicht durchoxidiert sind.

Mit den oben beschriebenen Eigenschaften eignen sich die mit dem erfindungsgemässen Verfahren hergestellten Schichten sehr gut für unterschiedlichste Anwendungen.

Gemäss vorliegender Erfindung werden solche mittels

10 Funkenverdampfen hergestellten Schichten vorzugsweise als
Festelektrolyten in Brennstoffzellen verwendet.

Aufgrund der guten ionenleitenden Eigenschaften sind die Schichten sehr gut in Sensoren einsetzbar.

Wie oben diskutiert bilden die erfindungsgemäss

15 hergestellten Schichten sehr gute Thermobarriereschichten und können so zum Schutz von Werkzeugen und Komponenten wie zum Beispiel Turbinenschaufeln und Turbolader eingesetzt werden. Ausserdem sind die erfindungsgemässen Zirkonoxidschichten mit Vorteil als Hochtemperatur
20 Versschweissschutzschicht für Werkzeuge und insbesondere für Schneidewerkzeuge wie z.B. Wendeschneidplatten und

Umfasst das Schichtsystem eine Zikonoxidschicht in monokliner Phase, so lässt es sich als reibungsmindernde Schicht in Hochtemperaturanwendungen einsetzen.

Im Rahmen der vorliegenden Anmeldung wurde ein Verfahren zur Herstellung von Zirkonoxidschichten vorgestellt mit dem, wenn die Zirkonoxidschichten als Festelektrolytschicht

20

25

eingesetzt werden, diese Festelektrolytschicht mit anderen Unterlagen und/oder Schichten mittels gradierte Übergänge problemlos verbunden werden können.

Mit dem vorgestellten Verfahren sind gezielte Änderungen der Schichtmorphologie ohne Phasenänderungen in einfacher Weise möglich.

Andererseits kann im Rahmen des erfindungsgemässen Verfahrens durch einfache Änderung des Sauerstoffflusses die Phase der Schicht, beispielsweise von kubisch zu monoklin geändert werden.

Es wurde gezeigt, dass im Rahmen des erfindungsgemässen Verfahrens zumindest teilweise, häufig sogar vollständig auf den Einsatz klassischer Stabilisatoren verzichtet werden kann, indem Stickstoff ins System eingebaut wird.

Insbesondere lässt sich beim Einsatz von Stickstoff die kubische  ${\rm ZrO_2}$  Phase ohne klassischen Stabilisator stabilisieren.

Es wurde gezeigt, dass mittels des erfindungsgemässen Verfahrens insbesondere wenn ein klassischer Stabilisator verwendet wird die Kristallitgrösse durch Änderung des Sauerstoffflusses und/oder der Substrattemperatur gezielt geändert werden kann.

Im Rahmen des vorgestellten erfinderischen Verfahrens ist es möglich klassische Stabilisatoren die selbst einen hohen Schmelzpunkt besitzen in die Schicht bei wesentlich geringeren Substrattemperaturen einzubauen.

Es wurde gezeigt, dass im Rahmen des erfinderischen Verfahrens Multilagenstrukturen mit Bilayern im

Nanometerbereich erzeugt werden können. Beispiele solcher Bilayer sind ZrN/ZrOx Übergänge, ZrO/ZrO2 Übergänge, ZrO2 $_{(\text{trigonal oder cubisch})}$ /ZrO2 $_{(\text{monoklin})}$  Übergänge.

Es wurde gezeigt, dass die für das Verfahren notwendigen

5 Ausgangsmaterialien einfach herzustellen und einfach in der
Handhabung sind.

Ausserdem wurde gezeigt, dass mit dem erfindungsgemässen Verfahren Schichten im Wesentlichen ohne unerwünschte Bestandteile realisiert werden können.

- 10 Es wurde ausserdem gezeigt, dass im Rahmen des erfindungsgemässen Verfahrens mit Sauerstoffpartialdrücken gearbeitet werden kann, die grösser als 0.1 Pa sind.
  - Abschliessend sei noch auf die Möglichkeit hingewiesen, mit Hilfe des Verfahrens nicht nur kubische
- 15 Zirkonoxidschichten, sondern auch solche Pulver herzustellen. Hierzu kann beispielsweise der Totaldruck in der Funkenverdampfungsanlage so hoch gewählt werden, dass aufgrund der stark reduzierten mittleren freien Weglänge ein Grossteil des Materials nicht auf einem zu
- 20 beschichtenden Substrat landet, sondern als Pulver in der Kammer bleibt.

Eine andere Möglichkeit wäre es, die Substrate vor der Beschichtung mit einer leicht zu entfernenden Opferschicht zu belegen, so dass diese, zusammen mit der nachgängig aufgebrachten Zirkonoxidschicht entfernt werden kann. Als

25 aufgebrachten Zirkonoxidschicht entfernt werden kann. Als Opferschicht eignet sich beispielsweise eine dünne Graphitschicht, die einfach aufgesprüht werden kann.

# 9. Tabellen

Tabelle 1:

Pro be	Schichtsy stem	Sauerstofff luss [sccm]	Targe ts	Kristallph asen im FL	Zusammenset zung des FL $Zr_1O_xN_y$
777	ZrN	0	SL: 4xZr	ZrN (cubic F)	x = 0 $y = 1.1$
778	SL: ZrN FL: Zr-O-	50	SL: 4xZr FL: 4xZr	ZrN (cubic F) bzw. ZrO (cubic F)	x = 0.12 y = 1.12 (N/O = 9.3)
779	SL: ZrN FL: Zr-O-	200	SL: 4xZr FL: 4xZr	ZrN (cubic F) bzw. ZrO (cubic F)	x = 0.74 $y = 1.26$ $(N/O = 1.7)$
799	SL: ZrN FL: Zr-O-	250	SL: 4xZr FL: 4xZr	ZrO2/Zr-O- N (cubic F)	x = 1 $y = 0.61$ $(N/O = 0.6)$

793	SL: ZrN  FL: Zr-O-	300	SL: 4×Zr FL: 4×Zr	ZrO2/Zr-O- N (cubic F)	x = 1.19 y = 0.52 (N/O = 0.4)
780	SL: ZrN FL: Zr-O-	400	SL:  4xZr  FL:  4xZr	ZrO2 (monoklin) Zr-O-N (cubic)	x = 2.05 $y = 0$ $(N/0 = 0)$

# Legende:

FL ... Funktionsschicht

SL ... Zwischenschicht, Unterlagsschicht

Tabelle 2:

Prob e	Schicht- system	Sauerst  off-  fluss  [sccm]	Targets	Kristallph asen im FL	
909	SL: ZrN  FL: Zr-O- (N)	350	SL: 4xZr	Zr~O (monoklin)	x = 1.9
911	SL: ZrN  FL: Zr-Y-  O-(N)	200	SL: 2xZr FL: 2xZr(85at%)/Y( 15at%)	Zr-Y-O (cubic)	x = 1.85
912	SL: ZrN  FL: Zr-Y-  O-(N)	300	SL: 2xZr FL: 2xZr(85at%)/Y( 15at%)	Zr-Y-O (cubic)	x = 1.80
910	SL: ZrN FL: Zr-O- (N)	350	SL: 2xZr  FL: 2xZr(85at%)/Y( 15at%)	Zr-Y-O (cubic)	x = 1.80

Tabelle 3:

Prob e	Schicht- system	Sauerst off- fluss [sccm]	FWHM (20 = 30°)	FWHM (2⊖ = 50°)	Abschätzun g der Kristallit grösse [nm]
909	SL: ZrN  FL: Zr-O- (N)	350	0.34	0.37	60
911	SL: ZrN  FL: Zr-Y-  O-(N)	200	0.42	0.60	32
912	SL: ZrN FL: Zr-Y- O-(N)	300	0.40	0.49	40
910	SL: ZrN  FL: Zr-O- (N)	350	0.36	0.44	50

Tabelle 4:

Pro be	Schichts ystem	Sauerstoff fluss [sccm]	Targets	Kristall phasen im FL	Zusammenset zung des FL $Zr_1O_xN_y$
916	SL: TiCN  FL: Zr-  Y-O-(N)	200	SL: 4xTi FL: 2xZr(92at%)/ Y(8at%)	ZrO <sub>2</sub> (tetrago nal, evntuell auch kubische Phase)	x = 1.1 $y = 0.4$ $(N/0 = 0.39)$
913	SL: TiCN FL: Zr- Y-O-(N)	250	SL: 4xTi FL: 2xZr(92at%)/ Y(8at%)	ZrO <sub>2</sub> (tetrago nal, evntuell auch kubische Phase)	x = 1.80 y = 0.07 (N/O = 0.04)
914	SL: TiCN  FL: Zr- Y-O-(N)	350	SL: 4xTi FL: 2xZr(92at%)/ Y(8at%)	ZrO <sub>2</sub> (tetrago nal, evntuell auch	x = 1.95 $y = 0$ $(N/O = 0)$

915	SL: TiCN FL: Zr- Y-O-(N)	400	SL: 4xTi FL: 2xZr(92at%)/ Y(8at%)	kubische Phase)  ZrO <sub>2</sub> (tetrago nal, evntuell auch kubische Phase)	x = 1.80 $y = 0$ $(N/O = 0)$
917	SL: ZrN FL: Zr- Y-O-(N) mit ausgeprä gtem ZrN- Übergang	250	SL: 4xTi FL: 2xZr(92at%)/ Y(8at%)	ZrO <sub>2</sub> (vorwieg end kubische Phase, eventuel l Anteile tetragon aler Phase)	x = 1.80 y = 0.1 (N/O = 0.06)

Tabelle 5:

<i>Prob</i>	Schicht- system	Sauerst off- fluss [sccm]	FWHM (20 = 30°)	FWHM (2⊖ = 50°)	Abschätzun g der Kristallit grösse [nm]
916	SL: TiCN FL: Zr-Y- O-(N)	200	2.09	2.30	5
913	SL: TiCN FL: Zr-Y- O-(N)	250	0.90	1.09	11
914	SL: TiCN FL: Zr-Y- O-(N)	350	0.44	0.63	30
915	SL: TiCN FL: Zr-Y- O-(N)	400	0.46	0.70	25
917	SL: ZrN  FL: Zr-Y-  O-(N)	250	1.03	1.21	10

mit		
ausgepräg		
tem		
ZrN-		
Übergang		

## Patentansprüche

1) Verfahren zur Herstellung einer Zirkonoxid-basierten Schicht auf einem Ablege-Substrat, unter Einsatz reaktiven Funkenverdampfens, mit gepulstem Funkenstrom und/oder mit Anlegen eines zum Funkentarget senkrechten Magnetfeldes, dadurch gekennzeichnet, dass ein ein elementares Zirkon und mindestens einen Stabilisator umfassendes Mischtarget eingesetzt wird.

10

5

- 2) Verfahren nach Anspruch 1 dadurch gekennzeichnet, dass die Schicht in kubischer und/oder tetragonalen Kristallstruktur hergestellt wird.
- 15 3) Verfahren nach Anspruch 1oder 2 dadurch gekennzeichnet, dass der Sauerstoffpartialdruck über 0.1Pa gewählt wird, vorzugsweise mindestens zu 10Pa.
- 4) Verfahren nach einem der Ansprüche 1 bis 3 dadurch
  20 gekennzeichnet, dass Konzentrationsverhältnis von
  Zirkonoxid und Stabilisator an der Schicht mindestens
  im Wesentlichen durch das Konzentrationsverhältnis von
  elementarem Zirkonium und Stabilisator am Mischtarget
  vorgegeben wird.

25

5) Verfahren nach einem der Ansprüche 1 bis 4 dadurch gekennzeichnet, dass durch Wahl der Konzentration des

Stabilisators im Mischtarget die kubische und/oder tetragonale Kristallstruktur erreicht wird.

6) Verfahren nach einem der Ansprüche 1 bis 5 dadurch
5 gekennzeichnet, dass der Sauerstoffpartialdruck, als
bezüglich des Erreichens kubischer und/oder
tetragonaler Kristallstruktur mindestens im
Wesentlichen freier Stellparameter, für die Vorgabe der
Schichtmorphologie eingesetzt wird.

- 7) Verfahren nach einem der Ansprüche 1 bis 5, dadurch gekennzeichnet, dass das Reaktivgas nebst Sauerstoff, Stickstoff umfasst.
- 15 8) Verfahren zur Herstellung einer Zirkonoxid-basierten Schicht auf einem Ablege-Substrat, unter Einsatz reaktiven Funkenverdampfens mit gepulstem Funkenstrom und/oder mit Anlegen eines zum Funkentarget senkrechten Magnetfeldes, dadurch gekennzeichnet, dass ein Zirkoniumtarget aus elementarem Zirkonium eingesetzt wird und, nebst Sauerstoff, Stickstoff als Reaktivgas eingesetzt wird.
- 9) Verfahren nach Anspruch 8 dadurch gekennzeichnet, dass25 die Schicht in kubischer und/oder tetragonalerKristallstruktur hergestellt wird.

- 10) Verfahren nach einem der Ansprüche 8 oder 9 dadurch gekennzeichnet, dass durch Einstellung der Druckverhältnisse beim Funkenverdampfen eine Schicht erzeugt wird, die Zirkon, Sauerstoff und Stickstoff enthält, mit kubischer und/oder tetragonaler Kristallstruktur.
- 11) Verfahren nach einem der Ansprüche 8 bis 10 dadurch gekennzeichnet, dass der Sauerstoffanteil über eine
   10 Gasflussregelung, der Stickstoffanteil mittels Totaldruckregelung gestellt werden.
- 12) Verfahren nach einem der Ansprüche 8 bis 11 dadurch gekennzeichnet, dass die Zirkonoxid- basierte Schicht als reine ZrO2 Schicht in kubischer Kristallstruktur, auf einer kubisch auskristallisierten, Zirkon, Stickstoff und Sauerstoff enthaltenden Schicht abgelegt wird.
- 20 13) Verfahren nach einem der Ansprüche 1 bis 12 für die Herstellung der Schicht als Schicht in einem Schichtpaket.
- 14) Verfahren nach einem der Ansprüche 1 bis 13 dadurch
  25 gekennzeichnet, dass die Schicht durch Variation des
  Sauerstoff/Stickstoff -Gehaltes, als
  Mehrfachlagenschicht hergestellt wird.

15) Verfahren nach einem der Ansprüche 1 bis 14 dadurch gekennzeichnet, dass das Ablegen der Schicht bei einer Substrattemperatur zwischen 200°C und 700°C erfolgt.

5

16) Verfahren nach einem der Ansprüche 1 bis 15 dadurch gekennzeichnet, dass die Formierung der kubischen oder tetragonalen Phase entfernt vom thermischen Gleichgewichtszustand vorgenommen wird.

10

- 17) Verfahren nach einem der Ansprüche 1 bis 16 dadurch gekennzeichnet, dass Oxyde anderer Metalle als von Zirkonium in das Schichtmaterial eingebaut werden.
- 15 18) Verfahren nach einem der Ansprüche 1 bis 17, wobei dasAblegesubstrat eine metallische Oberfläche hat, dadurch gekennzeichnet, dass eine Stützschicht auf der metallischen Oberfläche abgelegt wird, dann die Schicht auf die Stützschicht, wobei die Stützschicht vorzugsweise aus einem Metall ausser Zr, einem Nitrid oder einem Oxid besteht, vorzugsweise aus ZrN.
  - 19) Verfahren nach einem der Ansprüche 1 bis 18 dadurch gekennzeichnet, dass kein Arbeitsgas, wie Argon, eingesetzt wird.

20) Verwendung des Verfahrens nach Anspruch 12 für die Herstellung einer Schicht, die in die monokline Phase umschlagen kann, vorzugsweise für reibungsminderndes Einlaufen.

5

- 21) Verwendung des Verfahrens nach einem der Ansprüche 1 bis 19 für die Herstellung einer Festelektolytschicht in einer Brennstoffzelle.
- 10 22) Verwendung des Verfahrens nach Anspruch 21,bei der mindestens eines folgender Merkmale gilt:
  - der Stabilsator wird frei gewählt;
- es werden Schichtzusammensetzung,
   Phasenzusammensetzung und Schichtmorphologie
   mindestens weitgehend unabhängig voneinander mittels
   Regelung von Parametern des Verdampfungsprozesses
   eingestellt;
  - es lässt sich die Schichtmorphologie von glasähnlich bis kolumnar einstellen;
    - es wird die Festelekrolytschicht ohne Stabilisator hergestellt.
- die Schicht wird mit einem Gradienten der Schichtmaterialzusammensetzung in Richtung ihrer
   Dickenausdehnung hergestellt, vorzugsweise ist der Gradient von Zr zu ZrN, zu ZrO zu ZrO2, mit freier Wählbarkeit von Morphologie und Phase.

23) Verwendung des Verfahrens nach einem der Ansprüche 1 bis 7 , 13 bis 19 für die Herstellung der Schicht als Wachstumsunterlage für ein YSZ.

5

24) Verwendung des Verfahrens nach einem der Ansprüche 1 bis 19 zur Erhöhung des Ionentransportes entlang der Korngrenzen wobei die Kristallitgrösse der Schicht vorzugsweise im Nanometerbereich eingestellt wird.

10

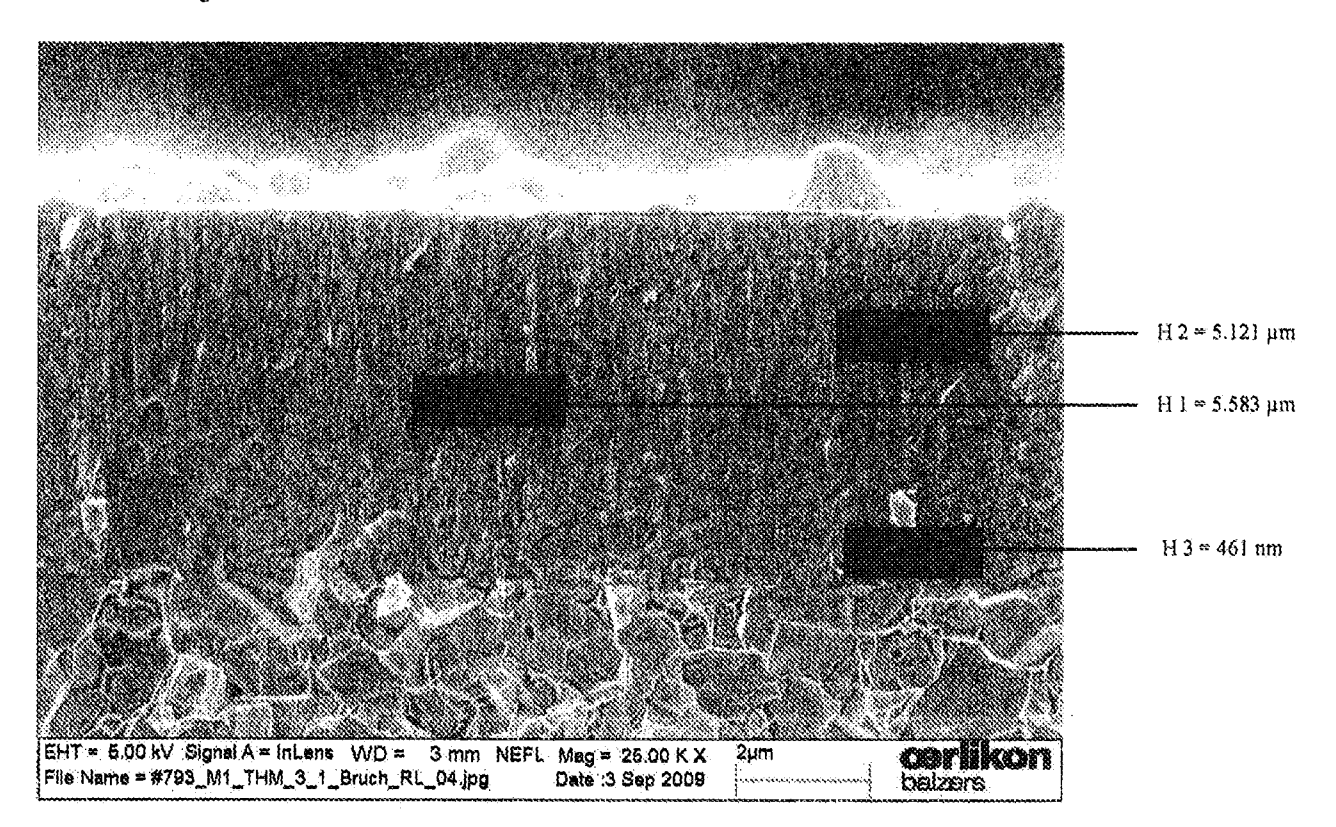
- 25) Anode für eine Funkenverdampfungsquelle, insbesondere zur Ausführung des Verfahrens nach einem der Ansprüche 1 bis 19, insbesondere in dessen Verwendungen nach einem der Ansprüche 20 bis 24, umfassend:
- Einen Anodenkörper mit einer Anodenfläche,
  - Entlang der Anodenfläche eine Heizwendel, die vom Anodenkörper elektrisch isoliert ist,
  - Vom Anodenkörper elektrisch isolierte Anschlüsse für die Heizwendel.

- 26) Anode nach Anspruch 25, dadurch gekennzeichnet, dass der Anodenkörper aus Blechmaterial geformt ist.
- 27) Verfahren zum Betrieb einer Funkenverdampfungsanlage
  25 mit einer Anode nach Anspruch 25 oder 26, dadurch gekennzeichnet, dass man die Anodenfläche, zur

mindestens teilweisen Reinigung von einer
Störbeschichtung, einem mittels
Aktivierung/Desaktivierung der Heizwendel bewirkten
Temperaturwechsel aussetzt, derart sich die
Anodenfläche verformt und die Störbeschichtung
abplatzt.

28) Verfahren nach Anspruch 27 dadurch gekennzeichnet, dass mit der Heizwendel auch ein durch Funkenverdampfen zu beschichtendes Substrat beheizt wird.

Abbildung la



## Abbildung 1b

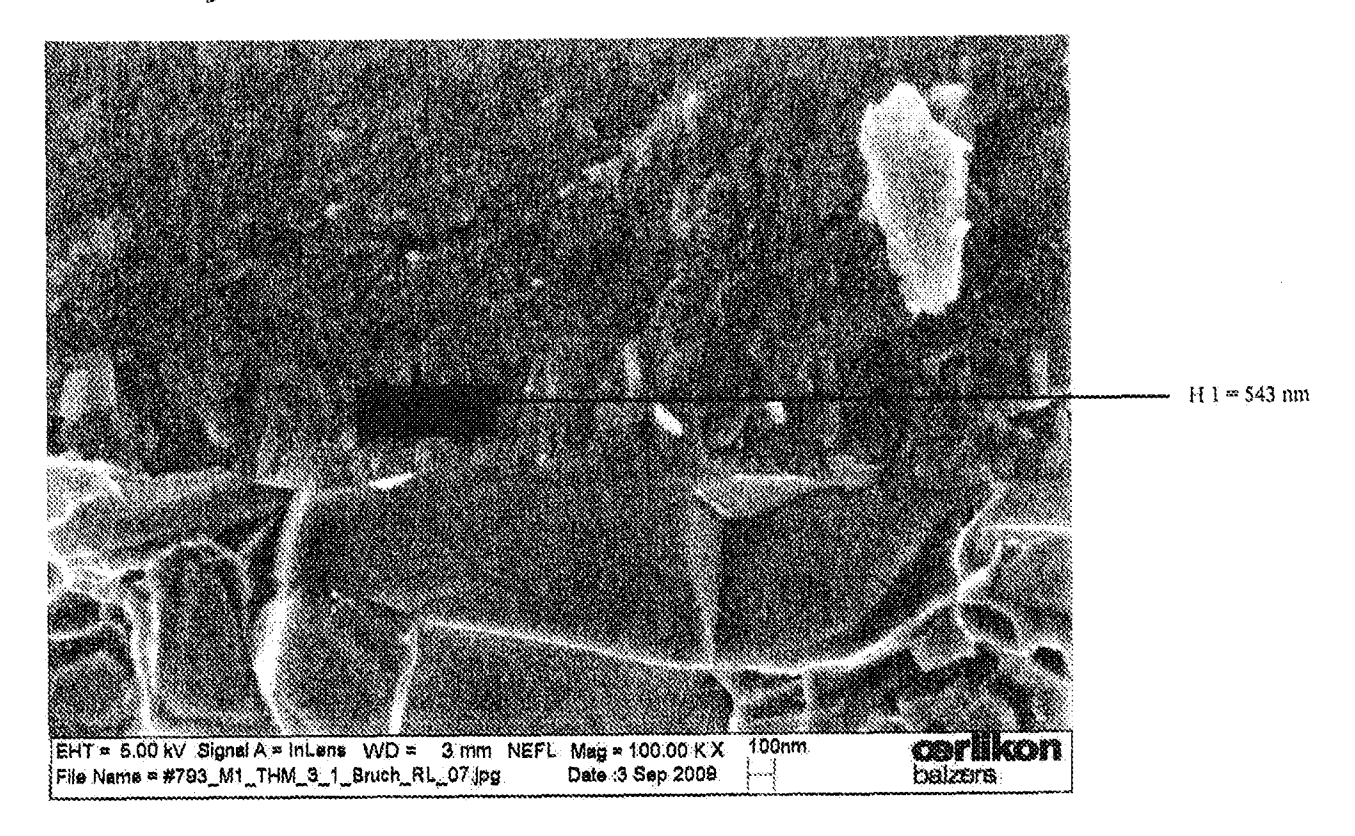


Abbildung 2

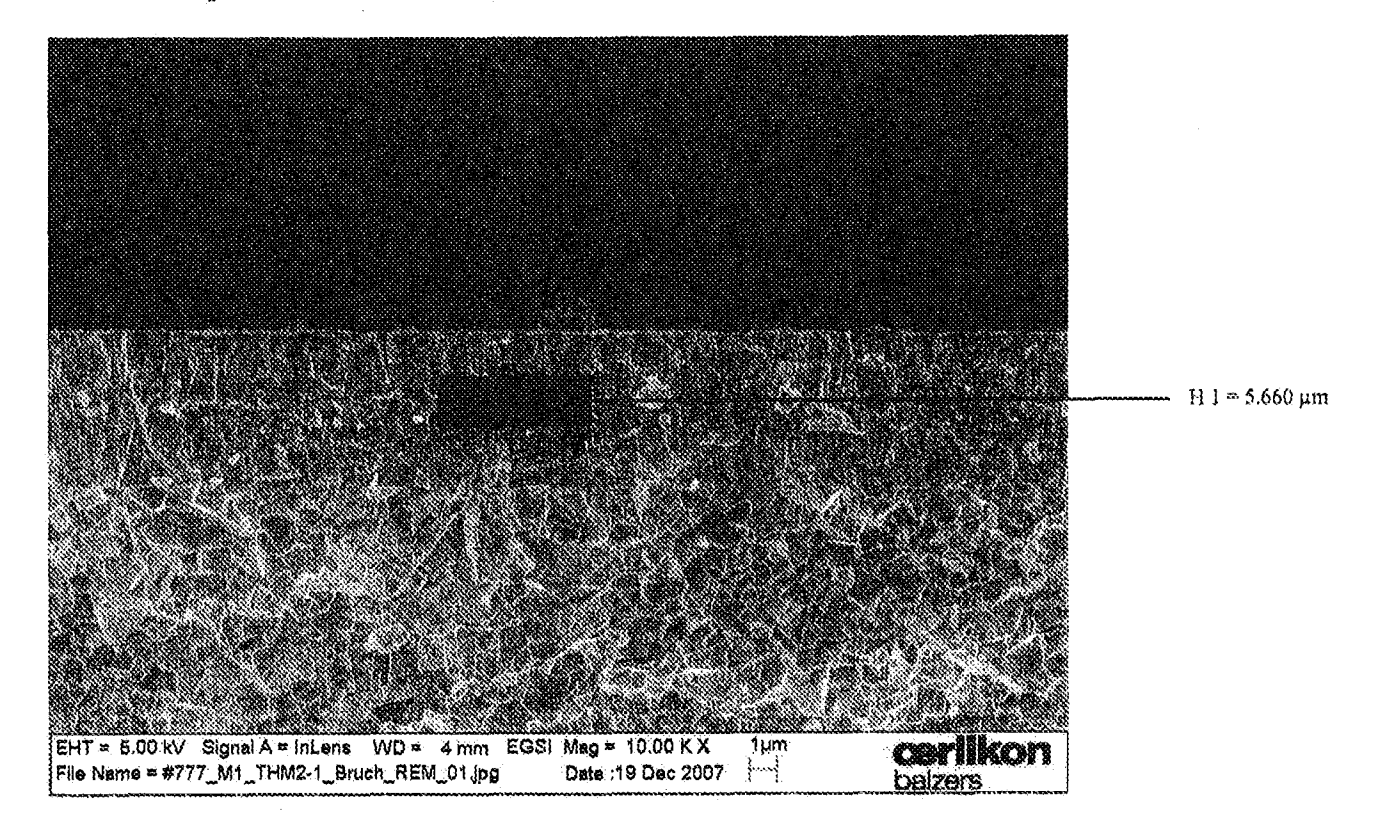


Abbildung 3

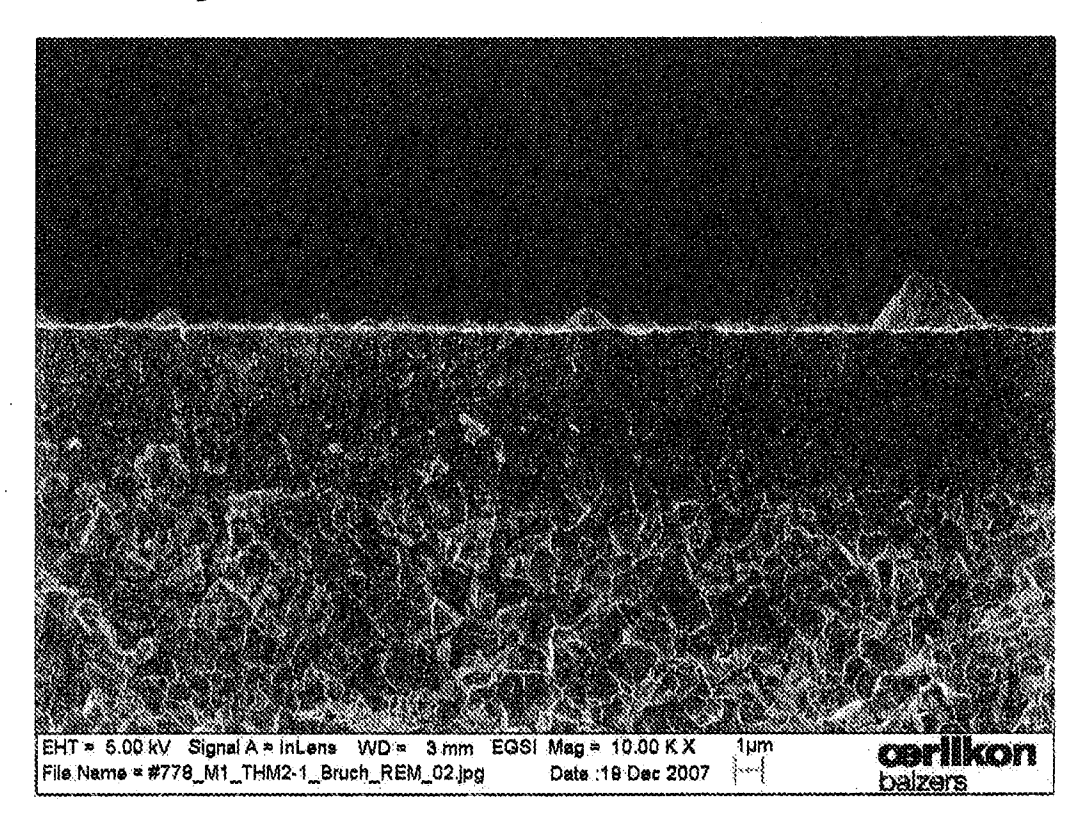


Abbildung 4a

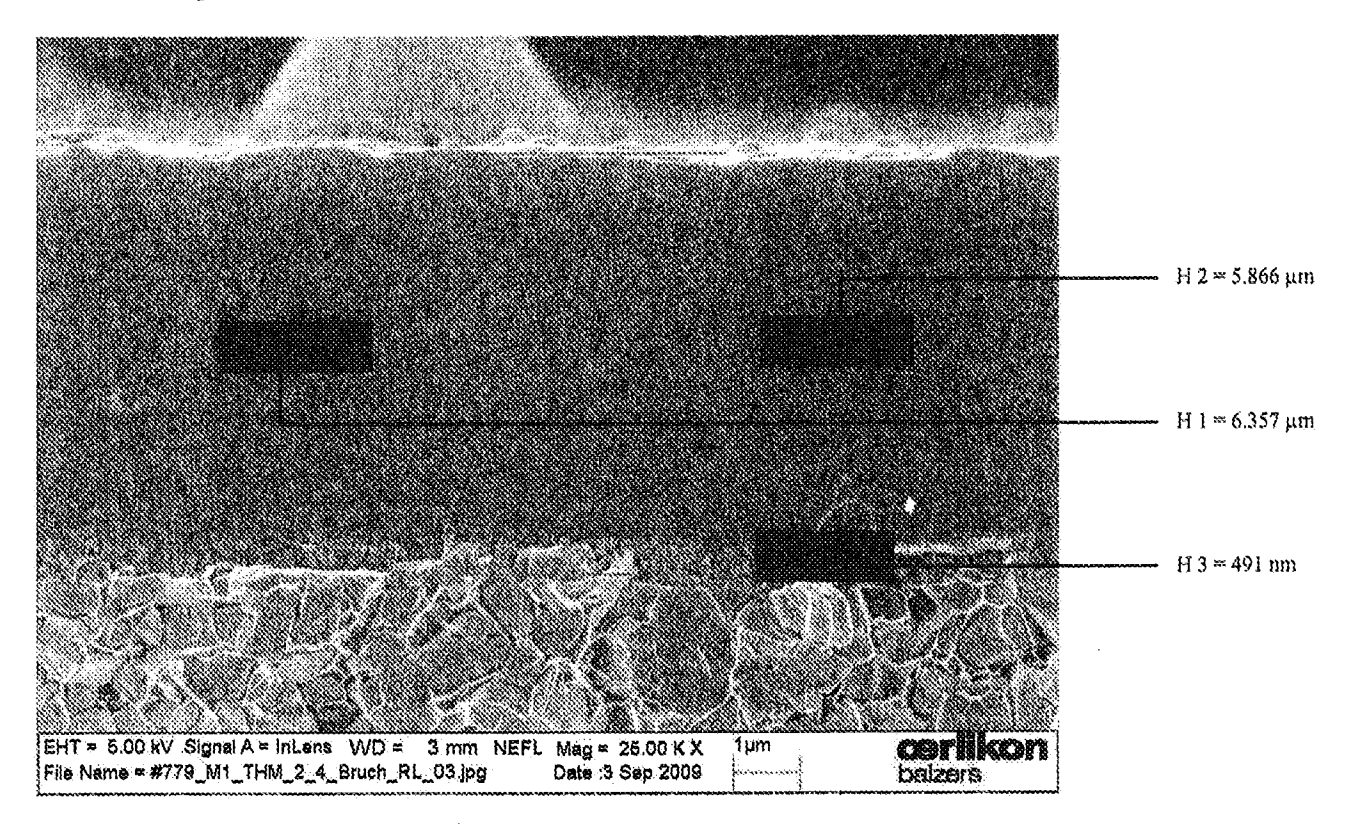


Abbildung 4b

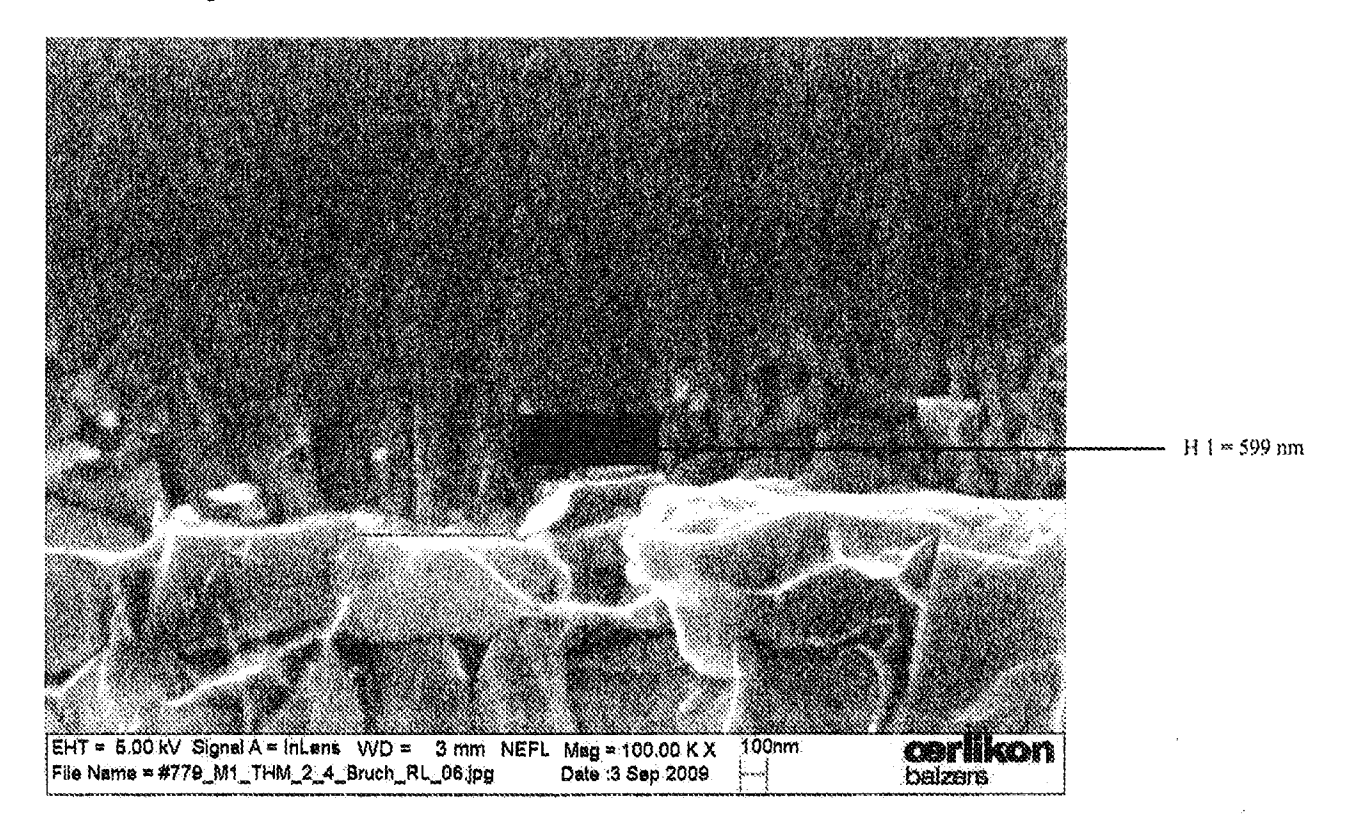
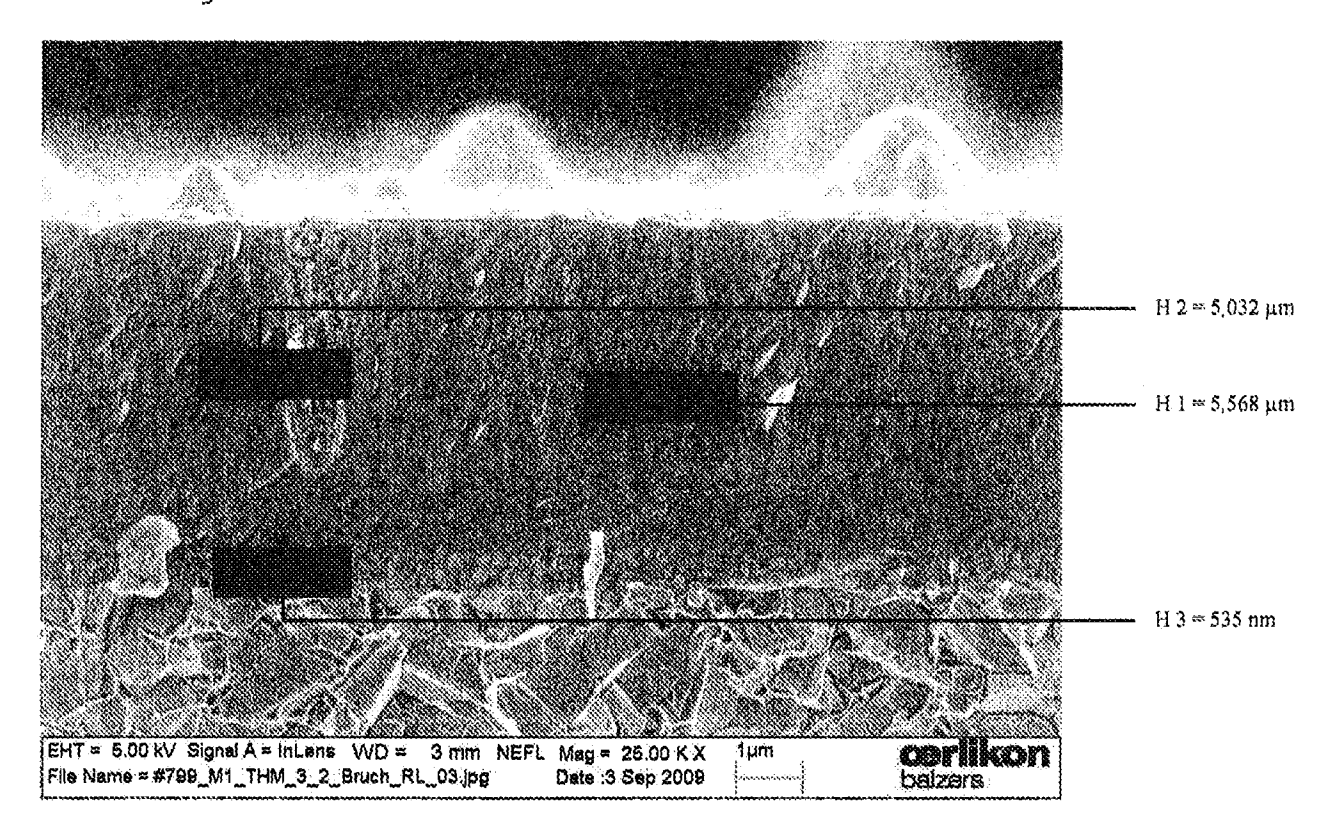


Abbildung 5a



## Abbildung 5b



Abbildung 6a

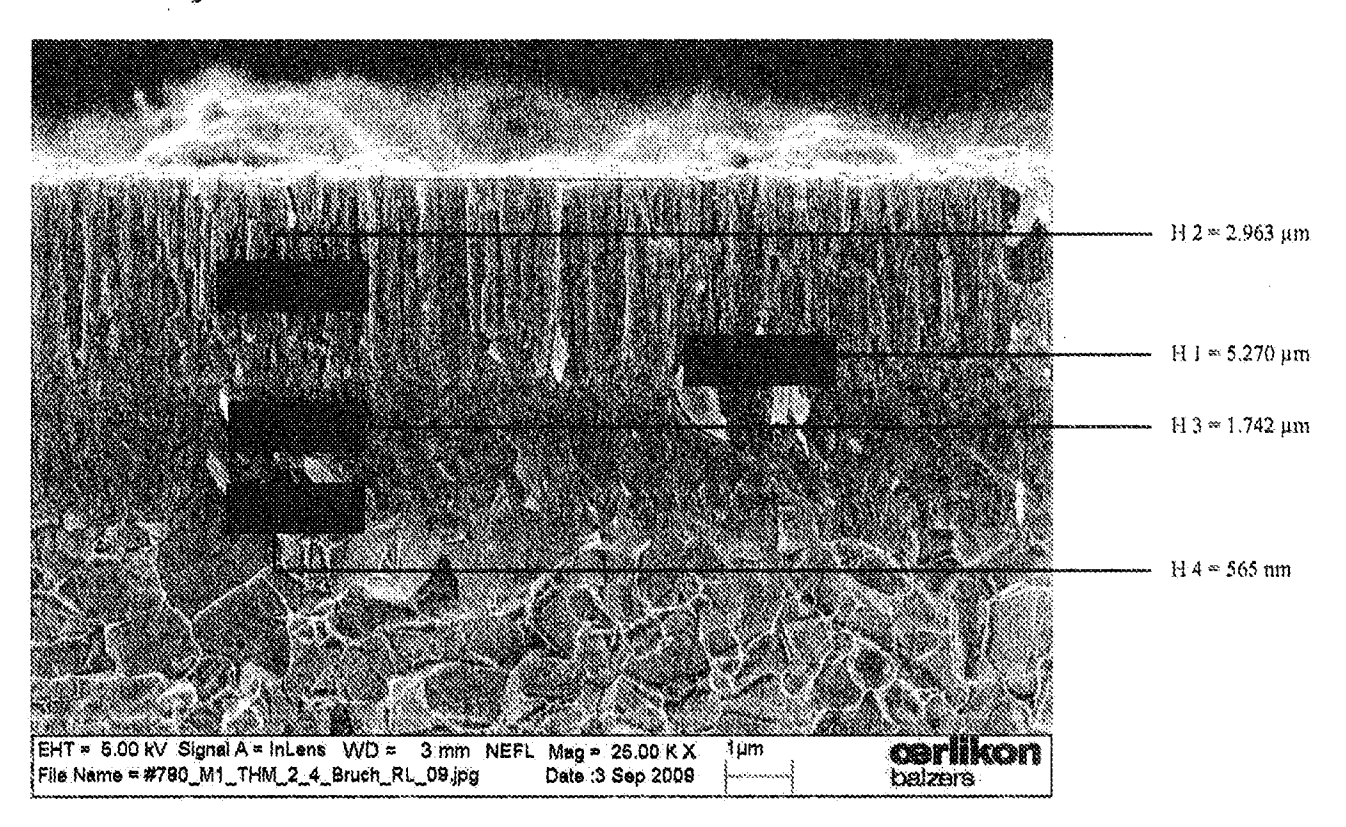


Abbildung 6b

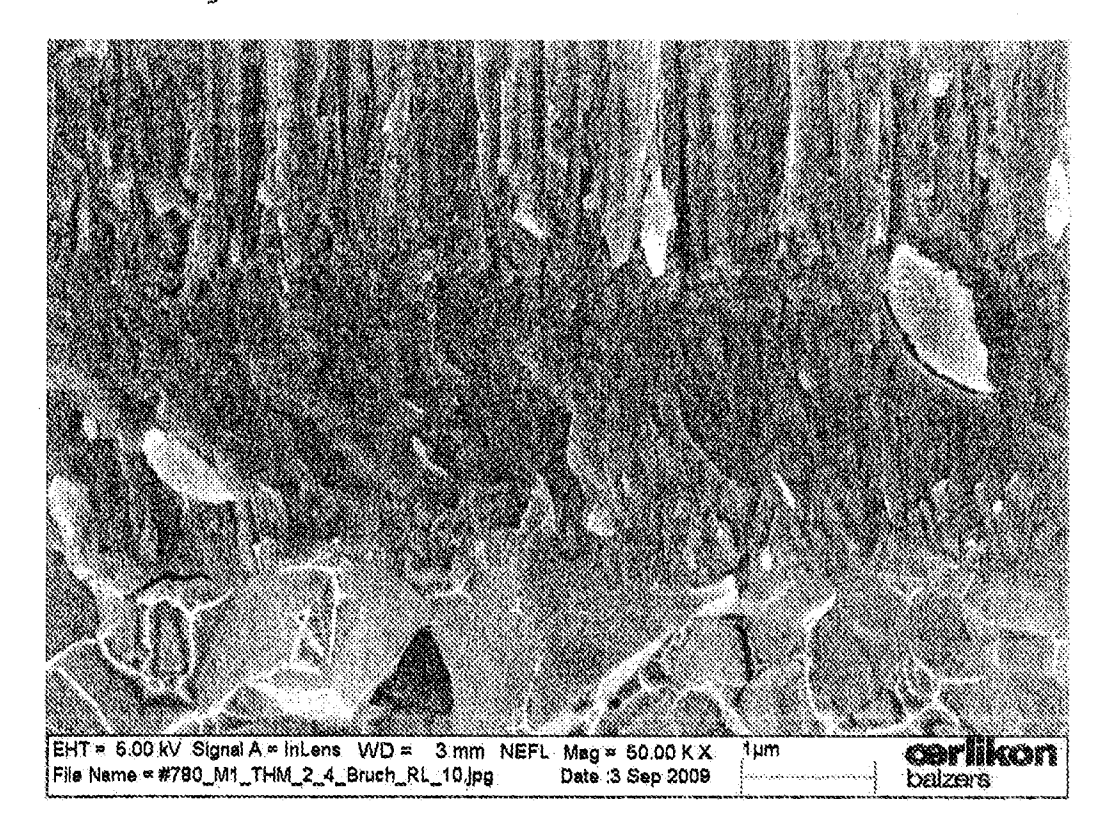


Abbildung 7a

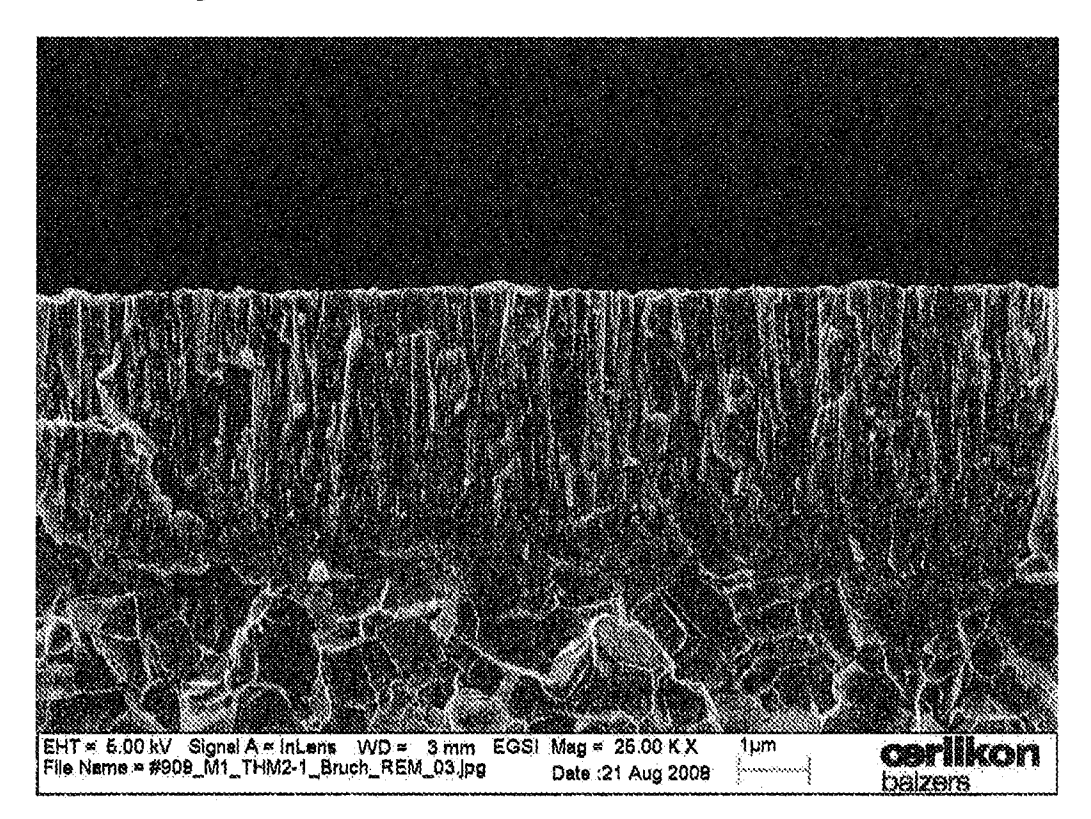


Abbildung 7b

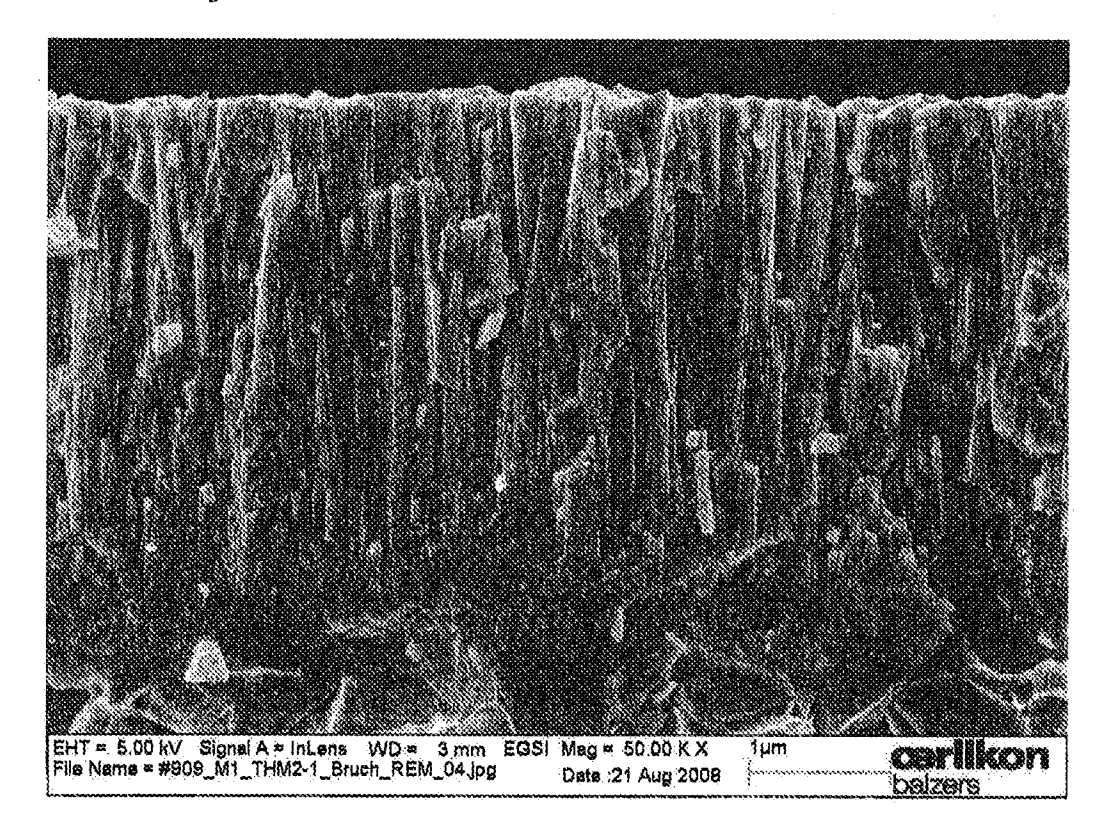


Abbildung 8a

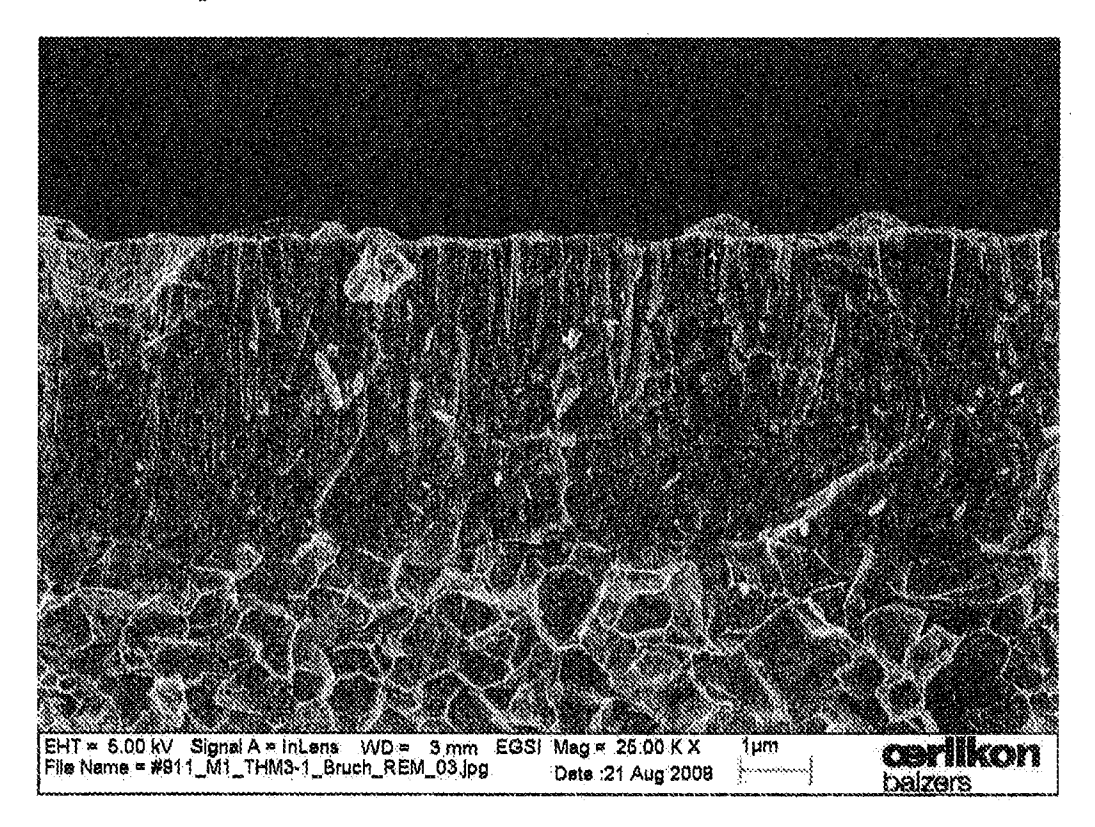
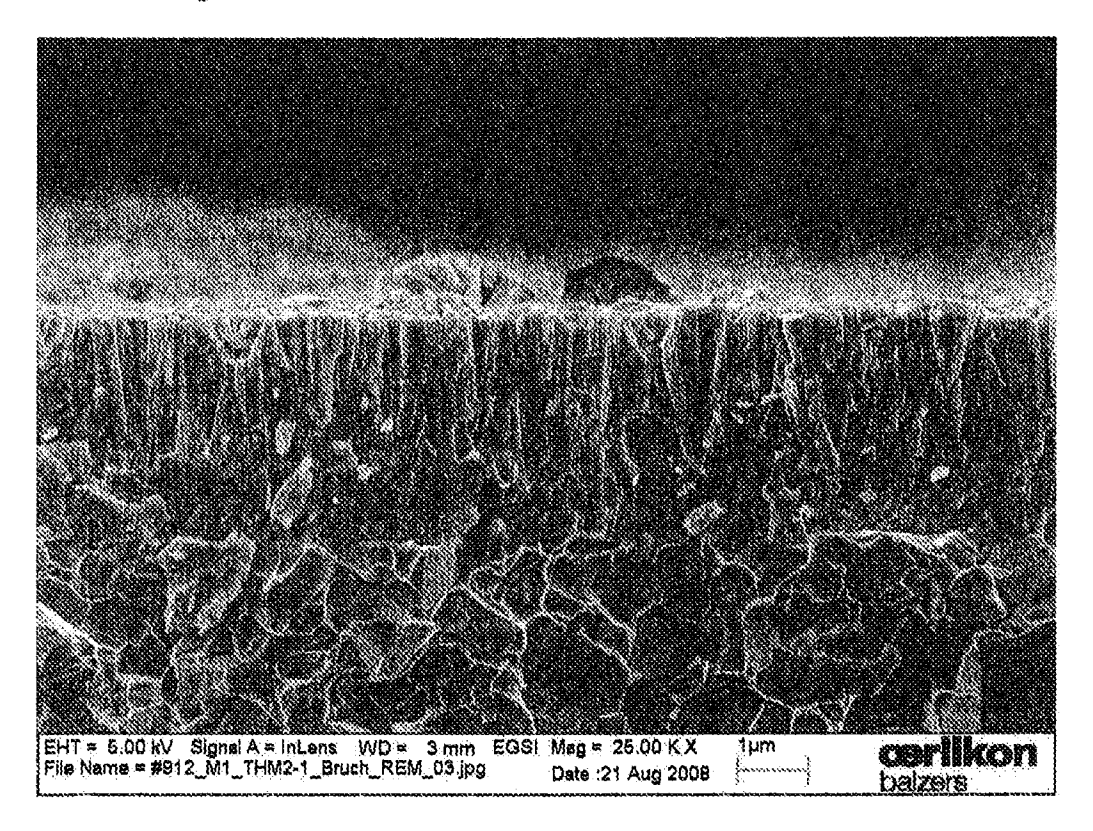


Abbildung 8b



Abbildung 9a



## Abbildung 9b

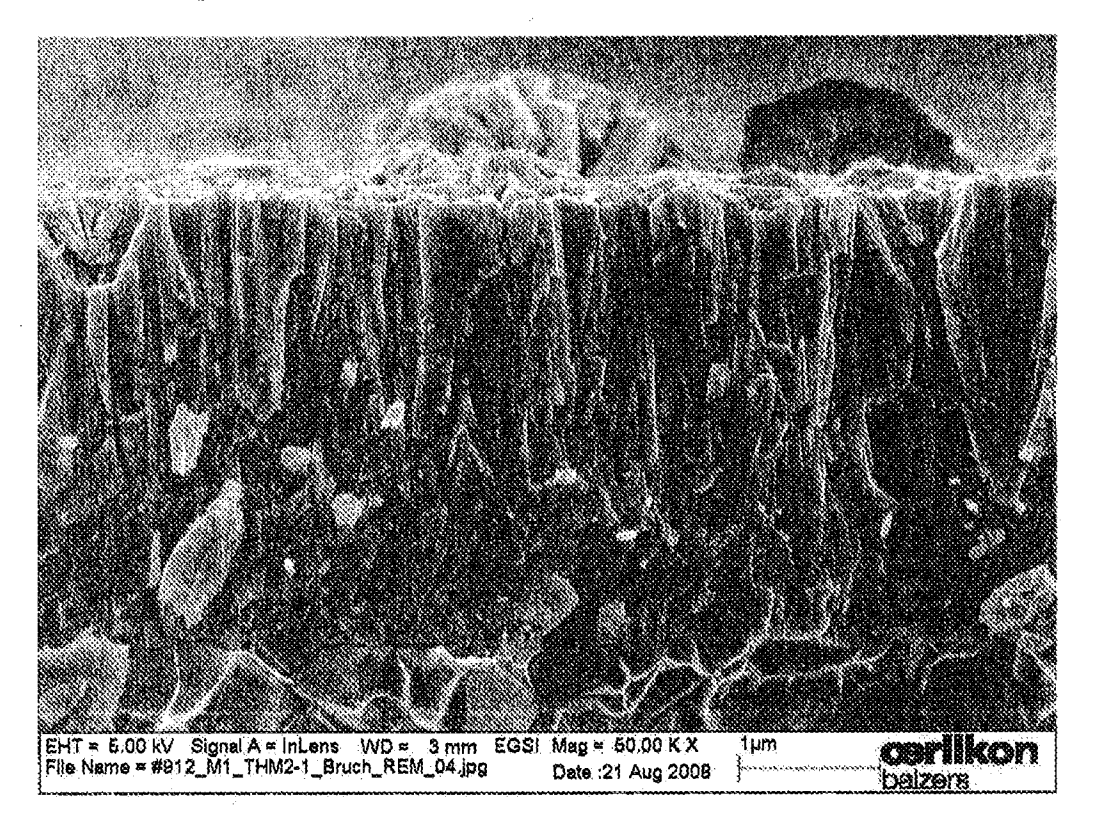


Abbildung 10a

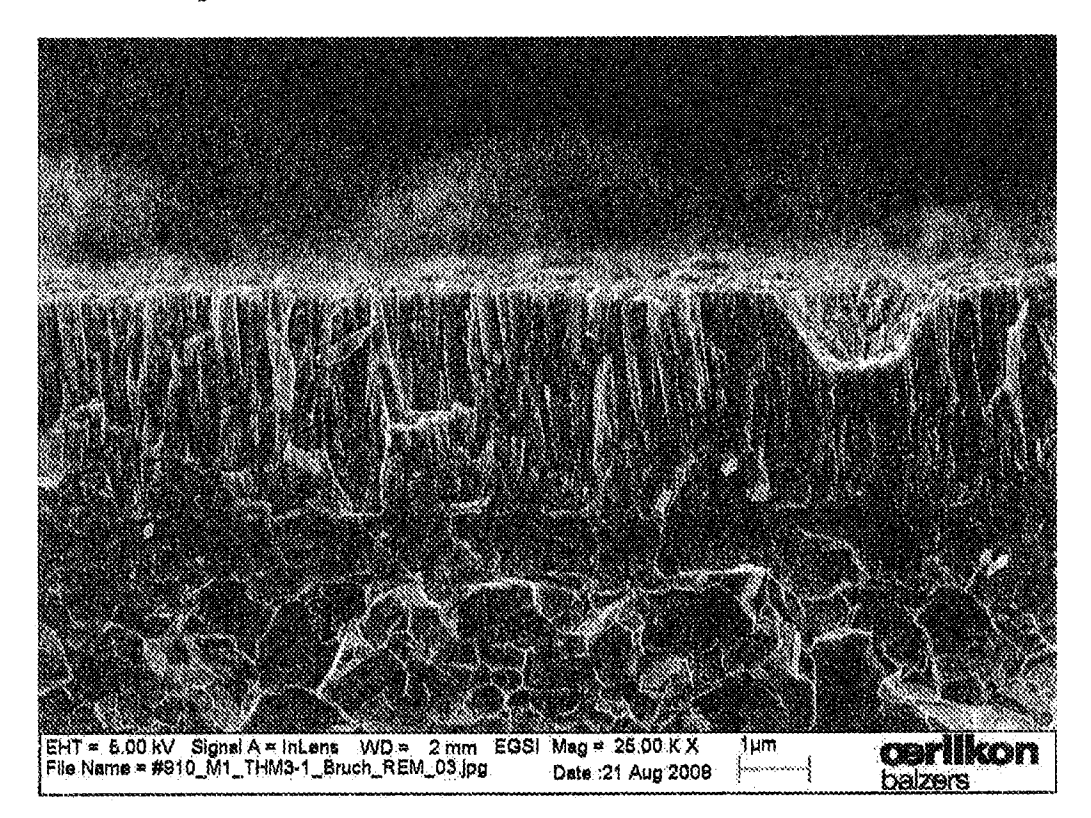


Abbildung 10b

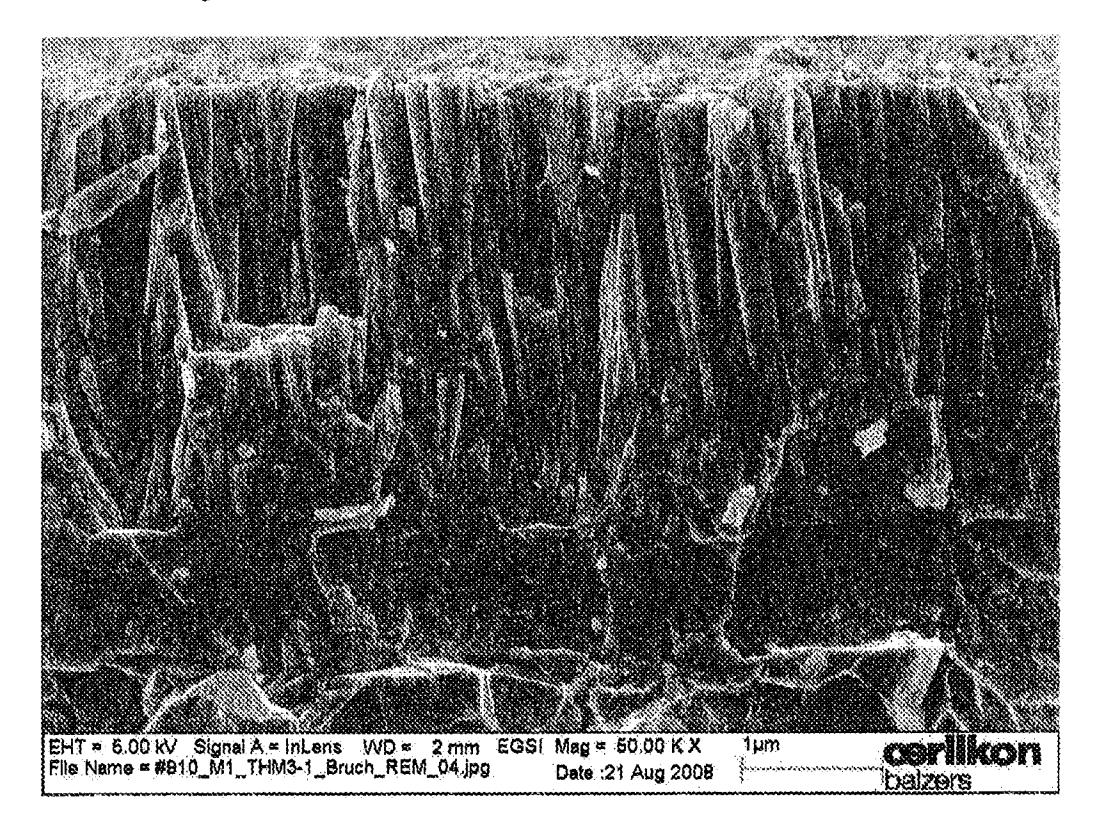


Abbildung 11a



Abbildung 11b



Abbildung 12a

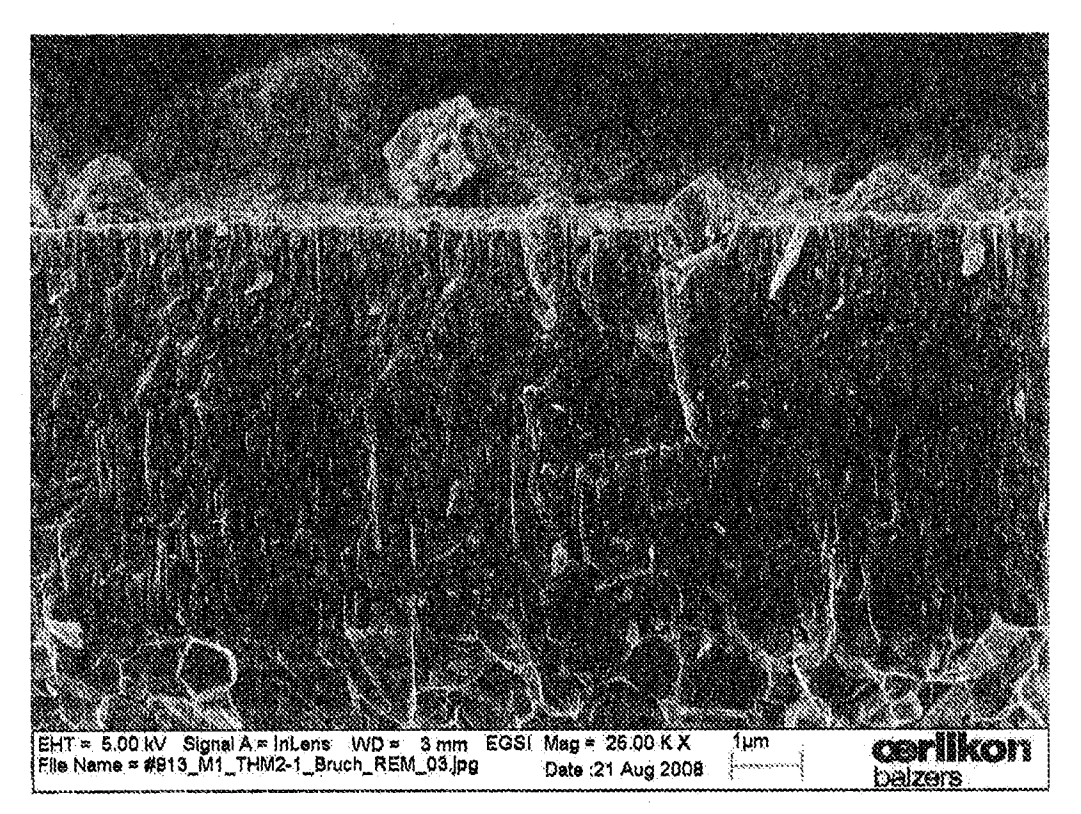


Abbildung 12b



Abbildung 13a

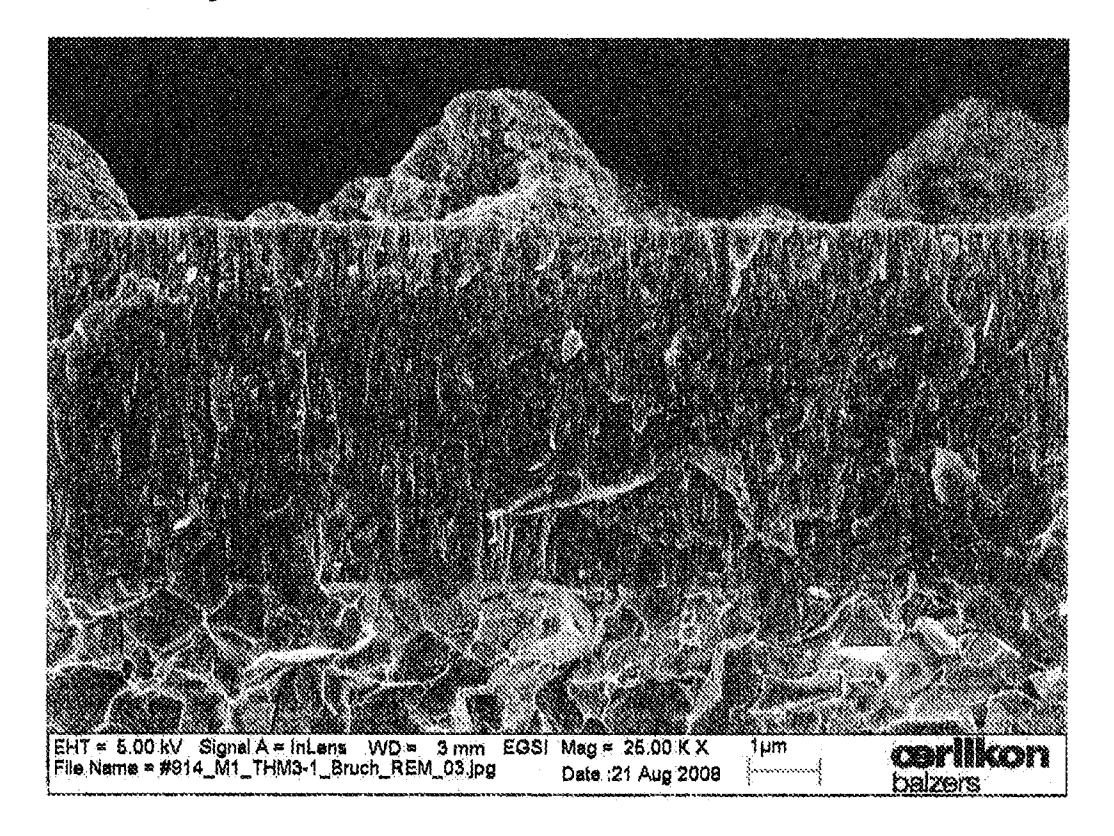


Abbildung 13b



Abbildung 14a

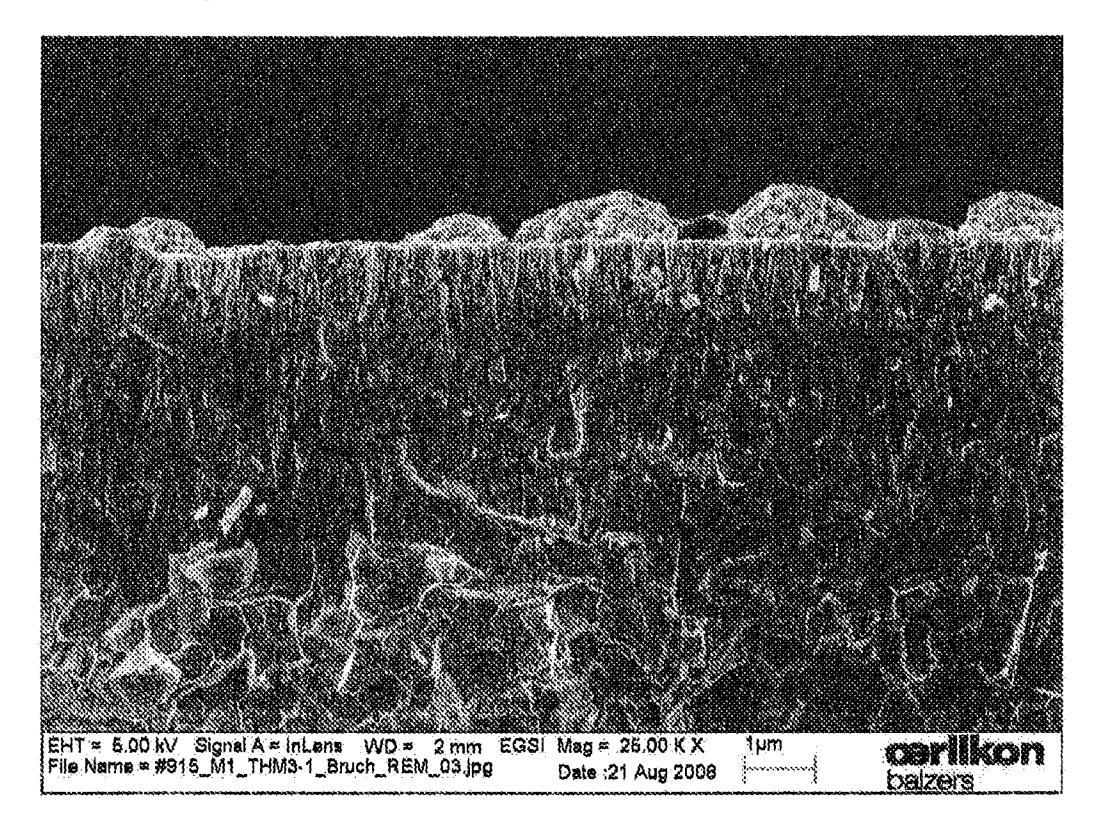


Abbildung 14b



Abbildung 15a

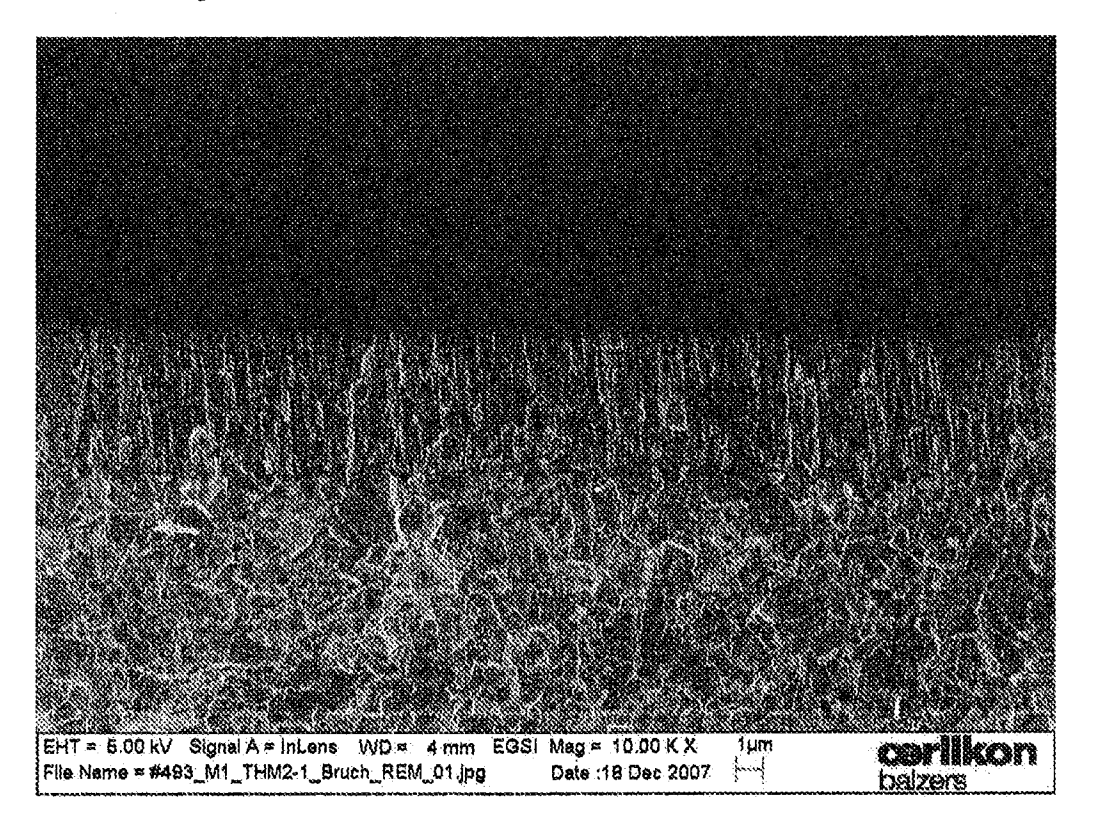


Abbildung 15b

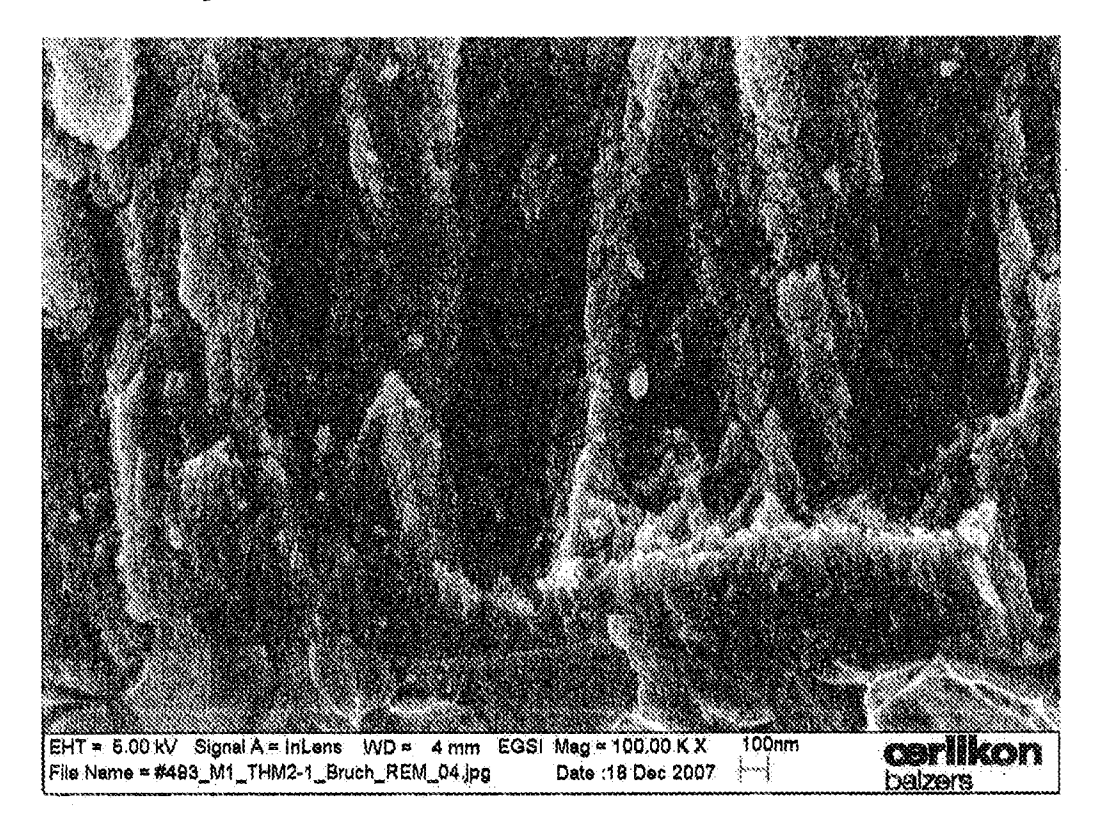


Abbildung 16a

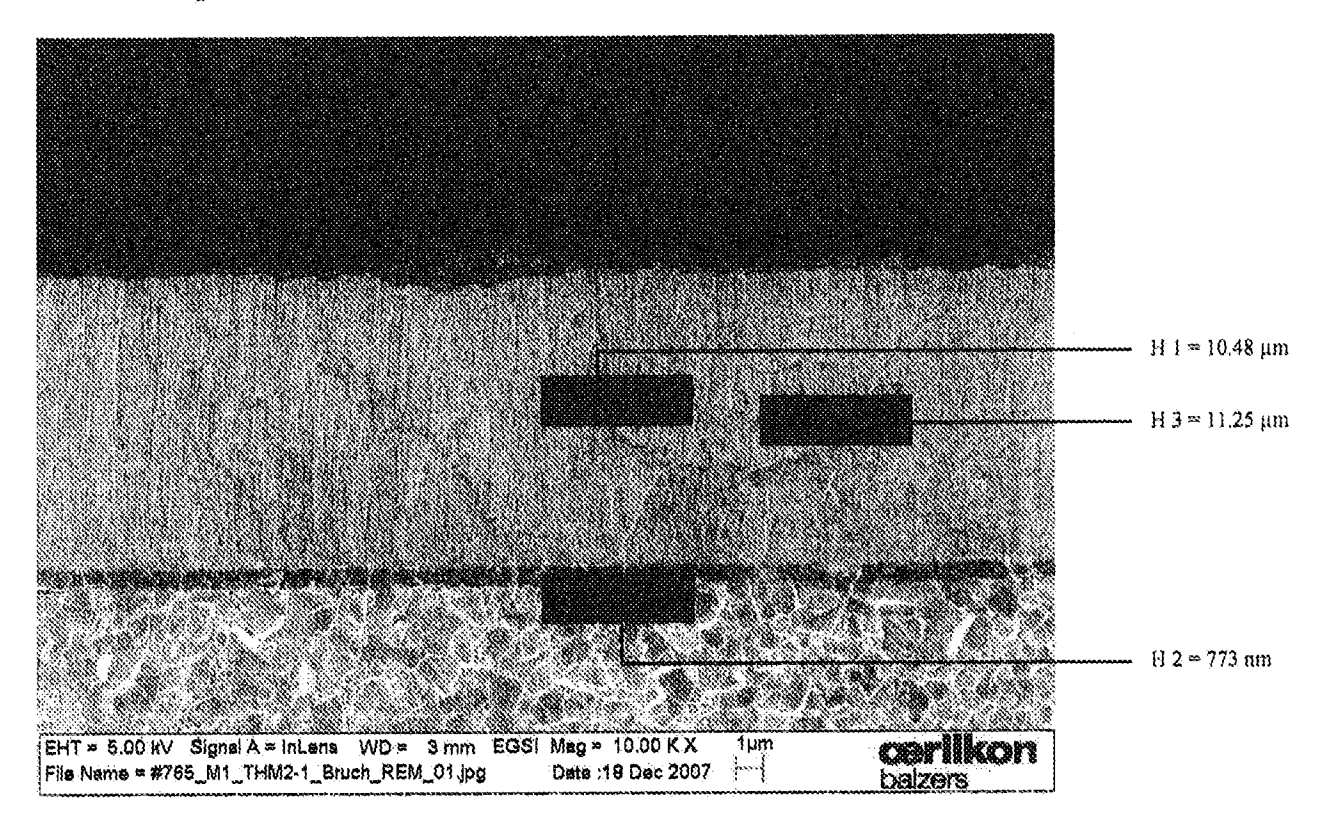


Abbildung 16b



Abbildung 17a

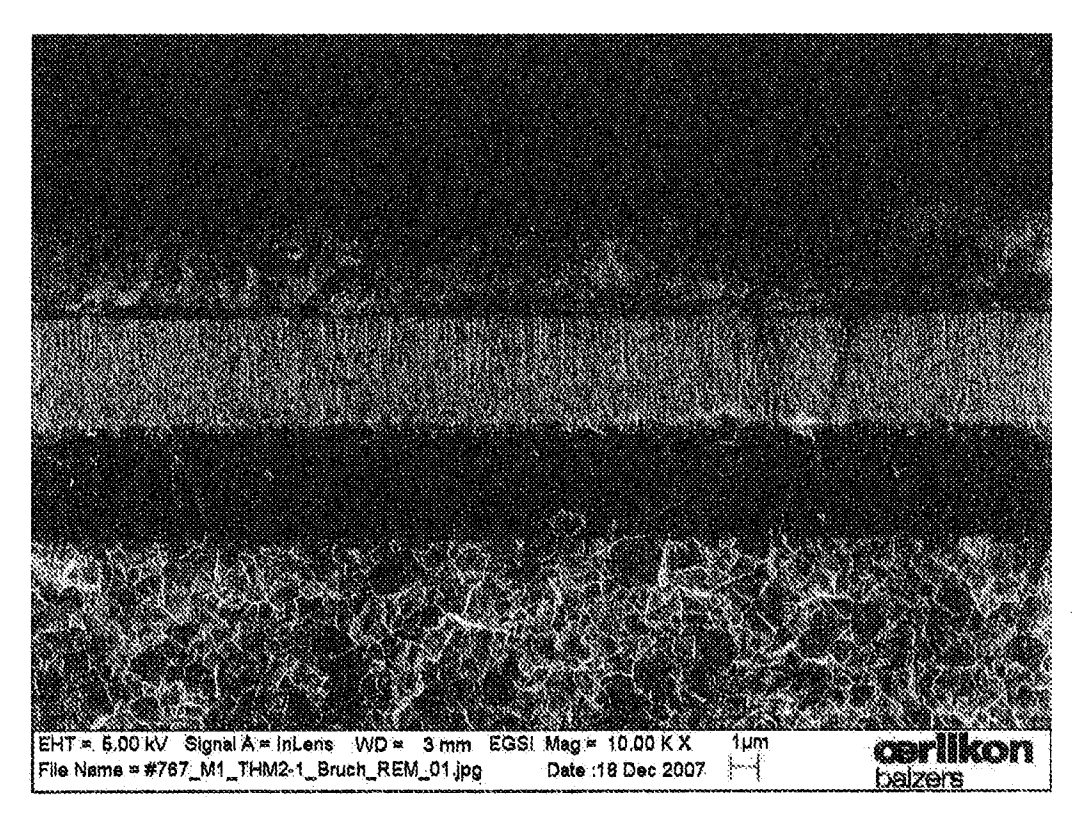
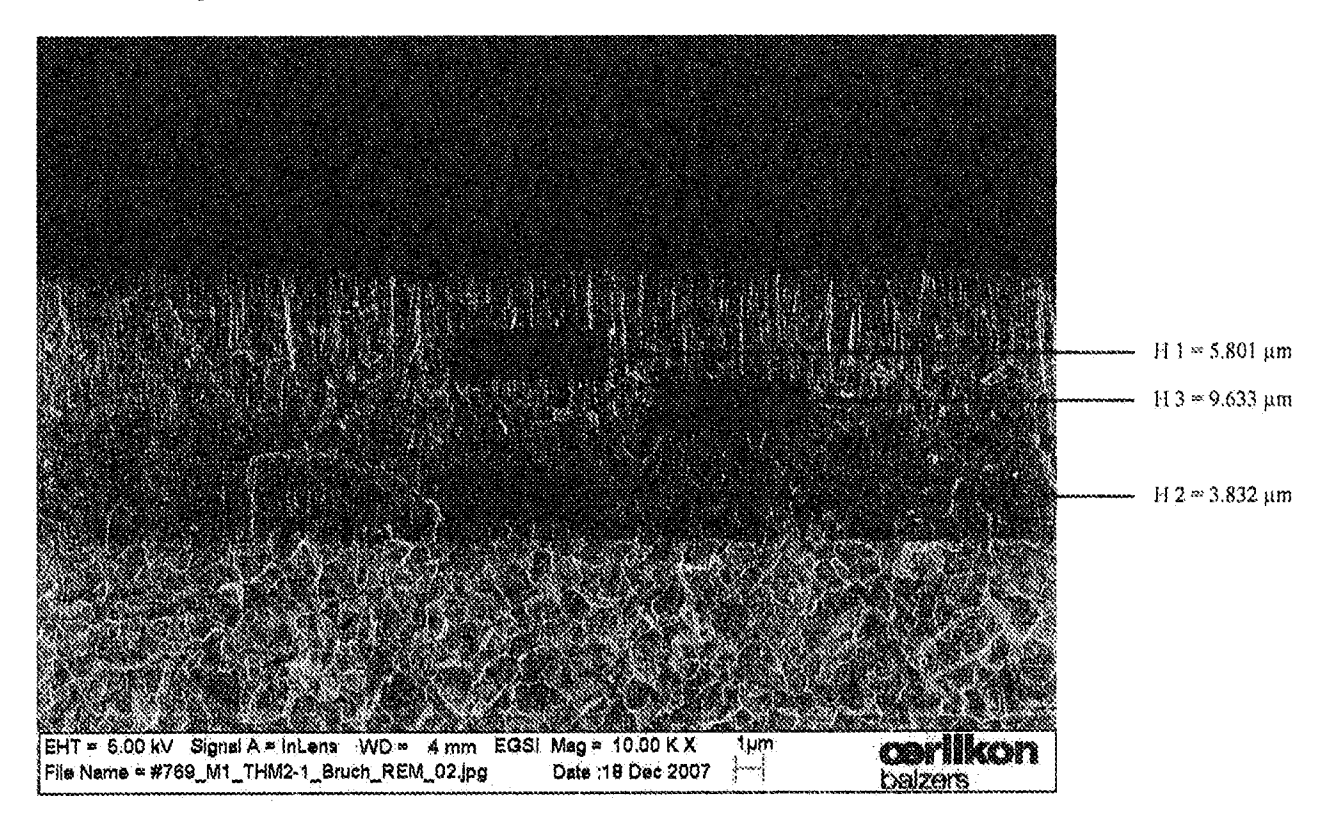


Abbildung 17b



## Abbildung 18a

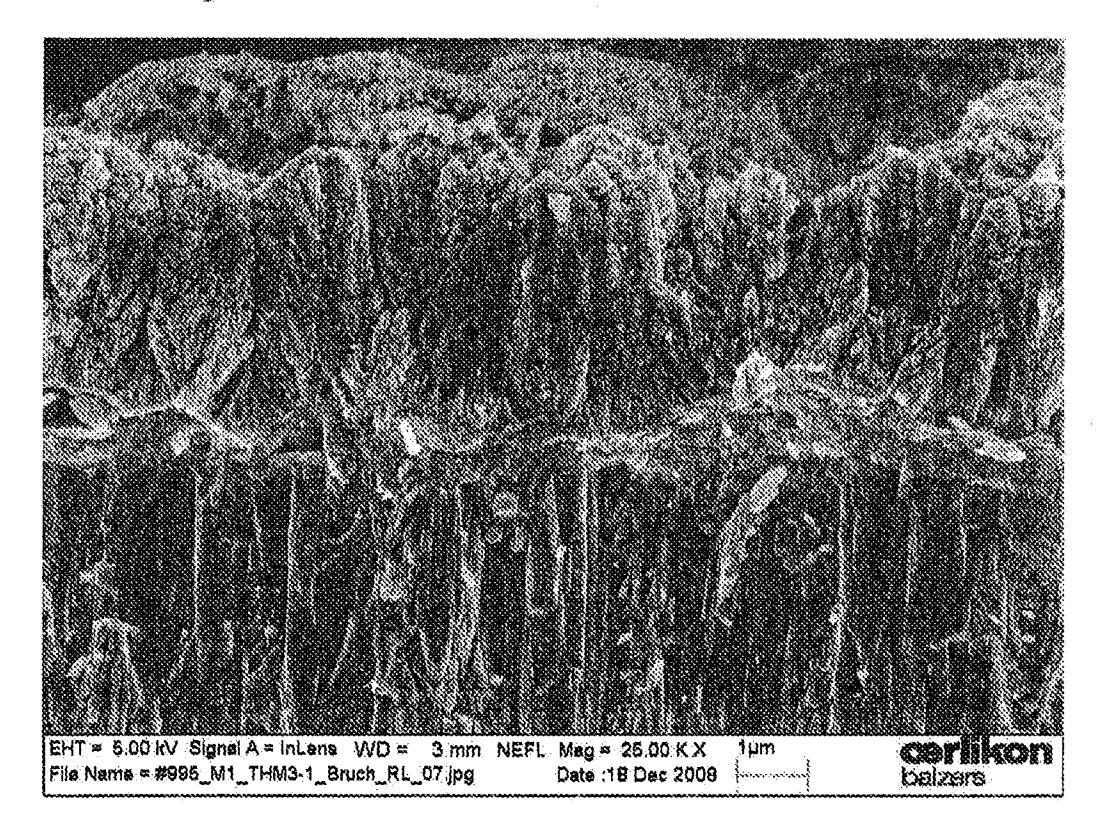


Abbildung 18b

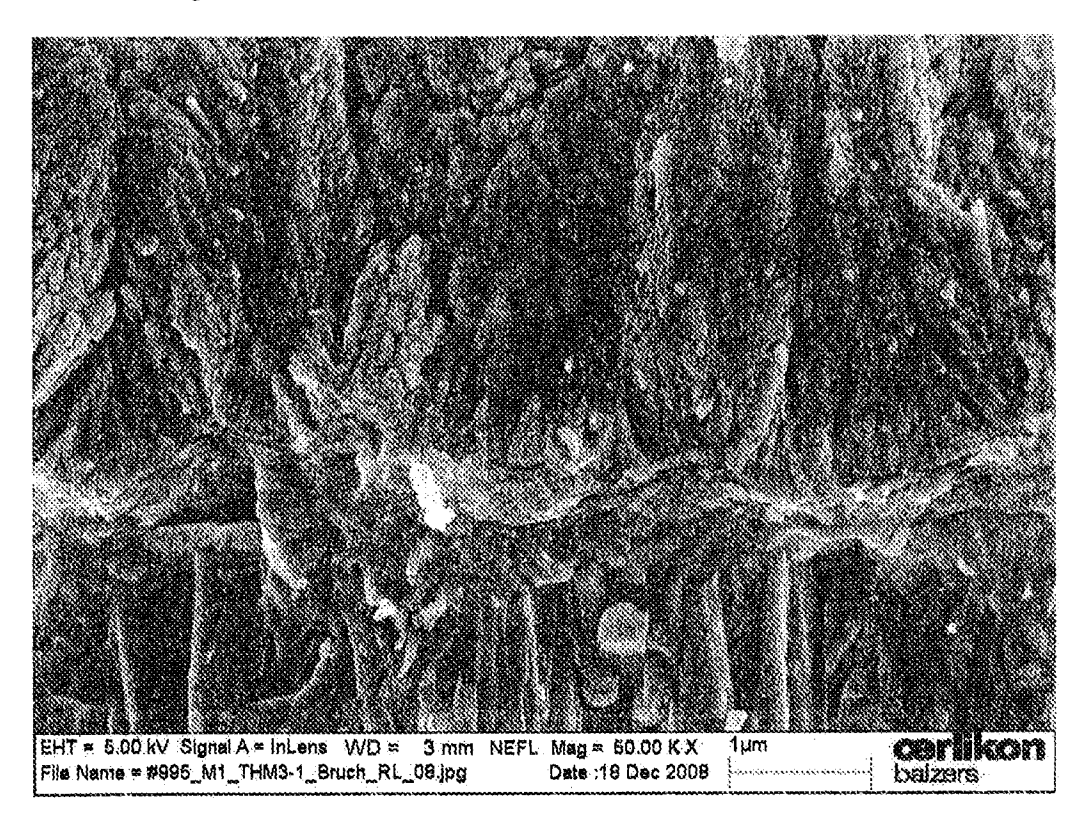
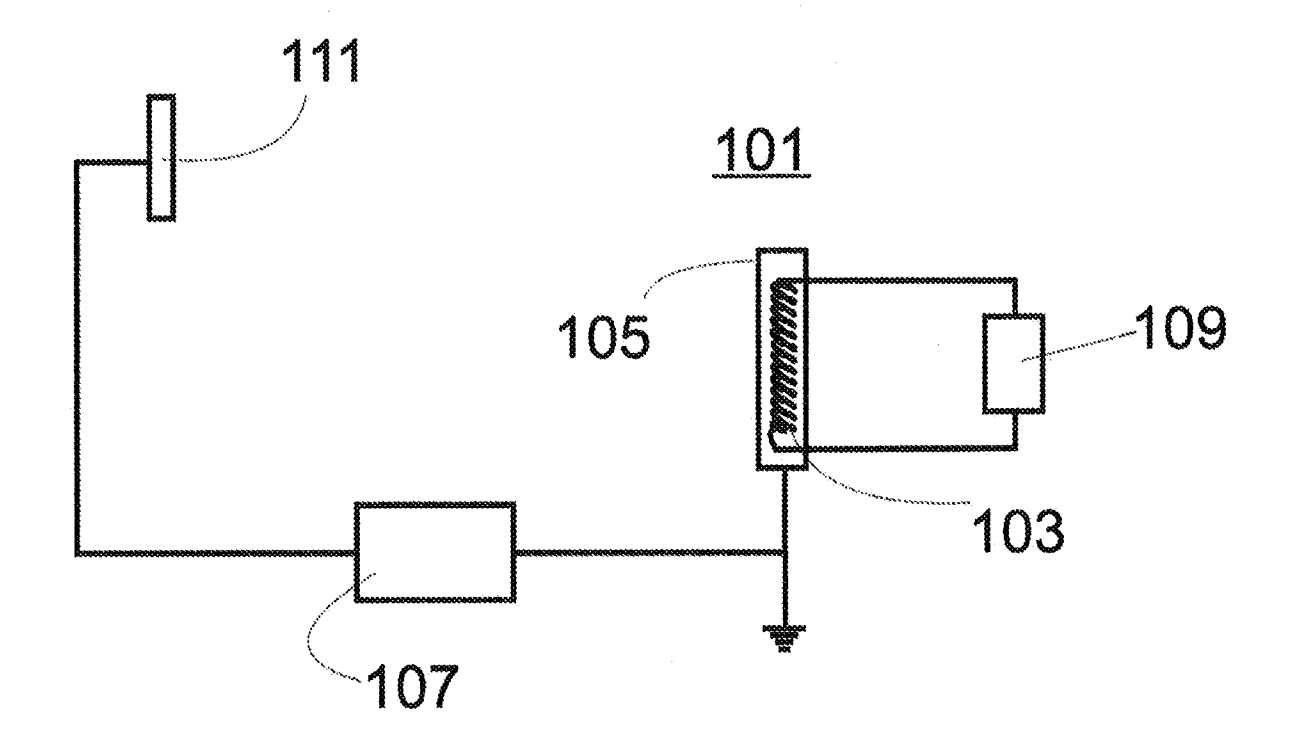
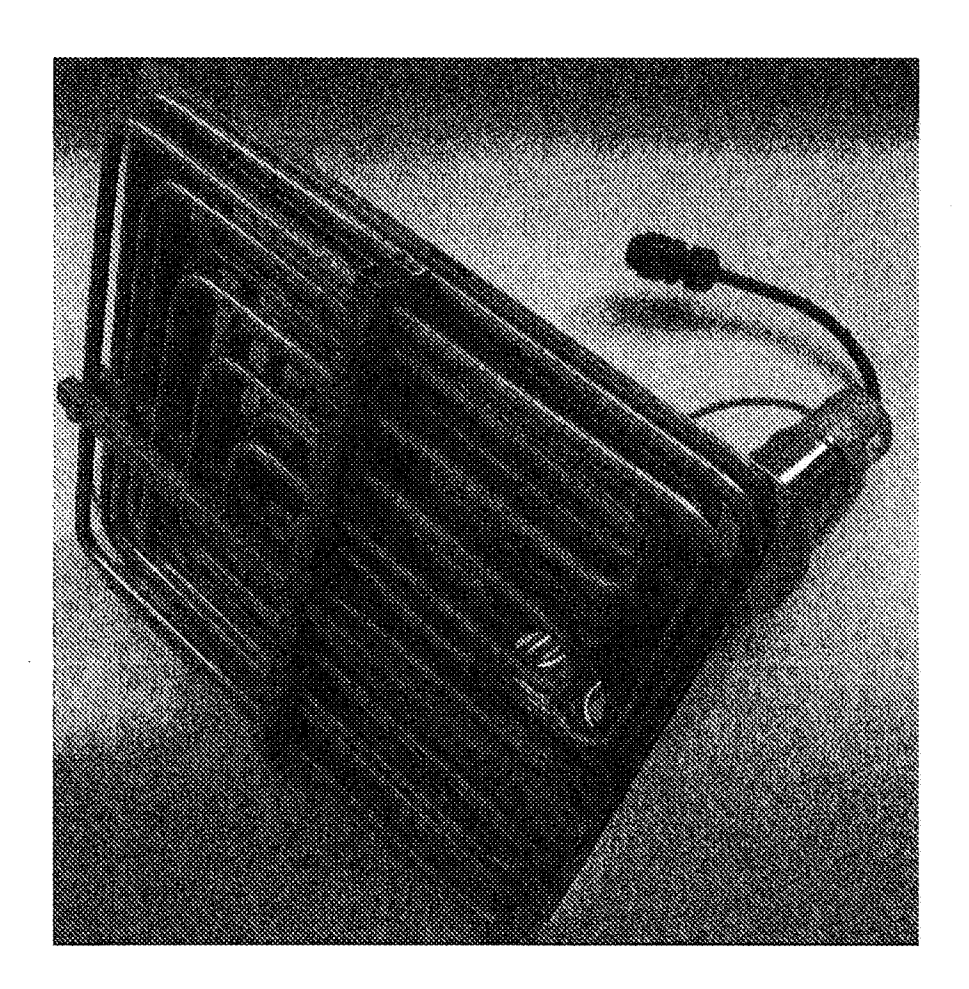


Abbildung 19a

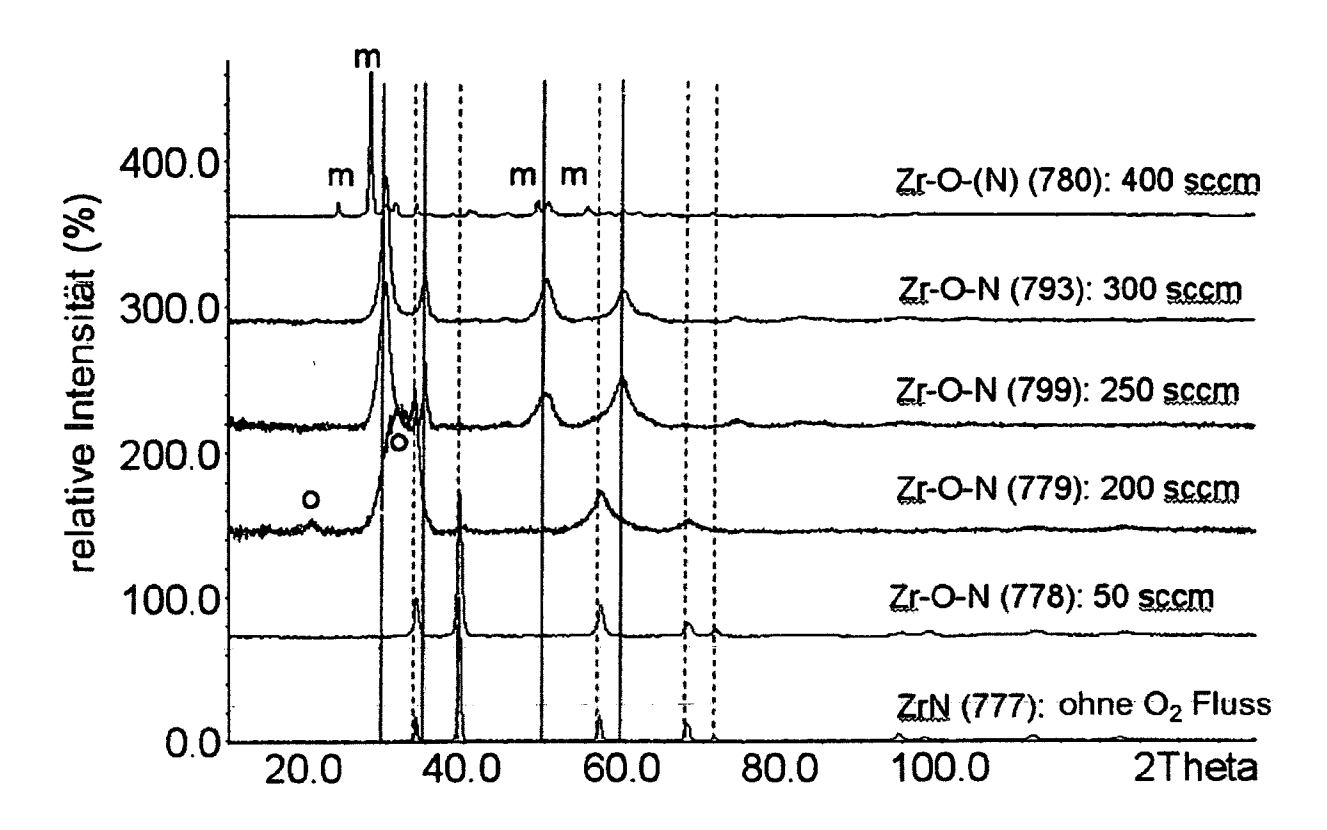


Figur 19b



PCT/EP2010/064136

Abbildung 20



Legende zu Abbildung 20:

----- ZrN oder ZrO, kubische Phase

--- ZrO<sub>2</sub> / Zr(N,O)<sub>2</sub>, kubische Phase

m ZrO<sub>2</sub>, monoklinische Phase

o ZrO<sub>2</sub>, orthorhombische Phase

PCT/EP2010/064136



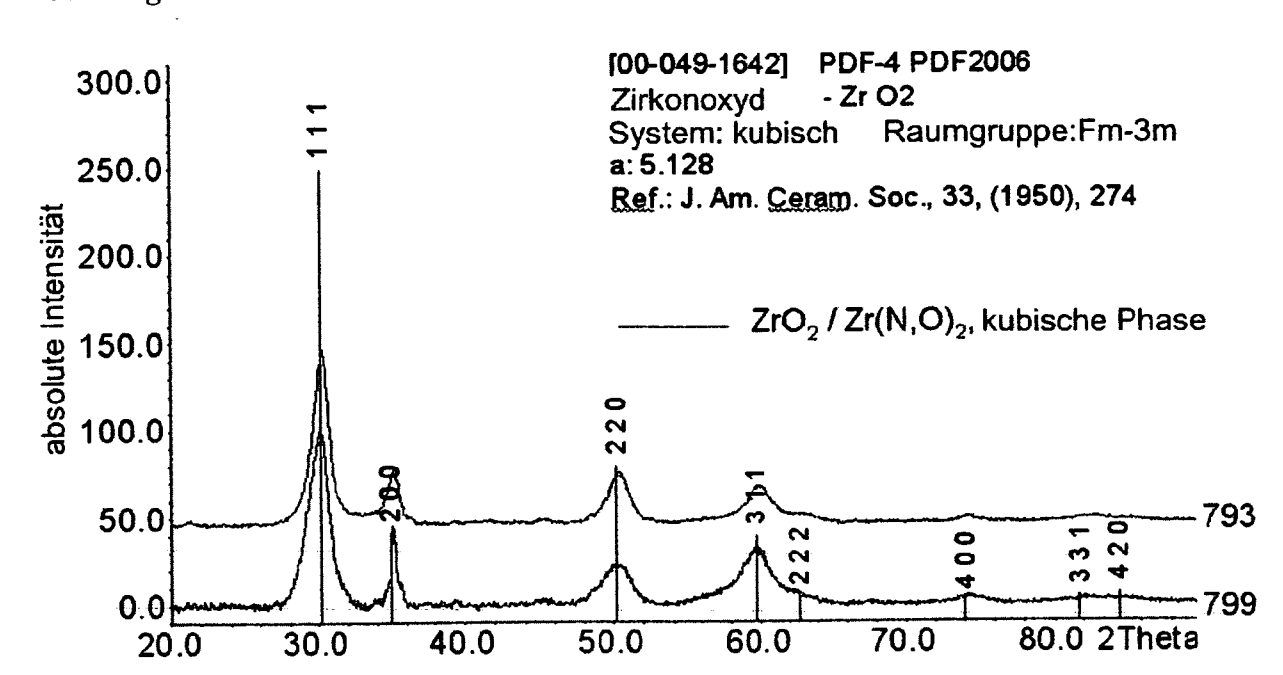


Abbildung 22

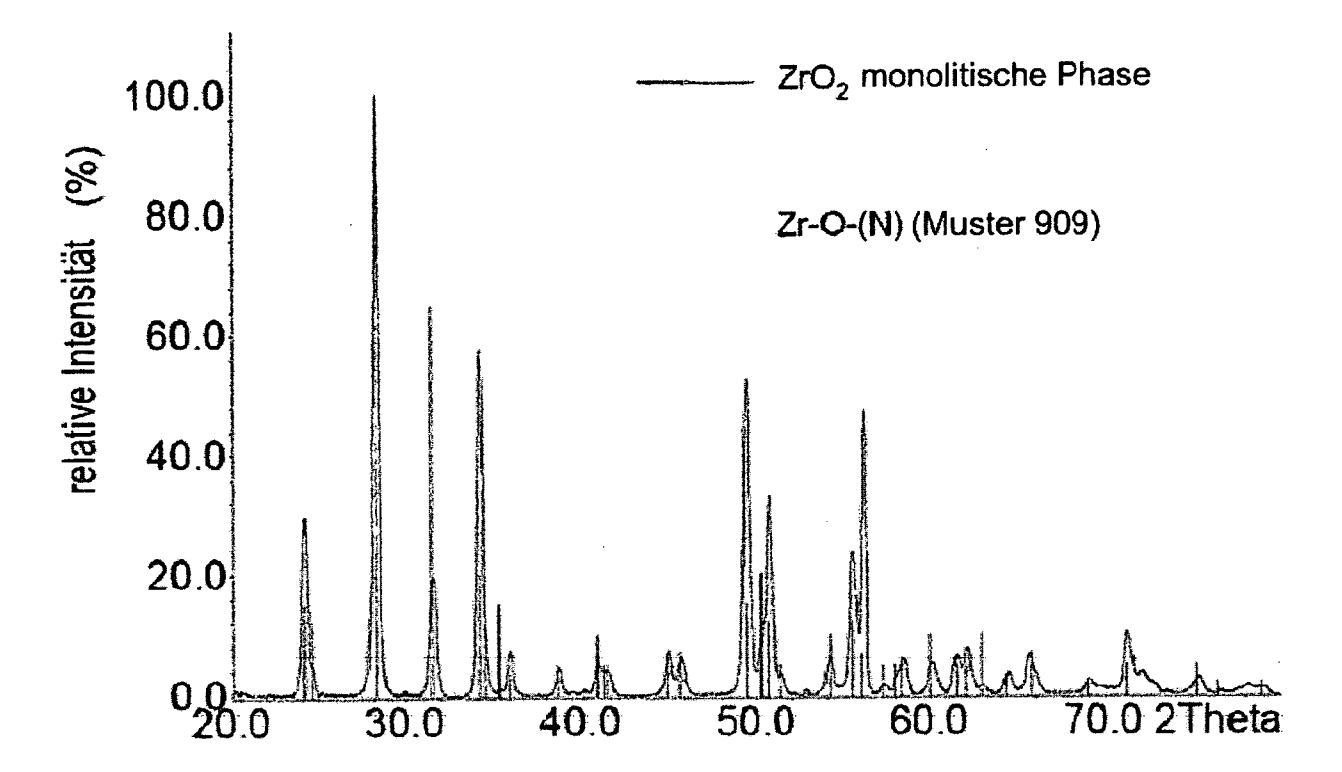
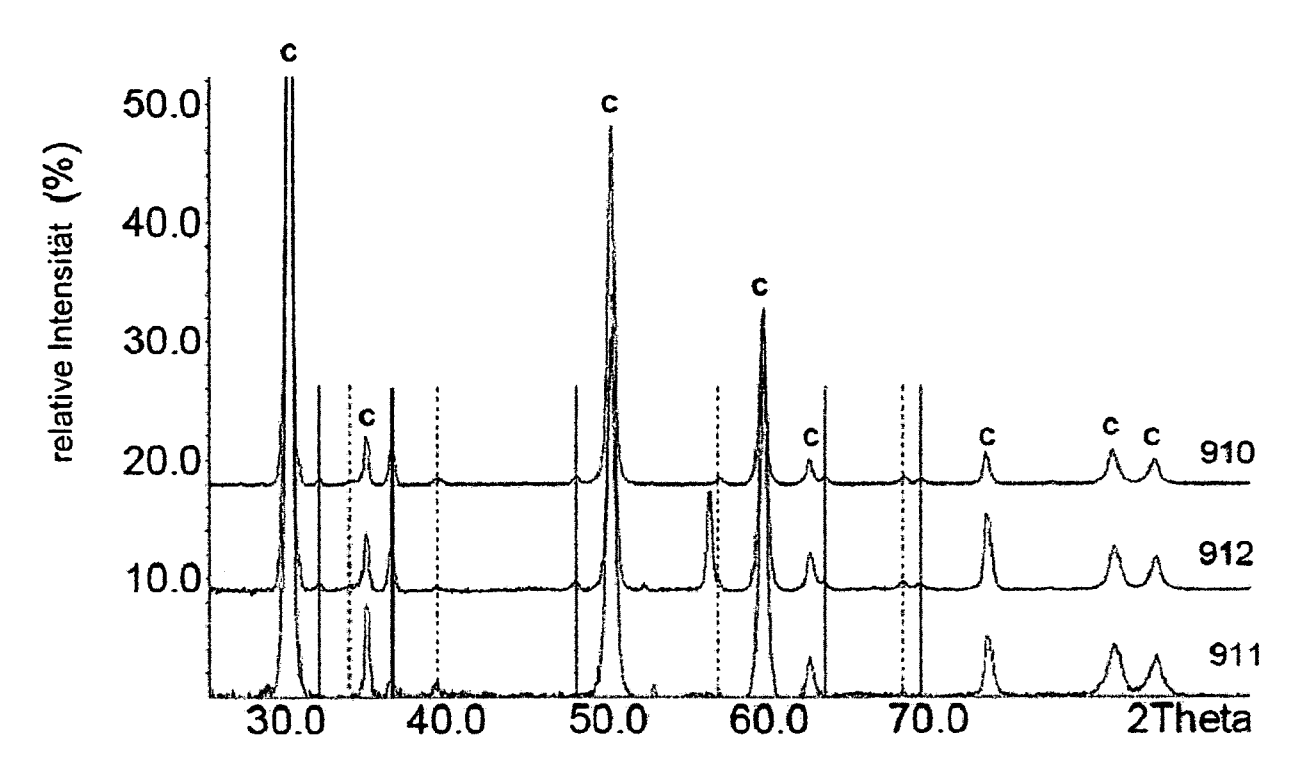
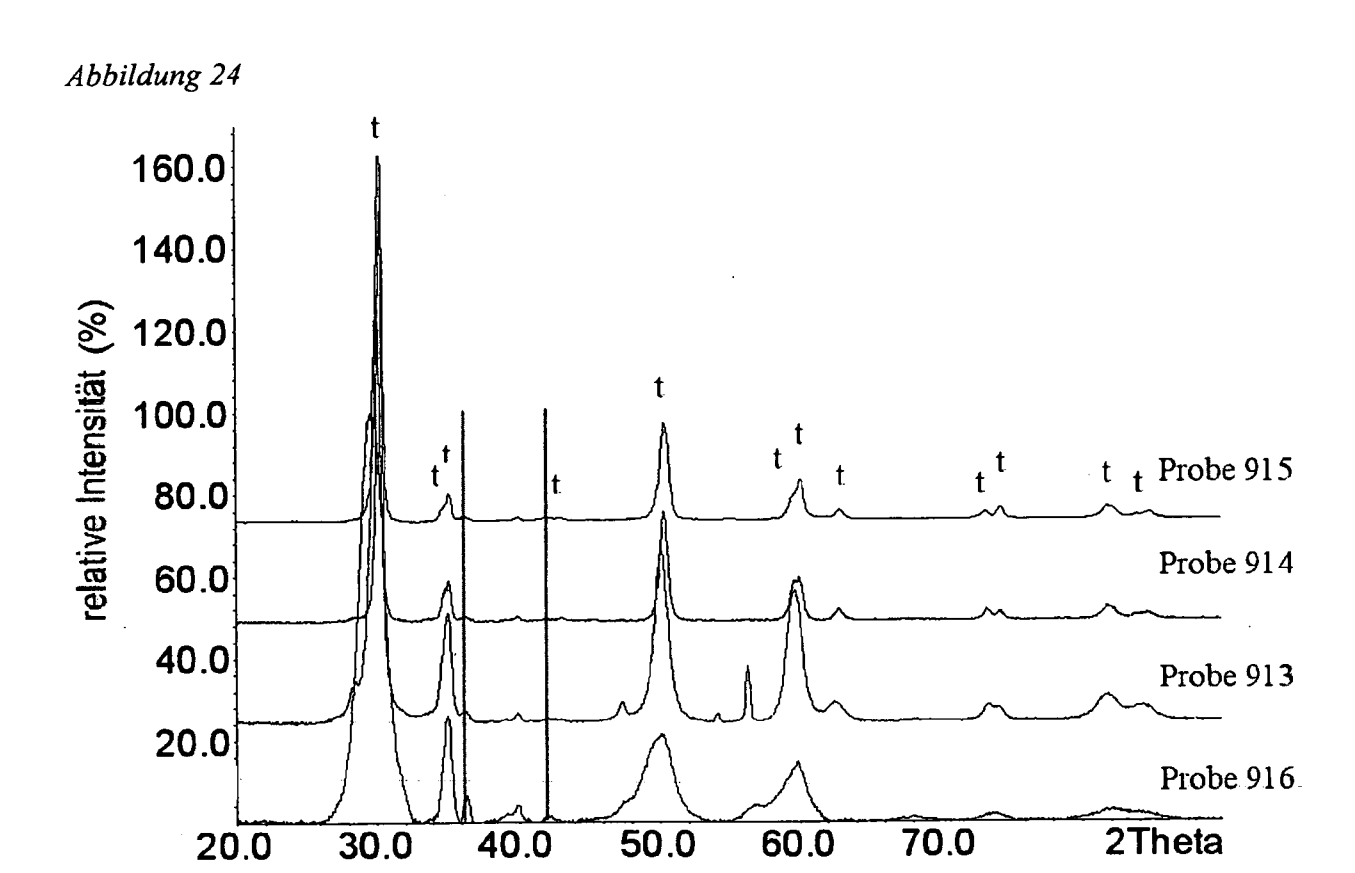


Abbildung 23



Legende zur Abbildung 23:

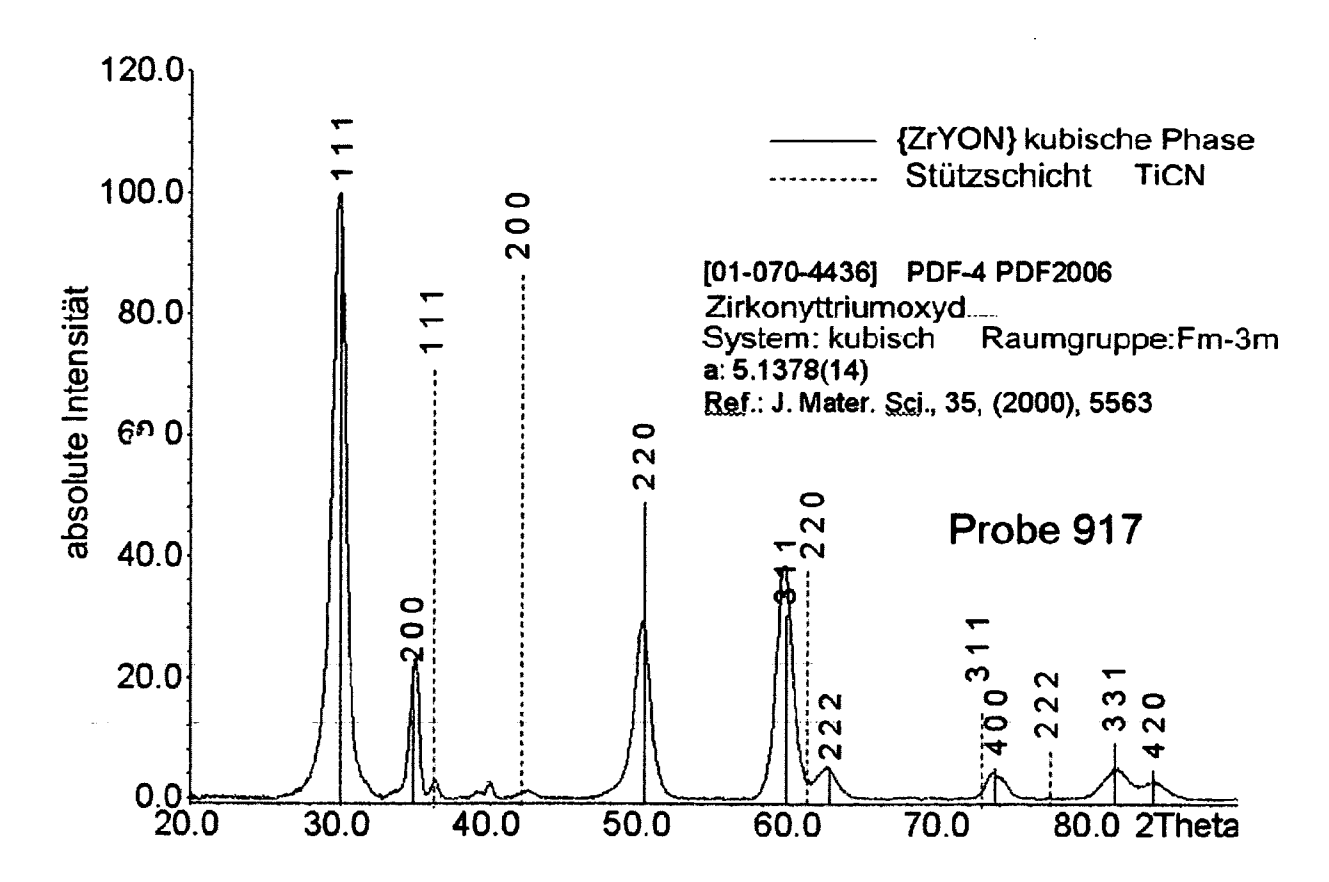
c {.	ZrYO}, kubische Phase
	SL, ZrN, hexagonael Phase
	SL, ZrN, kubische Phase

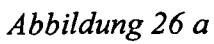


Legende zur Abbildung 24:

t {ZrYO}, tetragonael Phase ——— SL, TiCN, kubische Phase

Abbildung 25





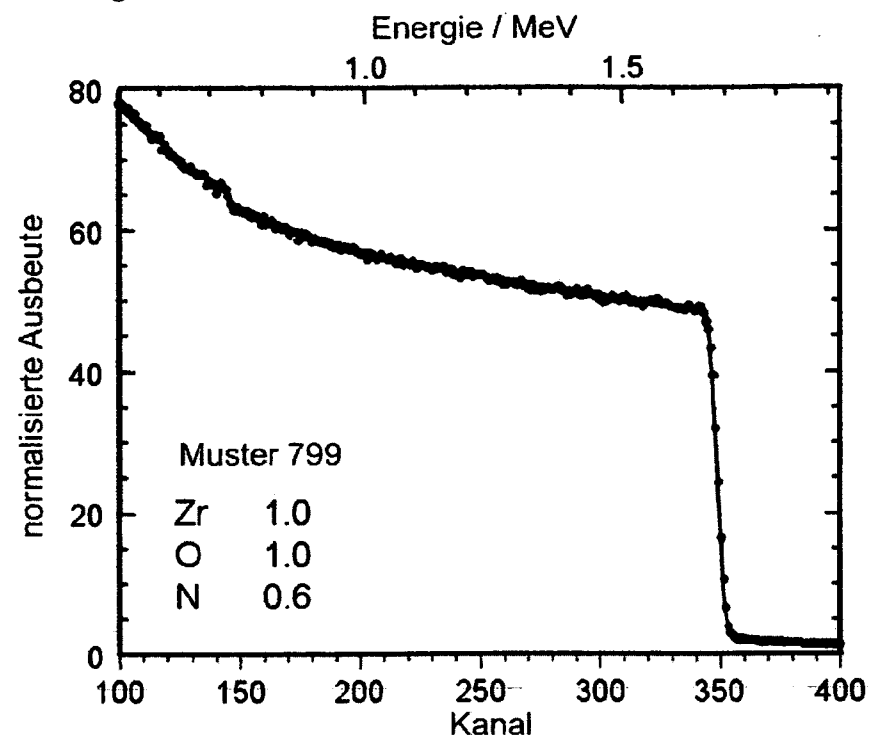


Abbildung 26 b

